

1. บทนำ

1.1 ความสำคัญของปัญหา

คุณสมบัติของดินทางด้านกำลังรับน้ำหนักแบบเนื่องมีสภาวะภายในตัวรับน้ำหนักสองแบบคือแบบสติติกาสตอร์และแบบพลศาสตร์ ซึ่งมีพฤติกรรมในการรับน้ำหนักที่แตกต่างกันเนื่องจากการรับน้ำหนักแบบสติติกาสตอร์จะมีน้ำหนักบรรทุกคงที่ไม่เปลี่ยนแปลงตามเวลา เช่น น้ำหนักของอาคารที่ลงสู่ฐานรากแล้วถ่ายน้ำหนักให้กับดินใต้ฐานรากแต่การรับน้ำหนักแบบพลศาสตร์น้ำหนักบรรทุกจะเปลี่ยนแปลงตามเวลาอย่างเช่น ดินใต้ฐานรากที่รองรับเครื่องจักรที่มีการสั่นสะเทือนซึ่งน้ำหนักบรรทุกที่เกิดขึ้นมักอยู่ในรูปผงซุนไห์ ในประเทศไทยส่วนใหญ่ทำการศึกษาพฤติกรรมและคุณสมบัติทางด้านกำลังรับแรงเนื่องของดินแบบสติติกาสตอร์ ส่วนการศึกษาแบบพลศาสตร์ในมีค่อนข้างน้อยซึ่งในความเป็นจริงแล้วในงานวิศวกรรมโยธาและวิศวกรรมฐาน-รากมีน้ำหนักบรรทุกอยู่ในรูปพฤติกรรมแบบพลศาสตร์ด้วยเช่น น้ำหนักจะวนโครงสร้างแต่ เนื่องจาก การศึกษาพฤติกรรมด้านพลศาสตร์ต้องใช้เครื่องมือและวิธีการทดสอบที่ซับซ้อนทำให้มีการศึกษาข้อมูลคุณสมบัติกำลังรับน้ำหนักแบบเนื่องของดินแบบพลศาสตร์ค่อนข้างน้อยจนบางครั้งการนำค่าคุณสมบัติกำลังรับน้ำหนักแบบเนื่องของดินแบบพลศาสตร์เพื่อนำไปใช้ในงานวิศวกรรมปฏิเสธ เช่น งานวิศวกรรมการทาง งานวิศวกรรมฐานรากของเครื่องจักร สะพาน งานวิศวกรรมฐานรากสำหรับการอุดแบบเพื่อรองรับแผ่นดินไหว มักใช้ค่าคุณสมบัติกำลังรับน้ำหนักแบบเนื่องของดินแบบสติติกาสตอร์แทนซึ่งไม่ถูกต้องในพฤติกรรมของการรับน้ำหนักตามความเป็นจริงเนื่องจากดินในสภาวะความเป็นจริงอยู่ภายใต้สภาวะการรับน้ำหนักแบบพลศาสตร์โดยเฉพาะในประเทศไทยที่ไม่ได้อยู่ในกลุ่มประเทศที่มีความเสี่ยงในการเกิดแผ่นดินไหวการศึกษาพฤติกรรมทางด้านพลศาสตร์ของดินจึงน้อยมาก

หลังจากที่อาคารสูงในกรุงเทพฯ ได้รับคลื่นแผ่นดินไหวจากประเทศไทยแล้ว (สุมาลี ประจวบ และบุรินทร์ เวชบรารเทิง, 1992) ทำให้เริ่มมีการศึกษาพฤติกรรมกำลังรับแรงเนื่องภายในตัวรับน้ำหนักบรรทุกแบบพลศาสตร์ ตัวแปร (parameter) ที่สำคัญสำหรับคุณสมบัติของดินที่นำมาศึกษาและนำไปใช้กับกำลังรับแรงเนื่องแบบพลศาสตร์คือค่าโมดูลัสเฉือนและค่าอัตราส่วนแเดมปิง

การหาค่าโมดูลัสเฉือนและอัตราส่วนแเดมปิงในปัจจุบันมีการทดสอบด้วยวิธี seismic test แบบ up hole และ down hole โดยทำการวัดความเร็วคลื่นแบบเนื่อง (Shear wave velocity) (Ashford et al., 1997) ซึ่งการวัดความเร็วของคลื่นหน่วงแรงนี้จะได้ค่าโมดูลัสเฉือนที่ระดับความเครียดต่ำๆ (น้อยกว่า 10^{-3} % ของความเครียด) เท่านั้น ส่วนการเปลี่ยนแปลงของค่าโมดูลัสที่ระดับความเครียดสูง (มากกว่า 1%) ขึ้นไปนั้นจะไม่สามารถประมาณได้จากวิธีการวัดดังกล่าว นอกจากนี้ข้อมูลที่เกี่ยวข้องกับค่าอัตราส่วนแเดมปิงของดินก็ไม่สามารถศึกษาได้ด้วย seismic test

การศึกษาการเปลี่ยนแปลงของค่าโมดูลัสต่อระดับความเครียดจึงต้องดำเนินการโดยอาศัยเครื่องมือในห้องปฏิบัติการทางปฐพีกศาสตร์อภิวิธีหนึ่งคือ เครื่องมือทดสอบแรงอัดสามแกนแบบวัฏจักร (cyclic triaxial) เป็นเครื่องมือหลักในการศึกษาการเปลี่ยนแปลงของคุณสมบัติทั้งสอง (ค่าโมดูลัสเนื้อนและค่าอัตราส่วนแคมปิง) ของดิน

ประวัติหน่วยแรง (Stress History) คือประวัติของการเปลี่ยนแปลงของหน่วยแรงประสิทธิผลในแนวตั้งซึ่งแสดงออกโดยค่าสัดส่วนการอัดแน่นเกินตัว (Overconsolidated Ratio, OCR) ซึ่งเป็นอัตราส่วนระหว่างหน่วยแรงประสิทธิผลสูงสุดในอดีต (Maximum Past Effective Pressure) กับหน่วยแรงประสิทธิผลในปัจจุบัน (Present Effective Pressure) ดินจะอยู่ในสภาพอัดแน่นเกินตัว (Overconsolidated) เมื่อค่า OCR มากกว่า 1 และดินอยู่ในสภาพอัดแน่นปกติ (Normally Consolidated) เมื่อค่า OCR น้อยกว่าหรือเท่ากับ 1 ซึ่งสภาวะดังกล่าวมีผลทำให้พฤติกรรมของดินเนียนยาเปลี่ยนแปลงไปตามประวัติหน่วยแรงของดิน เช่น การรับแรงเนื่องจากการทรุดตัว เนื่องจากหน่วยแรงประสิทธิผลสูงสุดในอดีตเป็นหน่วยแรงประสิทธิผลสูงสุดที่ดินเคยได้รับสภาพอัดแน่นเกินตัวซึ่งอาจเกิดจากผลของการสึกกร่อนของดินตามธรรมชาติ (erosion) ผลของการมีอายุแก่ขึ้นของดินเนียนที่มีพลาสติกซีต์สูง (aging) ผลของปฏิกิริยาเคมีทำให้สารเข้มแน่น (cementation) และการเปลี่ยนแปลงของระดับน้ำใต้ดิน (ground water table) ตัวประกอบเหล่านี้ทำให้ดินมีหน่วยแรงประสิทธิผลในอดีตมากกว่าในปัจจุบัน ดินเป็น apparently over consolidated เกิดจากผลของการอายุและสารเข้มแน่น (สรุณัตร สัมพันธารักษ์, 2540)

สำหรับดินเนียนกรุงเทพฯ (Bangkok Clay) มีการศึกษาพฤติกรรมและค่าโมดูลัสเนื้อน ค่าอัตราส่วนแคมปิงภายใต้การรับน้ำหนักแบบวัฏจักรพบว่า ค่าโมดูลัสเฉือนลดลงและค่าอัตราส่วนแคมปิงมีค่าเพิ่มขึ้นเมื่ออัตราการให้น้ำหนัก (rate of loading) ของน้ำหนักแบบวัฏจักร (cyclic loading) เพิ่มขึ้น (Teachavorasinsukun et.al., 2002) และเมื่อ Normalized ผลของขนาด (amplitude) หน่วยแรงของน้ำหนักแบบวัฏจักร (cyclic) ขึ้นเนื่องมาจากการประวัติของดิน (cyclic stress history) ที่ได้มาจากค่า prestraining ไม่มีผลต่อค่าโมดูลัสเฉือนและค่าอัตราส่วนแคมปิง (Teachavorasinsukun et.al., 2001)

ดังนั้นในงานวิจัยนี้ จึงมีแนวคิดที่จะทำการศึกษาพฤติกรรมทางด้านพลศาสตร์และกำลังรับน้ำหนักเฉือนของดินเนียนกรุงเทพฯ ด้วยเครื่องทดสอบแรงอัดสามแกนภายใต้สภาวะการรับน้ำหนักแบบวัฏจักร โดยจะศึกษาอิทธิพลของค่าสัดส่วนการอัดแน่นเกินตัวต่างๆ ที่มีต่อค่า parameter ในด้านกำลังรับแรงเฉือนซึ่งได้แก่ โมดูลัสเฉือนและอัตราส่วนแคมปิงภายใต้สภาวะการรับน้ำหนักแบบวัฏจักรของดินเนียนฯ โดยจะทำการทดสอบตัวอย่างตลอดชั้นดินเนียน (soft clay และ medium clay) จนถึงชั้นทรายด้วยเครื่องทดสอบแบบ Cyclic Triaxial Test โดยการให้น้ำหนักแบบวัฏจักรเลือกใช้ความถี่ (frequency) อยู่ในช่วงที่สามารถศึกษาพฤติกรรมของดินได้

(ประมาณ 10^{-3} - 10^{-4} เซิร์ต (Teachavorasinskul et.al., 2002)) และให้ขนาด (amplitude) ของน้ำหนักแรงเนื่อง โดยจะเพิ่มขนาดแบบ Stage cycle amplitude เนื่องจากให้ผลใน การศึกษาพฤติกรรมแบบพลศาสตร์ได้ดีกว่าแบบ continuous cycle amplitude (Techavorasinskul et.al., 2001) โดยจะเพิ่มขนาดจนกระทั่งตัวอย่างดินเกิดการวิบัติ ผลที่ได้จากการทดสอบจะทำให้เข้าใจถึงพฤติกรรมแบบพลศาสตร์ของดินเหนียวกรุงเทพฯ จากอิทธิพล ของสัดส่วนการอัดแน่นเกินตัวซึ่งได้แก่เดินที่มีประวัติการอัดตัวคายน้ำปกติและเดินที่มีประวัติการอัดตัวคายน้ำมากกว่าปกติในการรับแรงเนื่องจากได้ทำการรับน้ำหนักแบบวัฏจักรที่มีต่อพฤติกรรมแบบ พลศาสตร์ของดินอาทิ เช่น การสะสมของแรงดันไพร์ (pore water pressure) การเปลี่ยนแปลง กำลังรับน้ำหนักประสิทธิผล (effective strength) การเปลี่ยนแปลงของค่าโมดูลัสเฉือนและ อัตราส่วนแ美德ปิง

1.2 วัตถุประสงค์

- ศึกษาพฤติกรรมของกำลังรับแรงเฉือนทางด้านพลศาสตร์ภายใต้สภาวะการรับน้ำหนัก แบบวัฏจักร (cyclic loading) ได้แก่ การสะสมของแรงดันไพร์ (pore water pressure) การเปลี่ยนแปลงกำลังรับน้ำหนักประสิทธิผล (effective strength) การเปลี่ยนแปลงของค่า โมดูลัสเฉือน (shear modulus, G) อัตราส่วนแ美德ปิง (damping ratio, D)
- ศึกษาถึงอิทธิพลของค่าสัดส่วนการอัดแน่นเกินตัว (Overconsolidated Ratio, OCR) ที่มี ต่อค่าโมดูลัสเฉือน อัตราส่วนแ美德ปิง และพฤติกรรมอื่นๆ
- ศึกษาถึงอิทธิพลของความถี่ (frequency) ที่มีต่อค่าโมดูลัสเฉือน อัตราส่วนแ美德ปิง และ พฤติกรรมอื่นๆ
- ศึกษาผลของอิทธิพลค่า Plasticity Index ที่มีต่อพฤติกรรมของกำลังรับแรงเฉือนทางด้าน พลศาสตร์ภายใต้สภาวะการรับน้ำหนักแบบวัฏจักร

1.3 ขอบเขตของการวิจัย

งานวิจัยนี้จะศึกษาคุณสมบัติทางด้านพลศาสตร์ของดินเหนียวอ่อนกรุงเทพฯ โดยใช้ตัวอย่าง ทดสอบตลอดความลึกของชั้นดินเหนียว (soft clay และ medium clay) ที่เก็บตัวอย่างจากบริเวณ คณะวิศวกรรมศาสตร์ มหาวิทยาลัยธรรมศาสตร์ (ศูนย์รังสิต) ทำการทดสอบในห้องปฏิบัติการด้วย เครื่องมือ Cyclic Triaxial Apparatus ทดสอบกำลังรับแรงเฉือนแบบไม่ว่างบานน้ำ (Undrained) ภายใต้สภาวะการรับน้ำหนักแบบวัฏจักร (cyclic) ในรูปแบบคลื่นไอน์ (sine wave) โดยในการทดสอบ จะแปรเปลี่ยน (vary) ค่าสัดส่วนการอัดแน่นเกินตัว (overconsolidated ratio, OCR) ที่ OCR ต่างๆ

1. ใช้ค่าสัดส่วนการอัดแน่นเกินตัวที่ 1, 2 และ 6
2. การเพิ่มขนาดของหน่วยแรง (amplitude) แบบ stage cycle amplitude จำนวน 15 รอบ ต่อขั้น (stage)
3. ไม่ระบายน้ำ (undrained) ในแต่ละขั้นของการเพิ่มขนาดหน่วยแรงจะกระแทกตัวอย่าง ทดสอบบวบบีติ (fully excess pore water pressure)
4. ใช้ความถี่ (frequency) ที่ 0.1 หรือ 0.01 รอบต่อวินาที

2. ทฤษฎีและงานวิจัยที่เกี่ยวข้อง

2.1 งานวิจัยที่เกี่ยวข้อง

Cyclic Loading of an Ottawa Area Champlain Sea Clay (R.J. Mitchell, 1976) งานวิจัยนี้ทำการศึกษาพัฒนาระบบการรับน้ำหนักของดิน Ottawa Champlain Sea Clay เป็นดินที่มีความชื้นสูงและมีค่าความชื้นมีค่าใกล้เคียงกับค่า Liquid Limits ค่า Void Ratio ค่าแรงดันในอดีต และค่า Sensivity สูง ซึ่งเกิดจากการทับถมของดินในสภาพแวดล้อมภายในห้องทดลอง

โดยการทดสอบนี้ใช้ดิน Ottawa Champlain Sea Clay ที่อยู่ลึกจากผิวดินห้าเมตร มีค่า Liquid Limit 34-41%, Plasticity Index 18%, Void Ratio 0.98, G_s 2.75, Sensitivity 15-25 และ Preconsolidated Pressure 170-180 kPa เป็นดินที่มีประวัติการอัดตัวคายน้ำแบบปกติ (Normalconsolidated Clay) ให้น้ำหนักแบบวัฏจักร ใช้อัตราการให้น้ำหนักที่ความถี่ 0.25-1 Hz และน้ำหนักตาม Stress Ratio ต่างๆ จนกว่าจะทับถม

ผลการวิจัยเมื่อทำการทดสอบดิน Ottawa Champlain Sea Clay ในการรับน้ำหนักแบบไม่ระบายน้ำภายใต้สภาพการรับน้ำหนักแบบวัฏจักรต่อเนื่องจนดินวิบัติเบรี่ยบเทียบกับผลการทดสอบภายใต้สภาพการรับน้ำหนักแบบสติติกาสตอร์ พบร่วดินจะเกิดการวิบัติที่ความเครียดแบบ distorsional strain ตั้งแต่ 1% โดยเมื่อใช้ effective confining 50 kPa เกิดการวิบัติที่หน่วยแรงมีค่า 50% ของการรับน้ำหนักแบบสติติกาสตอร์ ถ้าให้น้ำยแรงมีค่าน้อยกว่า 50 kPa ดินจะมีพฤติกรรมรับน้ำหนักแล้วจะเข้าสู่สภาพสมดุลรับน้ำหนัก (equilibrium condition) โดยที่ distorsional strain น้อยกว่า 1% ปัจจัยที่มีผลต่อกำลังรับน้ำหนักคือ effective confining pressure โดยเมื่อค่า effective confining pressure เพิ่มขึ้นจะมีผลทำให้ excess pore pressure เพิ่มขึ้นด้วย อีกปัจจัยคือ deviatoric stress โดยเมื่อค่า deviatoric stress เพิ่มขึ้นจะมีผลทำให้ขนาดของ cyclic stress เพิ่มขึ้นด้วยและทำให้รอบของการให้น้ำหนักลดลง โดยการวิบัติจะเกิดวิบัติ ตั้งแต่รอบของการให้น้ำหนักตั้งแต่ 100-2000 รอบ

ในการทดสอบแบบสั้น (เกิดวิบัติที่รอบการให้น้ำหนักน้อยกว่า 100 รอบ) ไม่ชัดเจนว่าการวิบัติเกิดจากการเดี่ยรูป (deformation) อันเนื่องมาจากการ sensitivity โดยกำลังรับน้ำหนักจะน้อยกว่าแบบสติติกาสตอร์ ในกรณีที่ไม่มีการระบายน้ำทำให้เกิดแรงดันเพียงส่วนเกินที่สมบูรณ์ (Fully Excess Pore Pressure) ส่วนสภาพความเป็นจริงในสนามน้ำสามารถระบาย (dissipate) ไปในดินรอบๆ ได้ทำให้แรงดันเพียงส่วนเกินหายไปได้ ในงานวิจัยนี้แนะนำให้ใช้ค่าปัจจัยความปลอดภัย (Factor Safety) อย่างน้อยเท่ากับสอง สำหรับค่าหน่วยแรงสูงสุดที่ใช้กับดิน Sensitivity Soil ในฐานรากที่ต้องได้รับแรงแบบซ้ำๆ

Cyclic Stress-Strain History and Shear Characteristics of Clay (T. Matsui, M. ASCE, H. Ohara and T. Ito, 1980) งานวิจัยนี้ทำการศึกษาพฤติกรรมของดินเหนียวอิมตัวด้วยน้ำภายในได้การรับน้ำหนักแบบวัฏจักรซึ่งได้ผลของพฤติกรรมของ Stress-Strain History ของดินเหนียวที่มีประวัติการอัดตัวคายน้ำแบบปกติ (NC) และแบบมากกว่าปกติ (OC) ทำการทดสอบกับดิน Senri Clay ที่มีค่า Liquid Limit 93%, Plasticity Index 38%, G_s 2.75 และมีขนาดเม็ดดินเล็กกว่าสองไมโครเมตร 43% เตรียมตัวอย่างทดสอบแบบ remold โดยให้ขนาดของหน่วยแรงต่างๆ กันตามค่า Stress Ratio ให้น้ำหนักแบบวัฏจักร 1000 รอบ และหยุดระหว่างน้ำออกเพื่อศึกษาพฤติกรรมของ residual stress ใช้อัตราการให้น้ำหนักที่ความถี่ในช่วง 0.01-10 Hz การทดสอบพบว่าปัจจัยที่มีผลต่อกำลังรับน้ำหนักคือ ค่าความถี่ ขนาดของหน่วยแรง (amplitude ในงานวิจัยคือ Stress Ratio) ค่า effective confining และประวัติการอัดตัวคายน้ำ โดยเมื่อค่า effective confining และประวัติการอัดตัวคายน้ำมีค่าเพิ่มขึ้นจะมีผลให้กำลังรับน้ำหนักลดลง ด้วยแต่ถ้าขนาดของหน่วยแรง (load amplitude) เพิ่มขึ้นเมื่อมีผลทำให้กำลังรับน้ำหนักลดลง ของกำลังรับน้ำหนักประสิทธิผลหลังจากรับน้ำหนัก (กรณี residual stress) พบว่า Excess Pore Pressure จะเกิดจนถึงค่าสูงสุดซึ่งค่า Excess Pore Pressure จะเกิดมากหรือน้อยขึ้นอยู่กับค่าประวัติการอัดตัวคายน้ำ หลังจากนั้นดินจะสูญเสียกำลังรับน้ำหนักประสิทธิผล ชั่วคราวและหลังจากจะหายน้ำออกจะทำให้ค่า Excess Pore Pressure ลดลงและทำให้ดินมีกำลังรับน้ำหนักประสิทธิผลสูงกว่าในตอนแรก ซึ่งในดินที่มีประวัติการอัดตัวคายน้ำปกติจะมีพฤติกรรมเช่นเดียวกันที่เรียกว่า "aged" ผลดังกล่าวทำให้ดินที่มีประวัติการอัดตัวคายน้ำปกติกลายเป็นดินประวัติการอัดตัวคายน้ำมากกว่าปกติเล็กน้อย (Lightly Overconsolidated Clay)

Mechanical Behaviour of Clays Under Cyclic Loading (by Y. Meimon and P.Y. Hicher, 1980) งานวิจัยนี้ทำการศึกษาพฤติกรรมของดินเหนียวภายในได้การรับน้ำหนักแบบวัฏจักรพบว่า ประวัติการอัดตัวคายน้ำของดินเหนียวมีผลต่อรูปแบบการวิบติ (failure mode) คือทำให้กำลังรับน้ำหนักประสิทธิผล (effective stress) ของดินที่มีประวัติการอัดตัวคายน้ำปกติมีค่าลดลงและเพิ่มแรงดันน้ำในโพรงแต่ไม่มีผลกระทบสำหรับดินที่มีประวัติการอัดตัวคายน้ำมากกว่าปกติที่มีค่า OCR เท่ากับ 4 การแข็งตัวขึ้นจากการความเครียด (strain hardening) มีส่วนสำคัญต่อการวิบติโดยพบว่า ค่าขนาดของน้ำหนักทำให้เกิดการแข็งตัวจากการความเครียด ซึ่งเป็นผลของหน่วยแรง (deviatoric strain hardening) ที่เพิ่มขึ้นและปริมาตรที่ทำให้แข็งขึ้น (volumetric strain hardening) ความสัมพันธ์ของพฤติกรรมหน่วยแรงและความเครียดของวัสดุสามารถคำนวณด้วย finite element โดยการ integrate ความสัมพันธ์แบบ unique relationship โดยไม่ต้องคำนึงถึงผลของการแข็งตัวขึ้นของความเครียด

Cyclic Strengths of Undisturbed Cohesive Soils of Western Tokyo (by H. Ishihara and S. Yasuda 1980) การทดสอบแรงอัดสามแgniy ได้การให้น้ำหนักแบบวัฏจักร โดยทดสอบกับตัวอย่างแบบไม่กระแทกกระเทือนของดินที่มีความชื้นแน่น 2 ชนิด คือ alluvial clay และ loam ซึ่งได้มาจากดินทางด้านฝั่งตะวันตกของกรุงโตเกียว โดยการทดสอบแบบ Isotropically Consolidated ภายใต้หน่วยแรงสติติกาสต์ (static stress) และระบายน้ำ (drained) จากนั้นให้ Cyclic load จำนวน 30 รอบ (น้ำหนักและขนาดคงที่) จนกระทั่งเปลี่ยนรูป (deformed) เพื่อหาความเครียดก่อนวิบัติและทดสอบการรับหน่วยแรงเฉือนแบบไม่ระบายน้ำ เพื่อหากำลังรับน้ำหนักแบบวัฏจักร (Cyclic Strength) โดยหาได้จากหน่วยแรงเฉือนแบบสติติกาสต์เริ่มต้นร่วมกับขนาดของ Cyclic Shear Stress ที่จุดวิบัติ ผลของการทดสอบนี้ใช้ความแตกต่างของหน่วยแรงเฉือนเริ่มต้นของแบบสติติกาสต์และแบบวัฏจักร เพื่อหากำลังรับแรงเฉือนของดินซึ่งพบว่าการลดลงของกำลังรับแรงเฉือนภายใต้ Cyclic Loading จะมีผลกับดินที่มีค่า Plasticity Index ต่ำมากกว่าดินที่มีค่า Plasticity Index สูง

Peak Strength of Clay Soils after A repeated Loading History (Dwight A. Sangrey, and John W. France, 1980) ในงานวิจัยนี้ให้ความสำคัญในการศึกษากำลังรับแรงเฉือนสูงสุดของดินหลังจากถูกน้ำหนักกระทำแบบวัฏจักร เช่น ในการนีการเปลี่ยนแปลงของความสามารถรับน้ำหนักสูงสุดของเข็มตอกเนื้องจากระยะเวลาระหว่างการกระทำของน้ำหนักแบบวัฏจักรทำให้เกิดการเปลี่ยนแปลงของกำลังรับน้ำหนักทันทีซึ่งสามารถพบรได้ในรายหรือในกรณีพฤติกรรมการรับน้ำหนักของฐานรากภายหลังจากที่เกิดแผ่นดินไหวทำให้เกิดการเปลี่ยนแปลงกำลังรับแรงเฉือน

โดยในงานวิจัยนี้ทำการศึกษาดินเหนียวในรูปแบบกำลังรับน้ำหนักแบบไม่ระบายน้ำ ภายใต้การรับน้ำหนักกระทำแบบวัฏจักรโดยใช้ทฤษฎีหน่วยแรงประสิทธิผล ผลจากการวิจัยโดยใช้ทฤษฎีหน่วยแรงประสิทธิผลและผลจาก empirical สามารถนำมาใช้คำนึงกำลังรับแรงเฉือนแบบไม่ระบายน้ำของดินเหนียวภายใต้การกระทำของน้ำหนักแบบวัฏจักรพบว่า กำลังรับน้ำหนักสูงสุด (peak strength) ลดลงเมื่อจำนวนรอบของน้ำหนักกระทำเพิ่มขึ้น ค่าความตันโพรงที่เปลี่ยนแปลงมีผลจากการเพิ่มขึ้นของน้ำหนักกระทำโดยมีค่าสูงสุดเท่ากับค่าน้ำหนักกระทำที่จุดวิบัติและมีค่าต่ำสุดเท่ากับศูนย์ เมื่อแรงดันโพรงส่วนเกินเกิดขึ้นจากการกระทำของน้ำหนักแบบช้าๆ และทำการระบายน้ำเพื่อให้แรงดันโพรงส่วนเกินหายไป พบว่าดิน Overconsolidated Clay มีค่าสัดส่วนการอัดแน่นเกินตัวสูงๆ จะมีค่ากำลังรับน้ำหนักสูงสุดสูงขึ้นมากกว่าเดิม (ก่อนน้ำหนักกระทำช้าๆ) ค่าแรงดันโพรงสูงสุด (ค่าพารามิเตอร์ A) ที่ได้จาก

emperical จะมีค่าสูงสุดที่จุดวิบติและมีค่าต่ำสุดเมื่อค่าประมาณหนึ่งในสามของค่าสูงสุดเมื่อทดสอบโดยไม่วิบติและหน่วยแรงโดยรอบเท่ากัน ($\sigma_2 = \sigma_3$)

Effective Stress Change Observed During Undrained Cyclic Triaxial Test on Clay (M. Takahashi, D.W. Hight and P.R. Vaughan, 1980) งานวิจัยนี้ทำการศึกษาพัฒนาระบบ กำลังรับน้ำหนักเฉือนของดิน low plasticity sandy clay จาก Hippisburgh (Norfolk) ภายใต้ สภาพการรับน้ำหนักแบบ monotonic และแบบวัฏจักร ซึ่งใช้ในงานก่อสร้างในบริเวณชายฝั่ง ซึ่ง รับน้ำหนักที่เกิดจากคลื่นทะเลในบริเวณชายฝั่งทะเลตอนเหนือ โดยการทำการทดสอบโดยใช้ ตัวอย่างทดสอบแบบ Slurry Remold ทำการอัดตัวอย่างน้ำแบบ Isotropically Consolidated และ Anisotropically Consolidated ที่หน่วยแรงประวัติชีด 300 kPa ทำการทดสอบการรับน้ำหนัก เฉือนแบบไม่วิบติ ด้วยการให้น้ำหนักแบบ

1. อัดตัวและคายตัวแบบวัฏจักร (two-way cyclic) ให้น้ำหนักในรูปไซน์ (Sinusoidal)
2. อัดตัวแบบวัฏจักร (one-way cyclic) ให้น้ำหนักในรูป Triangular Waveform
3. ขยายตัวแบบช้าๆ (monotonic-extension) ให้น้ำหนักด้วยการควบคุม strain controlled ที่อัตรา 0.006 มม./นาที

และให้อัตราการให้น้ำหนัก ด้วยความถี่ที่แตกต่างกันควบคุมการทดสอบการให้น้ำหนักแบบ stress control ให้ขนาดน้ำหนัก stress ratio ที่ 0.5-0.8 แต่ถ้า stress ratio ดังกล่าวเข้าสภาวะสมดุลก็จะ เพิ่มขนาดเพื่อให้สูจุดวิบติและทำการวัดแรงดันไฟฟ้าที่กึ่งกลางตัวอย่างทดสอบ จากการวิจัยดิน low plasticity sandy clay ที่ทดสอบกำลังรับน้ำหนักแบบไม่วิบติและหน่วยแรงประวัติชีด 300 kPa ไม่วิบติและหน่วยแรงประวัติชีด 300 kPa ให้น้ำหนักแบบ

1. จำนวนรอบ (cycle) เพิ่มขึ้น จะทำให้เพิ่ม Hysteresis และ Damping ขึ้นแต่จะทำให้ Stiffness ลดลง ซึ่งขึ้นอยู่กับ Cyclic Stress Ratio ประวัติการอัดตัวอย่างน้ำ และ ความถี่ของอัตราการให้น้ำหนัก
2. ความเครียดตามแนวแกนประมาณ 1% ทำให้ทางเดินหน่วยแรงประวัติชีดเข้าใกล้ ขอบเขตการวิบติ (Failure Envelope) ใน การทดสอบแบบขยายตัวแบบช้าๆ ในอัตรา ให้น้ำหนักที่ช้า ซึ่งในช่วงนี้ดินมีพฤติกรรมแบบ Dilation ซึ่งขึ้นอยู่กับประวัติการอัดตัวอย่างน้ำ
3. ที่ความเครียดตามแนวแกนมาก (large strain) ภายใต้การรับน้ำหนักแบบวัฏจักร ทั้งสองทิศทาง ในช่วงนี้พฤติกรรมของดินเกิดจากการเปลี่ยนแปลงของโครงสร้างดิน ซึ่งเหมาะสมในการนำมาใช้ในการทำ Numerical Modeling (V. Eekelen และ Pott, 1978)

Dynamic Properties of Soft Clay for Wide Strain Range (Tekifi Kokusho, Yasuo Yoshida and Yasuyuki Esashi, 1982) ได้ทำการศึกษาคุณสมบัติทางพลศาสตร์โดยการทดสอบแรงอัดさまแกนแบบแรงกระทำแบบวัฏจักรของตัวอย่างดินเหนียวอ่อนแบบไม่กระทบกระเทือนซึ่งจากการทดสอบพบว่า

1. อัตราของเวลา (rate of time dependent) ในการเพิ่มของ shear modulus สามารถประมาณได้โดยการใช้ค่า plastic index.
2. Damping Ratio มีค่าลดลงตามเวลาที่ให้น้ำหนักของตัวอย่าง เช่น ค่า Damping Ratio ในสนาમจะมีค่ามากกว่าในห้องปฏิบัติการ
3. ค่าความเครียดที่เปลี่ยนแปลงของ shear modulus ratio มีผลอย่างยิ่งจากค่า plasticity index ของดินที่มีความเชื่อมแน่น คือที่ค่าความเครียดมากๆ ถ้าค่า plasticity index สูงจะทำให้ค่าความเครียดที่เปลี่ยนแปลงของ shear modulus ratio มากและถ้า plasticity index ต่ำจะทำให้ค่าความเครียดที่เปลี่ยนแปลงของ shear modulus ratio ต่ำด้วย
4. ผลของความต่างของประวัติการอัดตัวอย่างน้ำ ผลของการทดสอบแสดงให้เห็นว่าจากการทดสอบในสนาમด้วยวิธี in situ seismic survey เปรียบเทียบกับการทดสอบในห้องปฏิบัติการ ที่ค่า strain modulus น้อย โดยเปรียบเทียบค่าในรูป G/G_0 กับ $\log r$ พบร่วมกันไม่สามารถนำมาประมาณค่าโมดูลัสที่ความเครียดมากได้เนื่องจากที่ความเครียดมากมีพฤติกรรมที่เกินจุด yield ทำให้ได้ค่าโมดูลัสเฉือนที่ต่ำมากและไม่มีเสถียรภาพและพบว่าผลของการทดสอบทางพลศาสตร์ของดินเหนียวอ่อนภายในให้น้ำหนักกระทำแบบวัฏจักรไม่มีความแตกต่างทั้งประวัติการอัดตัวอย่างน้ำที่ต่างกันและค่า plasticity index ที่ต่างกัน เนื่องจากตัวอย่างทดสอบเป็นดินเหนียวอ่อนแต่อาจจะมีผลกับดินเหนียวแน่นแข็ง (Stiff Clays)

Cyclic Triaxial Test of Dynamic Soil Properties with Strain Range (Tabeji Kokusho, 1989) การวิเคราะห์หาคุณสมบัติทางพลศาสตร์เนื่องจากการเกิดแผ่นดินไหวต้องใช้การวิเคราะห์แบบ nonlinear ส่วนใหญ่มักจะใช้การทดสอบ Torsion column shear และในการวิจัยนี้ทำการทดสอบแรงอัดさまแกนภายในให้การรับน้ำหนักแบบวัฏจักรโดยทำการทดสอบด้วยเครื่องมือที่มีประสิทธิภาพสูงสามารถวัดค่าได้อย่างละเอียดเพื่อเปรียบเทียบกับผลการทดสอบแบบ Torsion column shear โดยทำการทดสอบตัวอย่างดินทรายอิมตัว (Toyoura sand) ทำการแปลงเปลี่ยน

ค่าอัตราส่วนช่องว่าง (void ratio) และ confining pressure พบว่าค่าโมดูลัส-เฉือนที่ช่วงความเครียดกว้าง (10^{-6} ถึง 10^{-3}) ให้ค่าโมดูลัสเฉือนใกล้เคียงกับการหาความเร็วของ คลื่นเฉือน (shear wave velocity) ในส่วน ผลการทดสอบแรงอัดสามแกนภายใต้การรับ น้ำหนักแบบวัฏ จักรเทียบกับผลของการทดสอบ Torsion column shear test ให้ผลที่น่าเชื่อถือและการเปลี่ยนแปลง confining pressure ไม่มีอิทธิพลกับค่า modulus การทดสอบแสดงให้เห็นว่าสามารถทดสอบหาค่าความสัมพันธ์ระหว่างค่า damping ratio กับความเครียดได้ผลที่น่าเชื่อถือซึ่งเมื่อเปรียบเทียบกับวิธีอื่นๆ ที่มักจะหาค่า damping ratio ได้ยาก

Behaviour of Clayey Sand Under Undrained Cyclic Triaxial Loading (V. N. Geogianou, D. W. Hight and J. B. Burland, 1991) งานวิจัยนี้อธิบายผลของการประวัติของหน่วยแรงและหน่วยแรงวัฏจักร (cyclic stress) ที่ค่าต่างๆ ในดินทรายปนดินเหนียว (clayey sand) โดยทดสอบกำลังรับน้ำหนักแบบไม่ระบายน้ำในการทดสอบแรงอัดสามแกนภายใต้สภาวะการรับแรงเฉือนแบบวัฏจักร (Cyclic Triaxial Test) พบว่าเมื่อทำการทดสอบดินทรายปนดินเหนียว (clayey sand) เป็นดิน Normally Consolidated สามารถหาเส้นขีดจำกัด (Bounding Envelope) ทั้งทางด้านการอัดและการขยาย โดยในช่วงความเครียดเริ่มต้นภายใต้เส้นขีดจำกัดดินยังมีเสถียรภาพ (stable) และเมื่อความเครียดเพิ่มขึ้นจะเกิดการสะสมของแรงดันโพรง โดยเมื่อเพิ่มอัตราการให้น้ำหนักวัฏจักรจะทำให้หน่วยแรงประสิทธิผลเพิ่มขึ้นและจะเข้าสู่เส้นขีดจำกัดทางด้านอัดส่วนทางด้านขยายจะทำให้เกิดสภาวะ Liquefaction

Cyclic Shear Strength and Pore water Pressure Generation Model under Irregular Loading (C. J. Lee and S. F. Sheu, 1995) จากผลของการทดสอบความคงที่ของความเครียดแบบวัฏจักร (uniform cyclic strain test) และจำนวนรอบของวัฏจักรสมมูล (equivalent number of cycle) ซึ่งใช้เป็นแบบจำลองทางคณิตศาสตร์ของการเกิดแรงดันน้ำ (pore water pressure) ในการศึกษาพฤติกรรมของดิน silty clay ในประเทศได้วันพบว่า การเปลี่ยนแปลงของกำลังรับแรงเฉือนแบบวัฏจักร (cyclic shear strength) เป็นผลของความแตกต่างของผลรวมระหว่างกำลังรับแรงเฉือนแบบสติติกาสตอร์และกำลังรับแรงเฉือนแบบวัฏจักร

3D Cyclic Behavior of Saturated Clay (P. Y. Hicher and A. Taghzouti, 1995) งานวิจัยนี้นำเสนอการทดสอบของดินเหนียวอิมตัว (saturated clay) เป็นการทดสอบกำลังรับแรงเฉือนแบบสามมิติภายใต้สภาวะการรับน้ำหนักแบบวัฏจักรแบบไม่ระบายน้ำโดยพิจารณาถึงอิทธิพลของการเปลี่ยนแปลงทิศทางของหน่วยแรงหลักและหน่วยแรงรอง (major and minor principle

stress) รวมถึงค่าแรงดันโพรงโดยแสดงค่าโมดูลัสเฉือนและแรงดันโพรงกับจำนวนรอบ (cycle) ของน้ำหนักซึ่งแสดงให้เห็นในทางเดินของหน่วยแรงพบว่า การหมุนทิศทางของหน่วยแรงหลักมีผลทำให้เกิดการเปลี่ยนของโครงสร้างของดินเนื่อยาได้เร็วกว่า

Effect of Cyclic Loading Period on the Behavior of Clay Under Undrained Torsional Simple Shear (TB. S. Pradhan, Loan T. K. Dam and G. Imai, 1995) ความถี่ของการให้น้ำหนักเพื่อรับแรงเฉือนแบบวัฏจักรเป็นปัจจัยหนึ่งที่มีผลต่อพฤติกรรมของดินเนื่อยา การศึกษาผลกระทบของความถี่ของการให้น้ำหนักแบบวัฏจักรต่อการเกิดของแรงดันโพรงและความเครียดเชื่อมในระหว่างการรับน้ำหนักแบบวัฏจักรซึ่งมีผลทำให้เกิดพฤติกรรมทั้งหมดของดินเนื่อยาร่วมไปถึงการทรุดตัวภายใต้การรับน้ำหนักแบบวัฏจักร จากการทดสอบแบบ undrained cyclic torsion simple shear test บนตัวอย่างทดสอบแบบ hollow cylindrical เป็นดินที่มีประวัติการอัดตัวอย่างน้ำปักดิ้นที่มีประวัติการอัดตัวอย่างน้ำมากกว่าปกติในการรับแรงเฉือนภายใต้การรับน้ำหนักแบบวัฏจักรพบว่า ผลกระทบของความถี่ของการให้น้ำหนักแบบวัฏจักรมีผลทำให้พฤติกรรมของแรงดันโพรงส่วนเกินมีค่าลดลงเล็กน้อยเมื่อค่าสัดส่วนการอัดแน่นเกินตัวของดินเนื่อยามีค่าเพิ่มขึ้นและได้สมการในการหาค่าความสัมพันธ์ระหว่างแรงดันโพรงและความเครียดเฉือน (shear strain) ที่ความถี่ต่างๆ

Stress Strain Behavior of Clay Undrain Cyclic Loading and Its Modeling (T. Nakai, T. Hoshikawa and E. Q. Chowdhung, 1995) แบบจำลองทางคณิตศาสตร์รูปแบบใหม่สำหรับจลน์ศาสตร์ของดินเนื่อยารูปแบบเด่นอย่างเดียว ผลกระทบของหน่วยแรงและความเครียดภายใต้การรับน้ำหนักแบบช้าๆ (monotonic) และแบบวัฏจักร โดยการเปลี่ยนแปลงประวัติหน่วยแรงซึ่งนำเสนอบนแบบจำลองทางคณิตศาสตร์สามารถอธิบายผลทางด้านการแข็งตัว (hardening) และการอ่อนตัว (softening) จนกระทั่งถึงสภาวะวิกฤติ (critical state) ซึ่งในจุดนี้จะเกิดเฉพาะตัวแปรด้านการแข็งตัวเท่านั้น โดยสามารถยืนยันผลได้จากการทดสอบกำลังรับ แรงเฉือนในเครื่องทดสอบแรงอัดสามแกนแบบระนาบน้ำภายในตัวอย่าง แรงเฉือนในเครื่องทดสอบแรงอัดสามแกนแบบระนาบน้ำภายในตัวอย่าง ทดสอบแบบอัดตัวและการทดสอบในตัวอย่างแบบขยายตัวของดินที่มีประวัติการอัดตัวอย่างน้ำมากกว่าปกติที่มีค่าสัดส่วนการอัดแน่นเกินตัวที่แตกต่างกันพบว่า ภายใต้สภาวะของการรับน้ำหนักจะมีทั้งการแข็งตัวและการอ่อนตัวแต่ที่สภาวะวิกฤติหรือไอลักษณะการแข็งตัวเพียง

อย่างเดียวก็คือการแข็งตัวและการอ่อนตัวนี้สามารถอธิบายได้ด้วยแบบจำลองทางคณิตศาสตร์ในรูปแบบจลน์ศาสตร์ (Kinetic-Clay Model)

Shear Modulus and Damping Ratio of a Clay During Undrained Cyclic Loading (S. Teachavorasinskun, P. Tongchim and P. Lukkunapasit, 2001) ในงานวิจัยนี้เป็นการวิจัยเพื่อศึกษาพฤติกรรมกำลังรับแรงเฉือนแบบไม่ระบายน้ำภายใต้การรับน้ำหนักแบบวัฏจักร (the undrained cyclic shear strength) ผลที่ได้แสดงถึงความสัมพันธ์และเชื่อมโยงถึงกำลังรับแรงเฉือนแบบไม่ระบายน้ำภายใต้การรับน้ำหนักแบบวัฏจักรและตัวแปรทางกายภาพ (physical parameter) อาทิ เช่น ขนาด (amplitude) จำนวนรอบของการให้น้ำหนัก (the number of cyclic load) ระดับความเครียด (strain level) และอัตราการให้น้ำหนัก (rate of loading) โดยให้น้ำหนักเพิ่มแบบ stage cycle amplitude (การเพิ่มขนาดหน่วยแรงทีละขั้น โดยแต่ละขั้นจะระบายน้ำออกก่อนที่จะเพิ่มขนาดหน่วยแรง) และแบบ continuous cycle amplitude (การเพิ่มขนาดหน่วยแรงต่อเนื่องกันโดยตลอดจนกระทั่งดินวิบัติ) ผลของการทดสอบมีผลต่อค่าโมดูลัสเฉือนและค่าอัตราส่วนแ美德ปิงซึ่งพบว่า การให้น้ำหนักเพิ่มแบบ Stage cycle amplitude และแบบ continuous cycle amplitude จะให้ผลที่คล้ายกันขึ้นอยู่กับพฤติกรรมของค่าโมดูลัสเฉือนและค่าอัตราส่วนแ美德ปิง ผลของการอัดตัวคายน้ำเริ่มต้น (initial consolidated) มีผลต่อการเปลี่ยนแปลงค่าโมดูลัสเฉือนและอัตราส่วนแ美德ปิงมากที่สุด ผลของการเพิ่มน้ำหนักแบบ Stage cycle amplitude ค่าโมดูลัสเฉือนและอัตราส่วนแ美德ปิงจะให้ค่าใกล้เคียงกับผลการทดสอบในทางปฏิบัติ (เมื่อเปรียบเทียบกับวิธีในสนาม, seismic test) มากกว่าวิธีการเพิ่มน้ำหนักแบบ continuous cycle amplitude

Shear Modulus and Damping Ratio of Soft Bangkok Clay (S. Teachavorasinskun, P. Tongchim and P. Lukkunapasit, 2002) การหาค่าโมดูลัสเฉือนและอัตราส่วนแ美德ปิงของดินตัวอย่างแบบไม่ระบบทบกระเทือนของดินเหนียวกรุ่นเทพฯ ด้วยเครื่องทดสอบแรงอัดสามแกนภายใต้สภาพการรับหนักแบบวัฏจักร แม้ว่าจะมีการศึกษาทางด้าน seismic analysis แล้วแต่ผลเป็น parameter ทางพลศาสตร์ด้วยวิธี empirical แต่ก็ไม่สามารถอธิบายค่าที่ได้จากสนามได้เช่น ความสัมพันธ์ของหน่วยแรงและความเครียดที่มีต่อค่า damping ratio และ shear modulus ดังนั้นในงานวิจัยนี้จึงทำการศึกษาค่า parameter ทางพลศาสตร์ด้วยเครื่องทดสอบแรงอัดสามแกนจากการศึกษาพบว่า การลดลงของกราฟโมดูลัสเฉือนสำหรับดินเหนียวที่ได้มีค่าคล้ายกับการทดลองของ Vucetic (1991) เมื่อเปรียบเทียบผลกับช่วงค่า plasticity ในช่วงเดียวกันค่าอัตราส่วนแ美德ปิงมีการเปลี่ยนแปลงประมาณ 4-5 % ที่ค่าความเครียดน้อยๆ และเปลี่ยนแปลง

ประมาณ 20-30 % ที่ค่าความเครียดมากๆ (ประมาณ 10% เป็นต้นไป) การเพิ่มความถี่จาก 0.1-1.0 เฮิร์ต ไม่มีผลต่อค่าโมดูลัสเนื่องแต่จะมีผลทำให้อัตราส่วนแ美德ปิงมีค่าลดลงเล็กน้อย เมื่อทำการ Normalized ผลของขนาดหน่วยแรงของน้ำหนักแบบวัฏจักร้อนเนื่องมาจากประวัติของдин (cyclic stress history) ที่ได้มาจากการ prestraining ต่อค่าโมดูลัสเนื่องและค่าอัตราส่วนแ美德ปิงพบว่า ผลของขนาดหน่วยแรงของน้ำหนักแบบวัฏจักร้อนเนื่องมาจากประวัติของ din ที่ได้มาจากการ prestraining ไม่มีผลต่อค่าโมดูลัสเนื่องและค่าอัตราส่วนแ美德ปิง

Stress Rate effect on the Stiffness of Soft Clay from Cyclic , Compression and Extension Triaxial Tests.(S. Teachavorasinslun , P. Thongchim and P. Lukkunaprasit, 2002) อัตราการใช้หน่วยแรงหรือความเครียดเป็นปัจจัยที่มีอิทธิพลกับพฤติกรรมของ din ทางด้านผลศาสตร์ ผลอัตราการให้น้ำหนักที่มีผลต่อ Secant Young's Modulus ของ din หนี่ยวอ่อนกรุงเทพฯ เป็นการเบรียบเทียบผล Secant Young's Modulus ที่ได้จากการทดสอบอัตตัวสามแแกนแบบไม่ระบายน้ำภายใต้การให้น้ำหนัก 3 แบบคือ

1. การให้น้ำหนักแบบอัดตัว (Compression)
2. การให้น้ำหนักแบบยืดตัว (Extension)
3. การให้น้ำหนักแบบวัฏจักร (Cyclic Loading)

พบว่า ที่ความเครียดในช่วงกลาง ๆ ประมาณ 0.02-0.2 % การให้ความถี่ (อัตราการให้หน่วยแรง) ที่เร็กว่าจะทำให้ค่า Secant Young's Modulus มากกว่าเมื่อดินทดสอบมีค่า effective stress เท่ากัน และถ้า effective stress (preconsolidated pressure) ที่จุดเริ่มต้นเพิ่มขึ้นหรือลดลงมีผลทำให้ค่า Secant Young's Modulus มากขึ้นและน้อยลงด้วย ที่ช่วงความเครียดมากๆ ประมาณ 0.2-10% ผลของ loading Rate (อัตราการให้น้ำหนัก) ไม่มีผลต่อการเปลี่ยนแปลงของ secant Younyg' s Modulus การเปลี่ยนแปลงของ Secant Young's Modulus ที่ช่วงความเครียดนี้ขึ้นอยู่กับผลของอัตราการอัดตัวอย่างน้ำ (Consolidated Stress) ในตอนเริ่มต้น

พุติกรรมด้านกำลังรับแรงและการเสียรูปของ din หนี่ยวอ่อนกรุงเทพฯ โดยการทดสอบแรงอัดสามทิศทางแบบวัฏจักร (เอนกพงศ์ ธรรมาริวัฒน์, 2003) งานวิจัยนี้เป็นการศึกษาพุติกรรมการรับแรงและการเสียรูปของ din หนี่ยวอ่อนกรุงเทพฯ โดยการใช้เครื่องมือทดสอบแรงอัดสามทิศทางแบบวัฏจักรภายใต้เงื่อนไขไม่ระบายน้ำและนำผลที่ได้จากการทดสอบไปศึกษาพุติกรรมการทวีตัวของ din หนี่ยวอ่อนกรุงเทพฯ ให้แรงกระทำในลักษณะที่มีการเพิ่มขึ้นและลดลงของแรงกระทำอันเนื่องมาจากการน้ำหนักภาระจราจร โดยเก็บตัวอย่าง din หนี่ยวคงสภาพจากการทดสอบเพื่อศึกษาพุติกรรมการรับแรงและการเสียรูปของ din หนี่ยวอ่อนกรุงเทพฯ

โดยใช้แรงกระทำแบบวัฏจักร พบร่วมกับการทดสอบทุกกรณีค่าหน่วยการปีดหดตัวและแรงดันน้ำจะเพิ่มขึ้นตามจำนวนรอบของแรงที่กระทำแต่ค่าโมดูลัสแบบเนื้อน้ำลดลงตามการ เพิ่มขึ้นของจำนวนรอบของแรงที่กระทำและค่าอัตราส่วนความหน่วงจะลดลงน้อยมากเมื่อจำนวนรอบของแรงที่กระทำเพิ่มขึ้น นอกจากนี้จากการทดสอบโดยใช้ค่าความถี่ของแรงที่กระทำ เท่ากับ 0.1, 0.5 และ 1 Hz ตามลำดับ พบร่วมกับเพิ่มค่าความถี่ของแรงที่กระทำมากขึ้นภายใต้อัตราส่วนหน่วยแรงที่กระทำเดียวกันตัวอย่างดินจะสามารถรับแรงได้มากขึ้นแต่ค่าแรงดันน้ำจะลดลง ในขณะเดียวกันความถี่ของแรงที่กระทำมีผลต่อค่าโมดูลัสแบบเนื้อน้ำอยมาก ส่วนในกรณีอัตราส่วนความหน่วงจะมีแนวโน้มลดลงเมื่อความถี่เพิ่มมากขึ้น

2.2 ทฤษฎีที่เกี่ยวข้อง

2.2.1 การเคลื่อนตัวของมวลดิน (Ground Motion)

Wood (1908) ได้สรุปรายงานเกี่ยวข้องกับการเกิดแผ่นดินไหวใน San Francisco เมื่อปี ค.ศ.1906 ดังนี้ “ขนาดของความเสียหายที่เกิดขึ้นในบริเวณต่างๆ ขึ้นเนื่องจากแผ่นดินไหวในชานมหานครซิสโก เมื่อวันที่ 10 เมษายน 1906 นั้นขึ้นอยู่กับสภาพทางธรณีวิทยาของบริเวณนั้นเป็นหลัก” อย่างไรก็ตามข้อสรุปดังกล่าวข้างต้นนั้นเกิดขึ้นจากการสังเกตุเป็นหลักเนื่องจากข้อมูลทางธรณีวิทยาและข้อมูลแผ่นดินไหวในขณะนั้นยังมีค่อนข้างน้อย ปี ค.ศ.1957 ข้อมูลที่สำคัญที่บ่งชี้ถึงความสำคัญของสภาพทางธรณีวิทยาต่อระดับความเสียหายขึ้นเนื่องจากแผ่นดินไหวได้ถูกเปิดเผยออกมาย โดยข้อมูลดังกล่าวได้จากการตรวจวัดอัตราเร็วและความเร่งของการเคลื่อนตัวของชั้นดินในระดับต่าง ๆ กัน ณ จุด ต่าง ๆ รอบ ๆ เมือง San Francisco เมื่อนำข้อมูลดังกล่าวมาเปรียบเทียบกับสภาพทางธรณีวิทยาแล้วทำให้สามารถสรุประดับความเสียหายที่อาจจะเกิดขึ้นกับโครงสร้างหรือสิ่งปลูกสร้างต่าง ๆ ได้ดังนี้ (Seed et al. 1991, Hisada et al. 1965 and Athanassopoulos and tikou 1990)

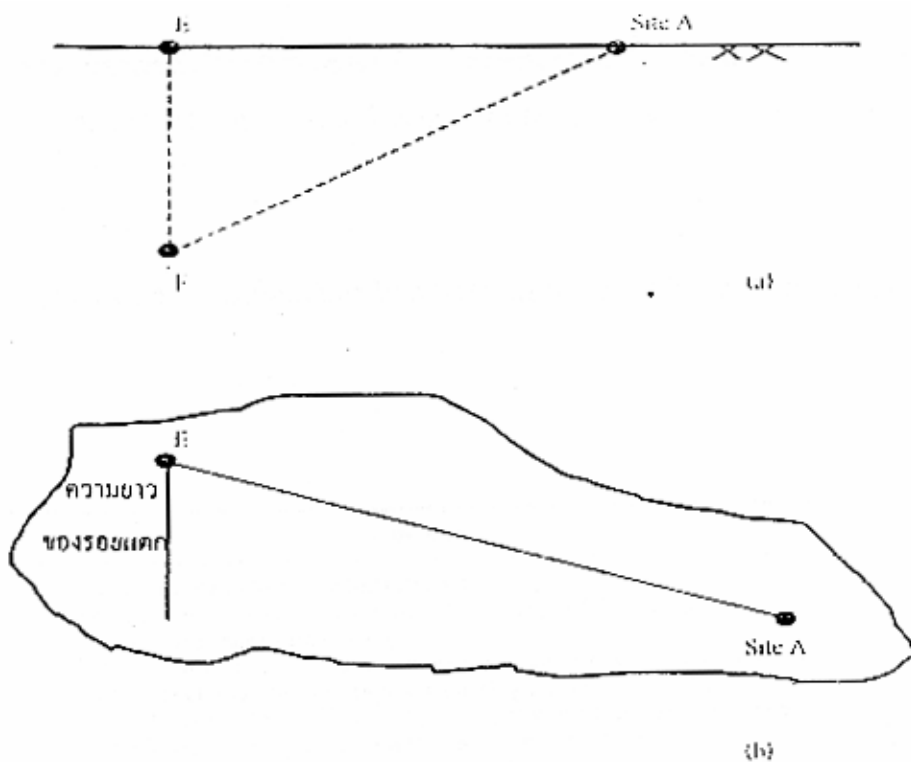
1. ตำแหน่งต่าง ๆ ที่ทำการตรวจวัดมีระยะที่ห่างจากจุดศูนย์กลางแผ่นดินไหวใกล้เคียงกัน
2. ชั้นดินอ่อน(Clay หรือ Sand) มีคุณลักษณะที่กรองเอกสารลื่นแผ่นดินไหวที่มีความถี่สูงออก และขยายคลื่นแผ่นดินไหวที่มีความถี่ต่ำ ส่งผ่านขึ้นสู่ผิวดิน

ดินอ่อนประเกตต่าง ๆ ก็ยังก่อให้เกิดการเคลื่อนตัวและระดับความเสียหายต่อโครงสร้างแต่ละประเภท ต่างกันออกไป โดยแนวโน้มที่สำคัญคือ ชั้นดินที่อ่อนกว่าจะมี pre-dominant period ที่สูงกว่าจึงมี potential ที่จะก่อความเสียหายแก่อาคารที่มี pre-dominant period ยาว ๆ (เช่นอาคารสูง) มากกว่า โครงสร้างที่มี natural period สั้น ๆ (เช่น อาคาร บ้านพักอาศัย)

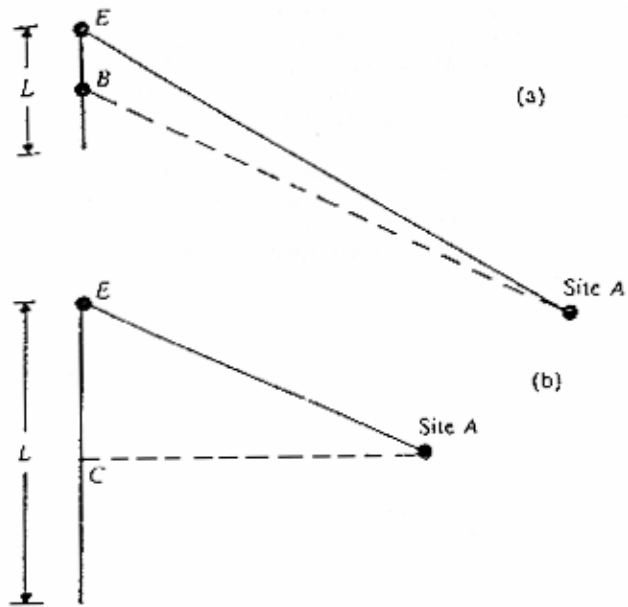
2.2.2 นิยามที่เกี่ยวข้องกับแผ่นดินไหว (Definition of some earthquake Related Term)

- โฟกัส (Focus) คือ จุดที่อยู่ใต้ผิวดินซึ่งรายเดกร้าวเกิดขึ้นเป็นจุดแรก ดังรูป 2.1 (จุดF)
- ความลึกของจุดโฟกัส (Focus Depth) คือระยะทางที่แนวดิ่งที่วัดจากผิวดินไปถึงจุดโฟกัส ดังรูป 2.1 (a) (ระยะ EF) แบ่งออกเป็น 3 ประเภท
- โฟกัสของการเกิดแผ่นดินไหวระดับลึก (Deep-focus earthquake) คือ ความลึกของจุดโฟกัสตั้งแต่ 300-700 กิโลเมตร (185-435 ไมล์)
- โฟกัสของการเกิดแผ่นดินไหวระดับปานกลาง (Intermediate-focus earthquake) คือ ความลึกของ จุดโฟกัสตั้งแต่ 70 – 300 กิโลเมตร (45-185 ไมล์)

- ไฟกัสของการเกิดแผ่นดินไหวระดับตื้น (Shallow-focus earthquake) คือ ความลึกของจุดไฟกัส น้อยกว่า 70 กิโลเมตร (45 ไมล์)
- อิพิเซนเตอร์ (Epicenter) คือ จุดที่อยู่เหนือจุดไฟกัสในแนวตั้ง ดังแสดงโดยจุด E ในรูป 2.1
- ระยะทางอิพิเซนทริก (Epicentic Distance) คือ ระยะทางในแนวราบระหว่างอิพิเซนเตอร์กับ ตำแหน่งหรือสถานที่สนใจ ดังแสดงโดยเส้น EA ในรูป 2.1
- ระยะทางไฮโพเซนทริก (Hypo-centric Distance) คือ ระยะทางระหว่างจุดไฟกัสกับตำแหน่งหรือ สถานที่สนใจ ดังแสดงโดยเส้น FA ในรูป 2.1 (a)
- Effective Distance to Causative Fault คือ ระยะทางจากจุดแบ่งครึ่งของรอยแตกร้าวถึงสถานที่ สนใจ ดังรูปแสดงใน 2.2
- ความเข้มของการเกิดแผ่นดินไหว (Intensity) คือ การวัดขนาดของการเกิดแผ่นดินไหวชั้งวัดตาม จำนวนการทำลาย แบ่งออกเป็น 12 ระดับ ในแนวของ Modified Mercalli Scale ดังแสดงใน ตาราง 2.1



รูปที่ 2.1 นิยามของจุดไฟกัสและอิพิเซนเตอร์; (a) รูปตัด และ (b) รูปแบบ



รูปที่ 2.2 ระยะทางประสิทธิผลจากการอยแทรกถึงสถานที่อ้างอิง

ตารางที่ 2.1 การวัดขนาดของการเกิดแผ่นดินไหวแบ่งออกเป็น 12 ระดับในแนวข้อง Modified Mercalli Scale

Intensity	Description
1	Detected only by sensitive instruments
2	Felt by a few persons at rest, especially on upper floors, delicate suspended objects may swing
3	Felt noticeably indoors, but not always recognized as a quake; standing rock slightly, vibration like passing trucks
4	Felt indoors by many, outdoors by a few; at night some awaken; dishes window, doors disturbed; motor cars rock noticeably
5	Felt by most people; some breaking of dishes, windows and plaster disturbance of all objects
6	Felt by all; many are frightened and run outdoors; falling plaster and chimneys; damage small
7	Everybody runs outdoors; damage to building varied, depending on quality of construction; noticed by diver auto

Intensity	Description
8	Panel walls thrown out of frames; fall off wall monuments, chimneys; sand and mud ejected; diver of auto disturbed
9	Buildings shifted off foundation, cracked, thrown out of plumb; ground cracked; underground pipe broken
10	Most masonry and frame structure destroyed; ground cracked; rails bent landslide
11	New structure remain standing; bridges destroyed; fissures in ground pipe broken; rails bent; landslide
12	Damage total; wave seen on the ground surface; lines of sight and level distorted; object thrown up into the air

2.2.3 ทฤษฎีที่ใช้ในเคราะห์ผลในการทดสอบภายใต้สภาวะการรับน้ำหนักแบบสติติกาสต์

2.2.3.1 p-q ไดอะแกรมทางเดินของหน่วยแรงของ MIT

Lambe และ Whitman (1969) ได้เสนอวิธีการใช้ p-q ไดอะแกรมและทางเดินของหน่วยแรงสำหรับงานด้านวิศวกรรมปูฐีแทนการเขียนวงกลมของมอร์ โดยใช้คำจำกัดความของ p-q และทางเดินของหน่วยแรงดังนี้

p คือค่าหน่วยแรงในแนวตั้งจากบนระนาบทำมุม 45 องศา กับระนาบของ σ (ดังรูปที่ 2.3) ส่วน q คือ ค่าหน่วยแรงเฉือนสูงสุด (Maximum Shear Stress) ที่เกิดขึ้นในมวลดินที่จุดนั้นหน่วยแรงเฉือนนี้อยู่บนระนาบที่ทำมุม 45 องศากับระนาบของ σ_1 เช่นกัน ดังนั้น

$$p = \frac{\sigma_1 + \sigma_3}{2} \quad 2.1$$

$$q = \frac{\sigma_1 - \sigma_3}{2} \quad 2.2$$

เมื่อวงกลมของมอร์เขียนได้ทั้งรูปของหน่วยแรงรวมและหน่วยแรงประสิทธิผล p-q ไดอะแกรมจึงมีได้ทั้งรูปของหน่วยแรงรวมและแรงประสิทธิผล โดยค่า q หรือรัศมีของวงกลมของมอร์มีค่าเท่ากันทั้งในรูปของหน่วยแรงรวมและหน่วยแรงประสิทธิผลเพราความดันน้ำในโพรงมีค่าเท่ากันทุกทิศทางและผลต่างระหว่าง p และ \bar{p} นั่นคือ

$$q = \frac{\underline{\sigma}_1 - \underline{\sigma}_3}{2} = \frac{\overline{\sigma}_1 + u - \overline{\sigma}_3 - u}{2} = \frac{\overline{\sigma}_1 - \overline{\sigma}_3}{2} \quad 2.3$$

$$p - \overline{p} = \frac{\underline{\sigma}_1 + \underline{\sigma}_3}{2} - \frac{\overline{\sigma}_1 + \overline{\sigma}_3}{2} = u \quad 2.4$$

ทางเดินของหน่วยแรง (Stress Path) คือ เส้นแสดงการเปลี่ยนแปลงของ $p-q$ ในมวลดิน โดยปกติทางเดินของหน่วยแรงจะไม่เป็นเส้นตรงเสมอไป ทางเดินของหน่วยแรงอาจเขียนได้ทั้งในรูปของทางเดินของหน่วยแรงรวมเขียนใน $p-q$ โดยแกรม และในรูปของหน่วยแรงประสิทธิผลเขียนใน $\overline{p} - \overline{q}$ โดยแกรม ทางเดินของหน่วยแรงนี้มีความสำคัญมาก เพราะการเปลี่ยนแปลงทิศทางของหน่วยแรงรวมและหน่วยแรงประสิทธิผลทำให้มวลดินก้อนเดียวกันมีพฤติกรรมและสมบัติทางด้านการรับแรงเฉือนหรือสมบัติทางด้านหน่วยแรงความเครียดต่างกันไปได้

การใช้ $p - q$ โดยแกรมมักจะใช้เขียนในมวลดินที่อยู่ใน center line ของหน่วยแรง ภายนอกที่มากจะทำในกรณีดังกล่าว ค่า σ_v คือ σ_v และ σ_h คือ σ_h เป็นส่วนใหญ่ ดังนั้นจึงมีผู้ใช้ความหมายของ p และ q ในรูปของ σ_v และ σ_h ดังนี้

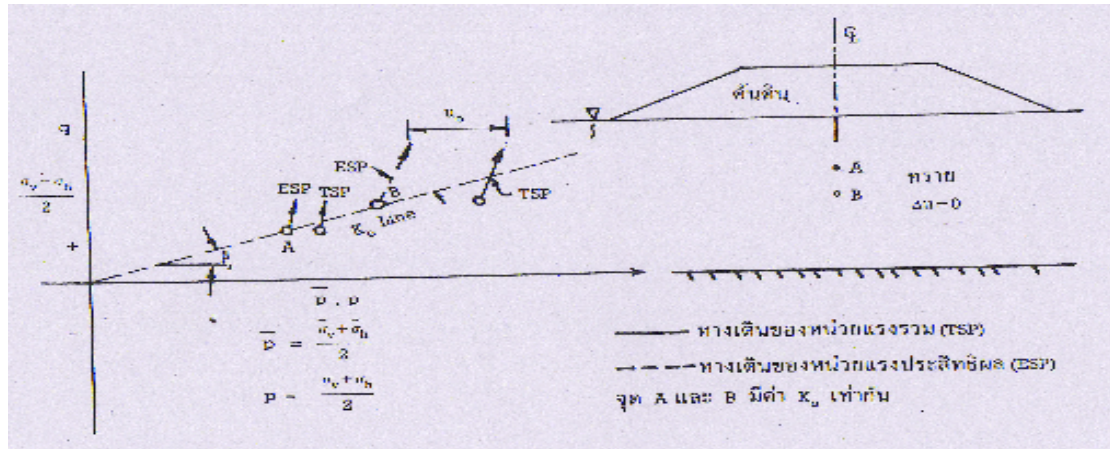
$$P = \frac{\underline{\sigma}_v + \underline{\sigma}_h}{2} \quad 2.5$$

$$q = \frac{\overline{\sigma}_v - \overline{\sigma}_h}{2} = \frac{\underline{\sigma}_v - \underline{\sigma}_h}{2} \quad 2.6$$

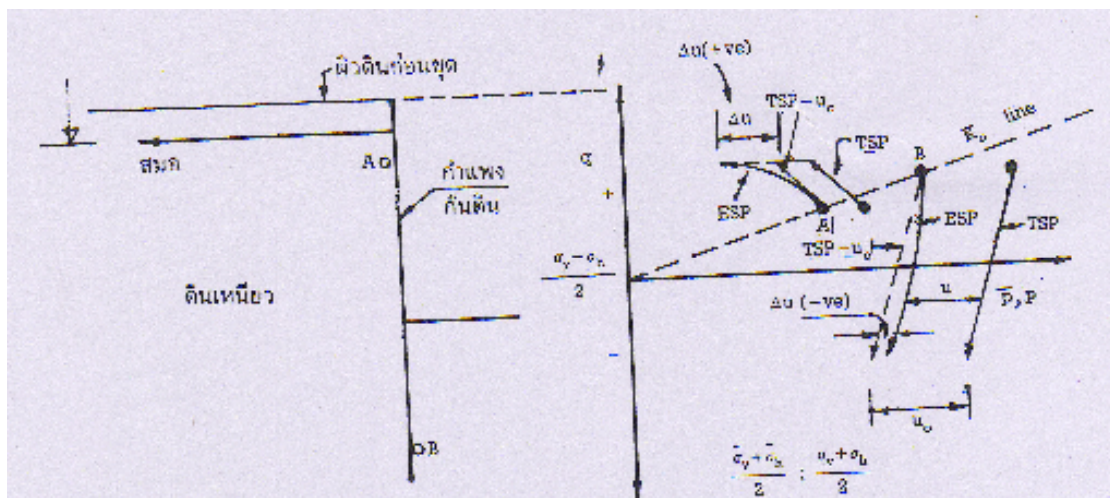
รูปที่ 2.3 แสดงตัวอย่างของ $p-q$ โดยแกรมในรูปต่างๆ และสมบัติของ $p - q$ โดยแกรม สิ่งที่สำคัญที่ควรทราบเกี่ยวกับ $p-q$ และ $\overline{p}-\overline{q}$ โดยแกรมมีดังนี้ :

$$(1) \quad \frac{q}{p} = \tan \beta = \frac{1-K}{1+K} \quad \text{โดย } K = \frac{\overline{\sigma}_h}{\sigma_v} \quad \text{ทุกจุดในมวลดินมีค่า } K \text{ คงที่}$$

เช่น K_0 จะเริ่มต้นของทางเดินของหน่วยแรงซึ่งแสดงสภาพของหน่วยแรงในมวลดินทุกจุดก่อนมีหน่วยแรงภายนอกมากจะอยู่บนเส้นตรงเส้นเดียวกัน (รูปที่ 2.3 ก.) และเมื่อ β สูงขึ้นในขณะที่ q เป็นค่าบวก ค่า K จะน้อยกว่า 1.0 และมีค่าลดลงที่แกน \overline{p} เมื่อ ค่า $K = 1.0$ เมื่อค่า q เป็นลบค่า K มากกว่า 1.0



รูปที่ 2.3 (ก) แสดงสภาพของหน่วยแรงในดินก่อนและหลังมีหน่วยแรงภายนอกมากระทำ



รูปที่ 2.3 (ข) ตัวอย่างการเขียนทางเดินของหน่วยแรงรวมและหน่วยแรงประสิทธิผลในดินเหนียว เมื่อมีค่า $\Delta\sigma$ เกิดขึ้นในปัญหาการขุดดินเหนียวที่จุด A และ B หลังกำแพงกันดิน และ ได้บวиваниеที่ขุด

(2) ถ้าลากเส้น 45 องศา กับแนวตั้งจากจุดบน $p - q$ ได้จะแกรมออกไปทั้งสองข้าง เส้นทั้งสองนี้จะตัดแกน p ที่ σ_v และ σ_h สำหรับ $p - q$ ได้จะแกรมจุดที่เป็นจุดตัดคือ σ_v และ σ_h ดังนั้นทางเดินของหน่วยแรงที่เป็นเส้นตรงทำมุม 45 องศา กับแนวแกน p ในขณะที่ σ_v (หรือ $\bar{\sigma}_v$) หรือ σ_h (หรือ $\bar{\sigma}_h$) ตัวใดตัวหนึ่งต้องคงที่

(3) ผลต่างของ σ_u และ σ_h คือค่า $\Delta\sigma$ ดังนั้นถ้าหากเส้น TSP (Total Stress Path) - σ_0 ซึ่งนานไปกับทางเดินของหน่วยแรงรวม (TSP, Total Stress Path) ดังรูปที่ 2.3 ข ระยะทางตามแนวแกน ρ หรือ $\bar{\rho}$ ระหว่างเส้น TSP - σ_0 กับทางเดินของหน่วยแรงประสิทธิผล (ESP) ที่ค่า σ ค่าใดค่าหนึ่งคือ ค่า $\Delta\sigma$ จะเห็นได้ว่า $\Delta\sigma$ อาจเกิดได้ทั้ง บวกและลบ ขึ้นอยู่กับทิศทางของ TSP

ในการเขียนทางเดินของหน่วยแรงนี้จำเป็นต้องทราบทั้ง $\Delta\sigma_v$ (σ_{zz}) และ $\Delta\sigma_h$ ($\Delta\sigma_{xx}$) ซึ่งค่าทั้งสองนี้สามารถคำนวณได้โดยทฤษฎีอิเลสติกในรูปที่ 2.3 ข. จะเห็นได้ว่าที่จุด B ทิศทางของ σ_1 จะเปลี่ยนแปลงเนื่องจากการชุด ก่อนชุด $\sigma_v > \sigma_h$ (σ_v คือ σ_1) เมื่อชุดเสร็จแล้ว $\sigma_h > \sigma_v$ ในกรณีหลังนี้ σ_h คือ σ_1 ดังนั้นทิศทางของ σ_1 จึงเปลี่ยนไป 90 องศา ทำให้ σ มีค่าเป็นลบ

2.2.4 ทฤษฎีวิเคราะห์ผลในการทดสอบภายใต้สภาวะการรับน้ำหนักแบบพลศาสตร์

2.2.4.1 ความถูกต้องของคุณสมบัติทางพลศาสตร์ของดิน (Accuracy of the dynamic soil property of site)

คุณสมบัติทางพลศาสตร์ของดินที่ระดับผิวดินจนถึงระดับความลึก 60 ม. โดยประมาณที่ถูกต้อง มีความสำคัญมากสำหรับการคาดคะเนการเคลื่อนตัวของดินในขบวนการเกิดแผ่นดินไหว การคาดคะเนการเคลื่อนตัวของดินที่ดินนี้นั้นขึ้นอยู่กับคุณสมบัติทางพลศาสตร์ของดินและการวิเคราะห์การเคลื่อนตัวของดินที่ถูกต้อง วิธีการวิเคราะห์ที่ง่ายที่สุดและได้ผลเพียงพอสำหรับการวิเคราะห์การเคลื่อนตัวของดินบริเวณผิวดินได้แก่ Linear Equivalent Method ซึ่งวิธีการนี้จะนำคุณสมบัติทางพลศาสตร์ของดินที่ได้จากการทดสอบตัวอย่างดิน เช่น Shear Modulus และ Damping Ratio นำไปใช้ในการวิเคราะห์

2.2.4.2 แบบจำลอง Linear Viscoelastic

พฤติกรรมของดินที่ทดสอบด้วยเครื่องมือ Cyclic Triaxial สามารถแทนด้วยแบบจำลอง Linear Viscoelastic เพราะระดับของความเครียดแบบเฉือน (Shear Strain) อยู่ในช่วง $10^{-4} - 10^{-3}$ ซึ่งยังสมมุติให้ความสัมพันธ์ระหว่าง stress strain เป็น linear แต่ผลงานที่กระจายออกจะแสดงออกมาในรูปของ Damping Ratio เป็นคุณลักษณะของดินที่ระดับความเครียดเฉือนจุดนั้นค่าของ Damping Ratio มีความสำคัญมากสำหรับการหาการเคลื่อนตัวของดินในระหว่างที่เกิดแผ่นดินไหว ดังนั้นแบบจำลองที่นำเสนอพุติกรรมของดินจะมีผลต่อการหา Damping Ratio ของตัวอย่างทดสอบดินด้วย

2.2.4.3 ความสัมพันธ์หน่วยแรงกับความเครียดของแรงแบบวัฏจักร (The General Expression of Cyclic Stress – strain Relationships)

โดยทั่วไปความสัมพันธ์ระหว่างหน่วยแรงกับความเครียด stress strain ของแบบจำลอง Viscoelastic มีดังนี้ เมื่อให้หน่วยแรงเฉือน (τ) ก่อให้เกิดความเครียดเฉือน (γ) ในรูปของการเปลี่ยนรูป (deformation) ที่ได้จาก triaxial simple shear หรือ torsion shear test กำหนดให้ τ และ γ โดยให้แต่ละค่าอยู่ในรูปของ Sinusoidal คือ

$$\tau = \tau_a \sin \omega t \quad 2.7$$

τ_a คือ amplitude, t คือเวลา, ω คือความถี่เชิงมุมหรือความถี่รอบที่กระทำต่อตัวอย่างติดก่อให้เกิดความเครียดอยู่ในรูปแบบ Sinusoidal เหมือนกัน แต่มีเวลาของการเกิดเข้าไปเกี่ยวข้องด้วยซึ่งสามารถเขียนสมการดังนี้

$$\gamma = \gamma_a \sin (\omega t - \delta) \quad 2.8$$

γ_a คือ amplitude ของความเครียดเฉือน และ δ คือ Angle of phase difference แสดงในรูปของ Time Lag ของความเครียดที่ตอบสนองต่อการกระทำของหน่วยแรงสมการ 3.5 และ 3.6 เพื่อทำให้เข้าใจง่ายขึ้น นำสมการ 3.5 หารด้วยสมการ 3.6 จะได้ τ/γ ไม่เพียงแต่จะเป็นฟังก์ชันของอัตราส่วนของ τ_a/γ_a แต่ยังเป็นฟังก์ชันของ Angle of phase difference แต่จากการหาความสัมพันธ์ข้างต้น เขียนในรูปของค่าจำนวนเชิงซ้อน (Complex Variable) จะได้

$$\begin{aligned} \tau_R &= \tau_a \sin \omega t \\ \gamma_R &= \gamma_a \sin (\omega t - \delta) \end{aligned} \quad 2.9$$

โดยที่ τ_R และ γ_R เป็นหน่วยแรงเฉือนและความเครียดเฉือน จากสมการ 3.5 และ 3.6 มีความสัมพันธ์ในลักษณะเป็น Conjugate กัน หรือเป็น Viscoelastic Body เมื่อมีค่าหน่วยแรง (τ) มากกระทำมีผลทำให้มีความเครียด (γ) ออกมาก ในขณะเดียวกัน ถ้าเป็น Body เดียวกัน ถ้าให้ค่าของความเครียด (γ_R) จะได้ค่าของหน่วยแรง (τ_R) เช่นเดียวกัน ดังนั้นอาจจะกล่าวได้ว่า ค่าของหน่วยแรงของ Viscoelastic Body จะเขียนอยู่ในรูปจำนวนเชิงซ้อน (Complex Variable) ดังนั้น

$$\bar{\tau} = \tau_R + i\tau$$

$$\bar{\gamma} = \gamma_R + i\gamma$$

โดยให้ i เป็นค่า Unit Imaginary Number และค่า $\bar{\tau}$ และ $\bar{\gamma}$ เป็นค่าหน่วยแรงเฉือนและความเครียดเฉือนในรูปเชิงซ้อน จากสมการ 3.5, 3.6, และ 3.7 ถ้ากำหนดรูปแบบของ $\bar{\tau}$ และ $\bar{\gamma}$ เช่นในรูปเดียวกัน จะได้

$$\begin{aligned}\bar{\tau} &= \tau_R e^{i\omega t} \\ \bar{\gamma} &= \gamma_R e^{i(\omega t - \delta)}\end{aligned}\quad 2.10$$

จากสมการ 3.8 เป็นรูปแบบทั่วไปของหน่วยแรงและความเครียดที่แสดงอยู่ในรูปเชิงซ้อนซึ่งจะแบ่งออกเป็น 2 ส่วนคือ หน่วยแรงกับความเครียด ส่วนในกรณีที่มีทั้งหน่วยแรงและความเครียดจะสามารถอธิบายโดยอัตราส่วน ของ $\bar{\tau}$ / $\bar{\gamma}$ ซึ่งจะสามารถเขียนเป็นสมการได้ดังนี้

$$= \frac{\bar{\tau}}{\bar{\gamma}} = e^{i\delta} \frac{\tau_a}{\gamma_a} = (\cos \delta + i \sin \delta) \quad 2.11$$

โดยให้

$$\mu = \frac{\tau_a}{\gamma_a} \cos \delta, \quad \mu' = \frac{\tau_a}{\gamma_a} \sin \delta \quad 2.12$$

เขียนใหม่เป็น

$$\mu \bullet = \mu + i\mu'$$

หรืออาจจะเขียนเป็น

$$\frac{\bar{\tau}}{\bar{\gamma}} = \mu + i\mu' = \mu \bullet \quad 2.13$$

เมื่อ

μ = Elastic Modulus

μ' = Loss Modulus

$\mu \bullet$ = Complex Modulus

ค่า Elastic modulus เป็นพารามิเตอร์ที่แสดงให้เห็นถึงความเป็น Elastic ในขณะเดียวกันค่า Loss modulus จะแทนผลลัพธ์งานที่กระเจาดออกไปซึ่งเป็นคุณลักษณะของ viscoelastic body จากสมการ 2.12 สามารถเขียนเป็นสมการใหม่ดังนี้

$$\frac{\tau_a}{\gamma_a} \sqrt{\mu^2 + \mu'^2} = |\mu|$$

$$\tan \delta = \frac{\mu'}{\mu} = \delta \quad 2.14$$

ค่า δ เป็นพารามิเตอร์ เรียกว่า Loss coefficient จะแสดงให้รู้ว่าผลลัพธ์งานสูญเสียหรือบางที่อาจจะเรียกว่าเป็นคุณลักษณะของ Damping ค่าสัมบูรณ์ของค่า Complex Modulus จะแสดงให้เห็นว่าเป็นค่าโมดูลัสของวัสดุนั้น

คำว่าพารามิเตอร์ของวัสดุ ค่า μ และ μ' เป็นค่าคงที่ ค่าของ μ สามารถนำไปเป็นพิงก์ชั้นของความถี่เชิงมุม (Angular Frequency) ดังนั้นค่า Moduli คือ μ และ μ' ที่แสดงในสมการ 3.10 อาจจะเป็นรูปแบบที่สำคัญ และอาจจะนำไปใช้ยอนอยู่ในรูปแบบอื่นได้ เช่น พิงก์ชั้นในรูปของความถี่ ดังนั้นรูปแบบของพิงก์ชั้นที่กำหนดค่า Moduli ของพฤติกรรมของวัสดุที่เป็น Viscoelastic สามารถอธิบายได้ด้วยเด่นมากขึ้น การกำหนดค่า moduli มีอยู่หลายวิธี อาจจะนำเสนอในรูปแบบของการทดลองโดยตรง (Direct Experiment) บนพื้นฐานแบบจำลองของสปริง (Spring) และ Dashpot โดยจะกล่าวถึงในส่วนต่อไป

2.2.4.4 Hysteric Stress-Strain curve

พฤติกรรมของความสัมพันธ์หน่วยแรงกับความเครียด (Stress-Strain) ของส่วนที่เป็น Viscoelastic body ที่กล่าวมาแล้วนั้น จากสมการ 2.7 และ 2.9 แสดงให้เห็นความสัมพันธ์ระหว่างหน่วยแรงกับความเครียดกับค่าพารามิเตอร์ของ Ωt ระหว่างสองสมการและสามารถเขียนในรูปความสัมพันธ์ของสมการได้ดังนี้

$$\left(\frac{\tau}{\tau_a} \right)^2 - 2\cos \delta \left(\gamma/\gamma_a \right) \left(\tau/\tau_a \right) + \left(\gamma/\gamma_a \right)^2 - \sin^2 \delta = 0 \quad 2.15$$

สมการกำลังสอง ของค่า (τ/τ_a) สามารถเข้ากับนิยามของ μ และ μ' ในสมการ 2.12 สมการเขียนเป็น

$$\tau = \mu\gamma \pm \mu\sqrt{\gamma^2 + \gamma_a^2} \quad 2.16$$

สมการที่ 2.12 อาจจะเป็นสมการสำหรับความสัมพันธ์ระหว่าง Stress-Strain ซึ่งอาจจะเป็นตัวแทนของสมการ 2.7 และ 2.8 สมการ 2.12 สามารถเขียนแยกออกเป็นสองส่วน ดังนี้

$$\begin{aligned} \tau &= \tau_1 + \tau_2 \\ \tau_1 &= \mu\gamma, \tau_2 = \mu\gamma_a \\ (\tau_2/\mu\gamma_a)^2 + (\gamma/\gamma_a)^2 &= 1 \end{aligned} \quad 2.17$$

จะได้ $\tau_1 = \mu\gamma$ ในสมการ 2.17 จะบรรยายด้วยรูป 2.4 (a) คือเส้นตรงที่มีความชันเป็น μ ส่วนอีกสมการนั้น จะแสดงให้เห็นเป็นวงรีในรูป 2.4 (a) เมื่อกัน โดยที่ $\tau_2 = \mu\gamma_a$ เป็นแกนทางยาวส่วน $\gamma = \gamma_a$ เป็นแกนทางสั้น ส่วนในรูป 2.4 (b) จะเป็นการรวมของส่วนเข้าด้วยกันได้เป็นวงรีแกนเอียงเป็นตัวแทนของสมการ 2.17 สำหรับ cyclic shear strain ก่อให้เกิดหน่วยแรงแบบเฉือน (Shear stress) ประกอบกันขึ้น 2 ส่วน ส่วนแรกคือการเปลี่ยนแปลงเป็นเส้นตรงกับความเครียดแบบเฉือน (Shear strain) กลับไปกลับมาดังนั้นแสดงในรูป 2.4 (a) ส่วนที่ 2 จะแสดงการเปลี่ยนแปลงเป็นวงรีหมุนตามเข็มนาฬิกาดังแสดงในรูป 2.4 (a) เช่นกัน ดังนั้นตามความเป็นจริงค่าของหน่วยแรงจะประกอบด้วย 2 ส่วนที่แสดงเป็น วงรีเอียง ในกรณีของ cyclic loading เส้นทางการเดินวนวงรีเอียงจะเป็นตัวแทนของ hysteretic loops ดังแสดงในรูป 2.4 (b) โดยที่ไปจะสังเกตเห็นในการลงพิกัดของ stress-strain ในการทดสอบ cyclic loading จากรูป 2.4 (b) วงรีเอียงตัดแกนหน่วยแรงแบบเฉือนที่ทำແเน่งเท่ากับ $\mu\gamma_a$ ดังนั้นค่าของ μ จะนำไปเป็นค่าด้วยตัวของความอ่อนหักหรือความผอมของวงรีค่าของ μ มาจากแสดงว่า วงรีนั้นอ่อนค่า Energy loss หรือ Damping หาก ส่วนค่าของ μ น้อยกว่าจะผอมค่า Damping ก็จะมีค่าน้อยด้วย ซึ่งจะได้จากการทดสอบ cyclic loading ปริมาณค่าของ Damping เป็นคุณลักษณะที่แสดงถึง Energy Loss Per Cycle จะมีค่าเท่ากับพื้นที่ล้อมรอบโดย Hysteresis Loop ที่แสดงในรูป 2.4 (b) ซึ่งพื้นที่ของ ΔW ล้อมรอบโดยวงรีเอียงควรจะเท่ากับพื้นที่ที่ปิดล้อมด้วยวงรีดังแสดงในรูป 2.4 (a) จึงสามารถคำนวณหาพื้นที่ได้โดยตรงโดยใช้สูตรการหาพื้นที่ของวงรีดังนี้

$$\Delta W = \int \tau d\gamma = \mu' \pi \gamma_a^2 \quad 2.18$$

เมื่อพิจารณาค่าสูงสุดของ Elastic Energy หรือ (W) ที่สามารถเก็บให้ส่วนที่เป็น Viscoelastic body มีอยู่หลายวิธีในการกำหนดการเก็บพลังงานแต่ที่เป็นจริงมากที่สุด ค่าของ พลังงานที่เก็บโดย Elastic component ของหน่วยแรงแบบเฉือน (Shear stress) (τ_1)

$$W = (1/2) \tau \gamma_a = (1/2) \mu \gamma_a^2 \quad 2.19$$

ดังนั้นการวัดค่าของ Damping และ Energy loss หรือ ΔW ค่อนข้างจะลำบากเนื่องจากเป็น ค่าฟังก์ชัน ของ Strain amplitude หรือ (γ_a) ซึ่งไม่อาจจะแสดงให้เห็นคุณสมบติแท้จริงของวัสดุได้ จึงนำค่าของปริมาณทั้งสองมากำหนดเป็นอัตราส่วนคือ Energy loss per cycle ต่อ Maximum stored energy จากสมการ 2.18 และ 2.19 สามารถนำมาเขียนเป็นสมการใหม่ ดังนี้

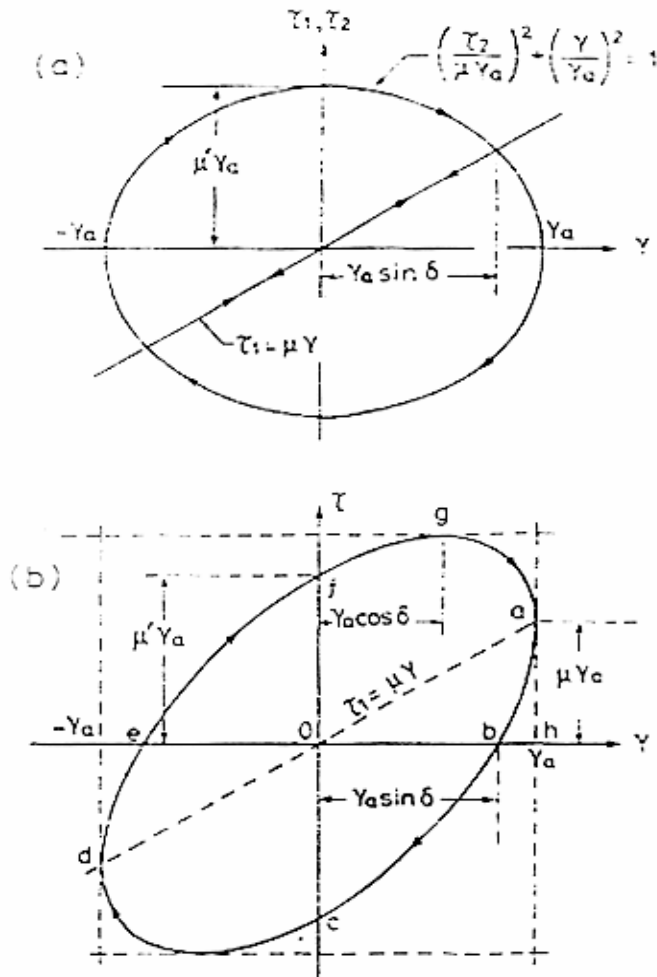
$$\frac{\Delta W}{W} = \frac{\mu' \pi \gamma_a^2}{(1/2) \pi \mu \gamma_a^2} = 2\pi \frac{\mu'}{\mu} \quad 2.20$$

หา η = Loss Coefficient

$$\eta = \frac{1}{2\pi} \frac{\Delta W}{W} = \frac{\mu'}{\mu} = \tan \delta \quad 2.21$$

ความสัมพันธ์ที่แสดงถึง Energy loss จะอยู่ในเทอมของ hysteresis loop ซึ่งจะสัมพันธ์กับ ค่า Damping อยู่ในรูปของ Phase Angle Difference ค่าของ Loss coefficient ของสมการ 3.19 เขียนใหม่ได้ดังนี้

$$\eta = \frac{\mu' \gamma_a}{\mu \gamma_a} \quad 2.22$$

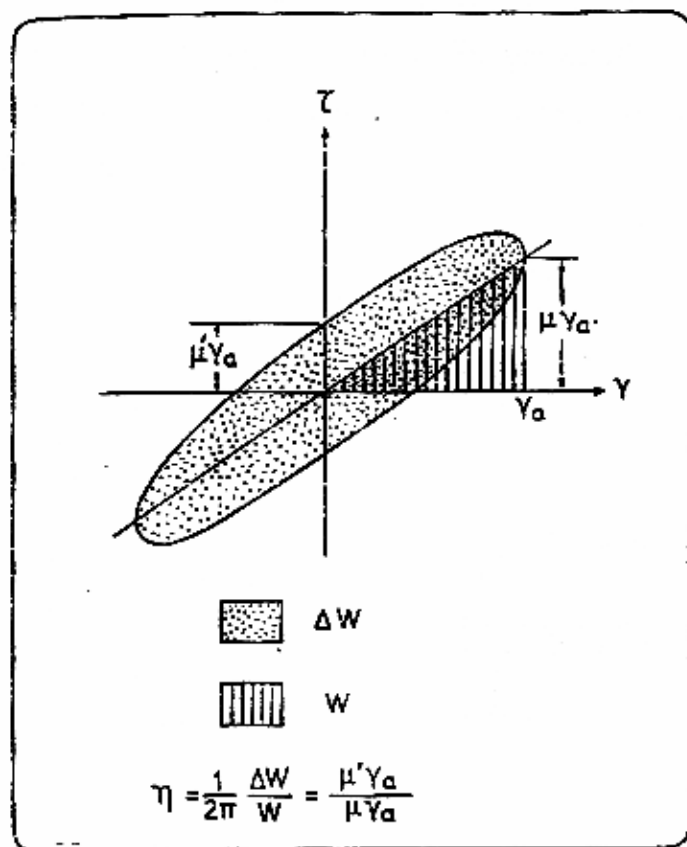


รูปที่ 2.4 Decomposition of the viscoelastic model into elastic and viscous components

จากสมการ 2.22 ที่ปรากฏเป็นรูปเศษส่วน โดยที่เศษจะมีค่าเท่ากับ $\bar{O}f$ ของ hysteresis loop ในรูปที่ 2.4 และอีกส่วนเท่ากับความยาวของ ah ดังนั้นจึงเป็นรูปร่างแบบที่ง่ายมากสำหรับวิธีหา Loss coefficient จาก cyclic stress-strain curve ที่ได้จากการทดลอง มีค่าเป็นดังนี้

$$\eta = \frac{\text{shear stress at zero strain}}{\text{shear stress at the maximum strain}} \quad 2.23$$

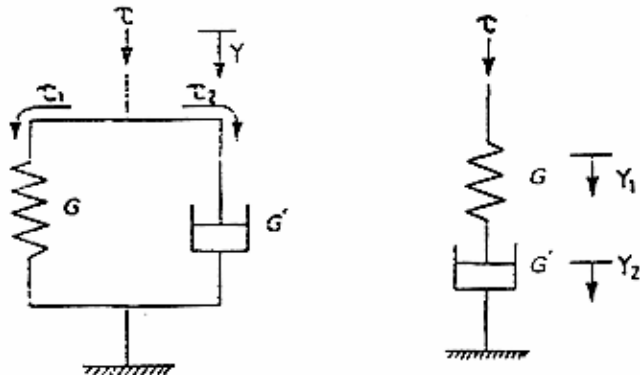
จากวิธีข้างต้นเป็นวิธีที่ sage คาดการที่สุด โดยใช้ Rule of Thumb คำนวนหา Loss coefficient อย่างไรก็ตามในกรณีเป็น nonlinear hysteresis curve อาจจะไม่สามารถใช้วิธีนี้ได้แต่อาจจะใช้วิธีที่จะแสดงในรูป 2.5 โดยใช้ค่าจำกัดความของ ΔW และ W



รูปที่ 2.5 นิยามของ Loss coefficient

2.2.4.5 แบบจำลองที่แทนระบบด้วย spring และ Dashpot (Model representation by the spring-dashpot system)

เพื่อให้เข้าใจดีขึ้นในการอธิบายพฤติกรรมรูปแบบของ Viscoelastic โดยใช้ Spring-dashpot เข้ามาช่วยประกอบการอธิบายจะได้เห็นข้อกำหนดและคุณสมบัติทางกายภาพของ Viscoelastic ในแต่ละส่วนของแบบจำลองนั้น เช่น คุณสมบัติของ Elastic จะแทนด้วยสปริงและคุณสมบัติของ Damping จะแทนด้วย Dashpot เป็นต้น โดยการต่อเขื่อมกันของตัวแทนทั้งสองอาจเป็นแบบขนาน (Parallel) หรือ แบบอนุกรม (Series) ดังแสดงในรูปที่ 2.6 ในส่วนของ loss energy จะทราบได้จากความแตกต่างภายในของเปลี่ยนรูปของ mechanism แต่สิ่งสำคัญควรจำคือ Dashpot สามารถแทนในส่วนของความเร็ว หรือ เวลาของการ Deformation โดยจะกล่าวถึง rate dependent damping ส่วนในกรณี cyclic loading ค่าของ rate dependency จะปรากฏให้เห็นในรูปของ Deformation ขึ้นอยู่กับความถี่ซึ่งเป็น คุณลักษณะ frequency-dependent จึงสามารถสรุปได้ว่า Rate dependent เป็นรูปแบบทางเลือกหนึ่งสำหรับการพิจารณาคุณสมบัติของวัสดุ



(a) Kelvin model

(b) Maxwell model

รูปที่ 2.6 แบบจำลอง Viscoelastic

2.2.4.6 แบบจำลองของเคลวิน (Kelvin Model)

เป็นรูปแบบจำลองพื้นฐานและใช้แพร่หลายมากที่สุด แบบจำลองของ Kelvin จะประกอบด้วย spring และ Dashpot ซึ่งจะต่อ กันแบบขนานดังแสดงในรูป 2.6(a) จากรูป 2.6

(a) จะเห็นได้ว่าในขณะที่ใส่ความเครียดเดือน (γ) จะก่อให้เกิดหน่วยแรงเดือน (τ) โดยแบ่งออกเป็นสองส่วนส่วนแรกจะเกิดที่สปริงมีค่าเท่ากับ τ_1 และจะเกิดที่ Dashpot เท่ากับ τ_2 ดังนั้นการแบ่งหน่วยแรงออกเป็น 2 ส่วนนี้จะทำให้ความสอดคล้องกับกฎทั่วไปและเป็นไปตามสมการ 3.15 ค่าของหน่วยแรงจะส่งผ่านสปริงมีค่าเท่ากับ $G\gamma$ และที่ Dashpot จะเท่ากับ $Gd\gamma/dt$ ให้ G เป็นค่าของ Spring constant และค่า G' เป็นค่าของ Dashpot constant ดังนั้นหน่วยแรงทั้งหมดจะเท่ากับ $\tau = \tau_1 + \tau_2$ สามารถเขียนเป็นสมการได้ดังนี้

$$\tau = G\gamma + G' \frac{d\gamma}{dt} \quad 2.24$$

จากสมการสัมพันธ์ระหว่างหน่วยแรงกับความเครียด (Stress-strain) จากแบบจำลองของ Kelvin สมการ 2.24 เชื่อว่าเป็นกรณีพิเศษของความสัมพันธ์แบบทั่วไปที่แสดงไว้ในสมการ 3.9 ดังนั้นสิ่งที่น่าสนใจคือค่า Elastic modulus (μ) และค่า Loss modulus (μ') อุญfine ของ G และ G' สำหรับจุดประสงค์สมการ 2.10 ค่าของหน่วยแรงและความเครียดจะแสดงในเทอมของ complex

variables มาเกี่ยวข้องโดยตรงกับค่าหน่วยแรงและความเครียดในสมการ 2.24 และผลจะเป็นได้ดังนี้

$$\tau_a e^{i\delta} = (G + i\omega G') \gamma_a \quad 2.25$$

อ้างถึงสมการที่ 2.12 จะเขียนสมการใหม่ได้ดังนี้

$$\mu + i\mu = G + i\omega G' \quad 2.26$$

เมื่อเปรียบเทียบในส่วนจริง (Real Part) และในส่วนจินตภาพ (Imaginary Part) แยกออกเป็นส่วน ๆ จะ มีค่าดังนี้

$$\mu = G, \mu' = \omega G', \eta = \tan \delta = G' \omega / G \quad 2.27$$

แบบจำลองของ Kelvin ในขณะที่ Elastic modulus (μ) มีค่าของ shear constant แต่ในส่วนของค่า Loss modulus (μ') จะเป็น a linear function of angular frequency ดังนั้นแนวโน้มของ Loss coefficient (η) ภายใต้ Cyclic loading จะเพิ่มขึ้นแบบเส้นตรงตามการเพิ่มขึ้นของความถี่ของ Body

ตามแบบจำลองของ Kelvin ถ้าเข้าใจในทฤษฎีของ Viscoelastic อาจจะใช้เป็นตัวแทนของพฤติกรรม การครีป (Creep) ของวัสดุตามเวลาโดย Load คงที่ซึ่งแสดงในความสัมพันธ์ภายใต้เงื่อนไขของหน่วยแรงคงที่ (Stress-controlled) สามารถดูจากสมการ 3.22 กับการคาดคะเนว่าเวลาภายใต้เงื่อนไขนี้คือ $\tau = \tau_0$ เมื่อ $\tau = 0$ ได้สมการเป็นดังนี้

$$\gamma = \frac{\tau_0}{G} (1 - e^{-t/\tau}) \quad 2.28$$

โดยที่ τ คือ G/G' เรียกว่า retardation time τ ที่ใส่เข้าไปเท่ากับ t ในสมการ 2.28 จะได้ $\gamma = 0.632 \tau_0/G$ ดังนั้นค่าของ retardation time คือระยะเวลาที่ต้องใช้เพื่อให้เกิดความเครียดเท่ากับ 63.2% ของค่าความเครียดทั้งหมด ภายใต้เงื่อนไขของหน่วยแรงแบบเฉือนที่เหลืออยู่

2.2.4.7 แบบจำลองของแมกซ์เวล (Maxwell Model)

เป็นแบบจำลองที่ประกอบไปด้วย spring และ Dashpot จะต่อ กันแบบอนุกรม (Series) ดังแสดงในรูป 2.6 (b) ในแบบจำลองนี้จะประยุกต์ค่าหน่วยแรง (γ) แบ่งออกเป็น 2 ส่วนด้วยกัน ส่วนแรกจะได้จาก Deformation ของ Spring มีค่าเท่ากับ γ_1 ส่วนที่สองมาจากการเปลี่ยนรูป ของ Dashpot เท่ากับ γ_2 โดยในแต่ละส่วนของหน่วยแรงจะมีความสัมพันธ์กับค่าหน่วยแรงดังนี้ $\tau = G\gamma_1$ และ $\tau = G'd\gamma_1/dt$ ดังนั้นแบบจำลองของแมกซ์เวลจะมีค่าของหน่วยแรงกับความเครียด (Stress-strain) สัมพันธ์กันดังนี้

$$\gamma = \gamma_1 + \gamma_2$$

$$\frac{\tau}{G} + \frac{1}{G'} \frac{d\tau}{dt} = \frac{d\gamma}{dt} \quad 2.29$$

กรณีที่เหมือนกับความสัมพันธ์ข้างต้น ค่าของ Elastic modulus (μ) และ Loss modulus (μ') จะแทนด้วย τ และ γ ของสมการ 2.29 โดยการแทนที่ $\bar{\tau}$ และ $\bar{\gamma}$ ของสมการ 2.10 จะได้สมการใหม่เป็นดังนี้

$$\left[\frac{1}{G} + \frac{1}{i\omega G'} \right] \tau_a = e^{i\delta} \gamma_a \quad 2.30$$

จากสมการ 2.12 สำหรับค่า (μ) และ (μ') จะมีค่าดังต่อไปนี้

$$\mu = \frac{(1/G)}{(1/G) + (1/\omega G')} \quad 2.31$$

$$\mu' = \frac{(1/\omega G')}{(1/G) + (1/\omega G')}$$

$$\eta = \tan \delta = G'/G\omega$$

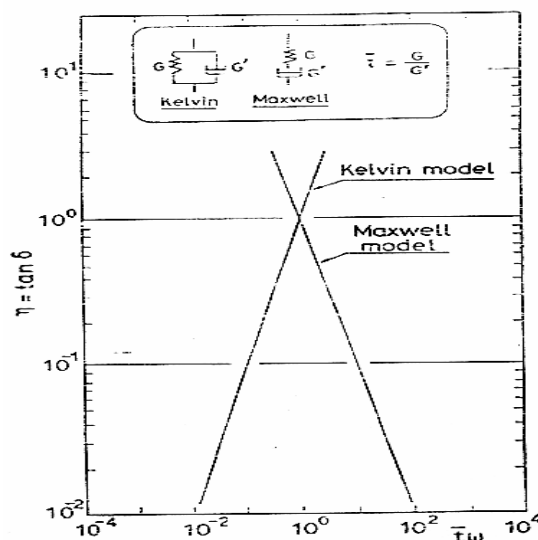
จากสมการ 2.31 จะเห็นได้ว่าค่าของ Loss coefficient (η) จะแปรผกผันกับค่าความถี่เชิงมุม (Angular frequency) แบบจำลองของแมกซ์เวลจะเป็นตัวแทนของ relaxation behavior ของวัสดุ ภายใต้การให้ ค่าของความเครียดที่มีขนาดคงที่โดยใช้สมการ 2.29 ภายใต้เงื่อนไขเริ่มต้น $\gamma = \gamma_a$ ที่ $\tau = 0$ สามารถเขียนอยู่ในรูปหน่วยแรงได้ดังนี้

$$\tau = \gamma_a G e^{-t/\bar{t}} \quad 2.32$$

โดยที่ t คือ G/G' เรียกว่า relaxation time \bar{t} ที่ใส่เข้าไปเท่ากับ t ลงในสมการ 2.32 จะได้ $\gamma = 0.368G\gamma_0$ ดังนั้น relaxation time หมายถึงระยะเวลาที่ต้องการใช้สำหรับ relax ที่จะก่อให้เกิดหน่วงแรงเฉือน (Shear stress) ขึ้นตันเท่ากับ 63.0% ภายใต้เงื่อนไขของความเครียดแบบเฉือน (Shear strain) ที่เหลืออยู่

ส่วนที่เหลือแสดงถึงค่าของ loss coefficient จะเท่ากับสองเท่าของค่า damping ratio เป็นส่วนที่มีความสำคัญที่สุดของการวิเคราะห์การตอบสนองของ Seismic ดังนั้นสิ่งที่น่าสนใจสำหรับการหาค่า nature of loss coefficient ตามนิยามของแบบจำลองของ Kelvin และ Maxwell สรุปได้จาก frequency dependency และค่า loss coefficient (γ) จากสมการ 2.27 และ 2.31 ซึ่งพล็อตกับค่า no dimensional parameter $\omega \bar{t}$ ในรูปที่ 2.7 แสดงให้เห็นอย่างชัดเจนของ Loss coefficient ในแบบจำลองของเคลวินจะมีค่าเพิ่มขึ้น ในขณะเดียวกันของแมกซ์เวลล์ค่าลดลงตามการเพิ่มขึ้นของความถี่ของ cyclic loading

ในส่วนต่อมาจะแสดงวิธีการมากมายสำหรับการหาค่า Damping ratio ในการทดลองในห้องปฏิบัติการสำหรับการหาค่า Damping ซึ่งเป็นคุณสมบัติของдинแต่ในทางปฏิบัติจะพบว่า Damping ratio จะมีอิสระกับค่าความถี่ในช่วงปกติ โดยการพับแบบบังเอิญของการกระทำของเร่งแผ่นดินไหว (Seismic loading) ดังนั้นการประยุกต์แบบจำลองของสปริงและ Dashpot จะเป็นปัญหาในทางปฏิบัติควรจะจำกัดเฉพาะในกรณีพิเศษซึ่งค่าความถี่ของ loading จะแปรเปลี่ยนในช่วงแคบ ๆ โดยการเปลี่ยนแปลงค่า Damping น้อยมากที่จะไปมีความสัมพันธ์กับการเปลี่ยนแปลงของค่าความถี่



รูปที่ 2.7 Loss coefficient of two models as functions of frequency

2.2.4.8 Non-Viscous type Kelvin model

สิ่งที่พบคือ ค่าของ frequency dependent nature ของค่า Loss coefficient ตามแบบจำลองของ Spring – dashpot มาจาก Viscous dashpot ซึ่งจะมีความสัมพันธ์กับหน่วยแรงและอัตราเวลา (Time rate) ของความเครียดดังนั้นการกำหนดข้อบกพร่องเป็นสิ่งสำคัญโดยเฉพาะอย่างยิ่งชนิดของ Dashpot ที่เป็น rate independent จากการทบทวนทฤษฎีของเทอร์โน่ไดนามิกส์การเปลี่ยนแปลงของ entropy จะแสดงให้เห็นว่าพลังงานถูกแพร่กระจายเสมอเมื่อมีการจำกัดเทอมของ time rate ของการเปลี่ยนแปลงบนพื้นฐานทางฟิสิกส์แต่ยังมี rate independent เหลืออยู่จึงมีแนวความคิดใหม่โดยการรวม rate independent ของ Dashpot เข้าด้วยกันทำให้สามารถแก้ปัญหาของแบบจำลองไปได้มากสามารถสะท้อนกลับมาในความเป็นจริงของพฤติกรรมของดินในระดับความถูกต้องที่ดีมากแบบจำลองที่ว่านั้นมีชื่อว่า nonviscous type Kelvin เอียนอยู่ในรูปสมการได้ดังนี้

$$\tau = (G + iG')\gamma \quad 2.33$$

โดยที่ G' เป็นค่าของ Dashpot constant แบบจำลองนี้จะประกอบด้วยสปริงและ rate-independent dashpot จะต่อ กันแบบขนานดังแสดงในรูป 2.8 ความแตกต่างของเครื่องหมายของ Dashpot เป็น สิ่งสำคัญ สมการ 2.33 สามารถวิเคราะห์ผลความสัมพันธ์ระหว่างหน่วยแรงกับความเครียดซึ่งหน่วยแรงจะประกอบด้วย 2 ส่วน ส่วนแรกจะเกิดขึ้นพร้อมกับความเครียดเท่ากับ $\tau_1 = G\gamma$ และส่วนที่สองจะเกิดขึ้นเมื่อเฟสต่างกัน 90° เท่ากับ $\tau = G'\gamma$ ความสัมพันธ์หน่วยแรงกับความเครียดโดยแบบจำลองจะประกอบด้วยส่วนที่เป็นจินตภาพ (Imaginary) คือ $iG'\gamma$ จะไม่มีถูกรวมเข้าไปในสมการเพื่อที่จะอธิบายส่วนจิตรของลักษณะทางกายภาพแต่ในปัจจุบันส่วนของจินตภาพจะถูกรวมเข้าไปด้วยเพื่อเป็นตัวแทนของ phase loop และแemen ปิงซึ่งเป็นคุณสมบัติของดิน

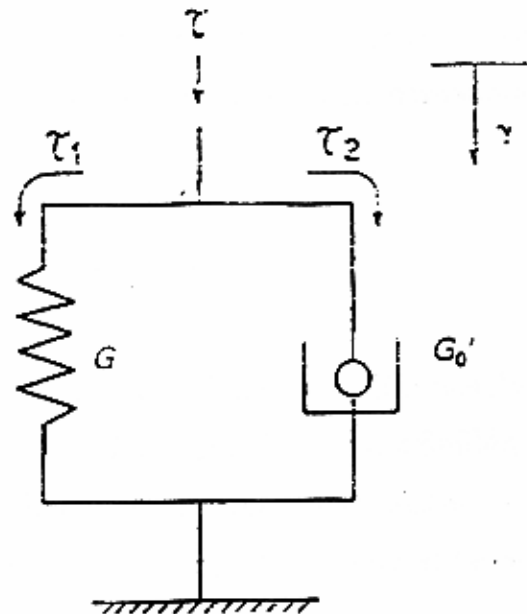
ค่า Elastic modulus (μ) และ Loss modulus (μ') ที่สอดคล้องกับแบบจำลองที่สามารถนำสมการ 2.10 เข้าไปแทนสมการ 2.13 ที่เขียนเป็นสมการได้ใหม่ดังนี้

$$\tau_a e^{i\delta} = (G + iG')\gamma \quad 2.34$$

จากสมการ 2.12 ค่าของ (μ) และ (μ') สำหรับ non-viscous type Kelvin model มีค่าดังนี้

$$\mu = G, \mu' = G_0, \eta = \tan \delta = G / G_0' \quad 2.35$$

ค่าคงที่ของ moduli ทั้งหมดที่เป็น independent of frequency of cyclic loading



รูปที่ 2.8 แบบจำลอง Non-viscous type Kelvin

2.2.5 วิธีการหาคุณสมบัติของดินทางพลศาสตร์

การหาคุณสมบัติดินทางด้านพลศาสตร์ สามารถแบ่งออกเป็น 2 วิธี ด้วยกัน คือ

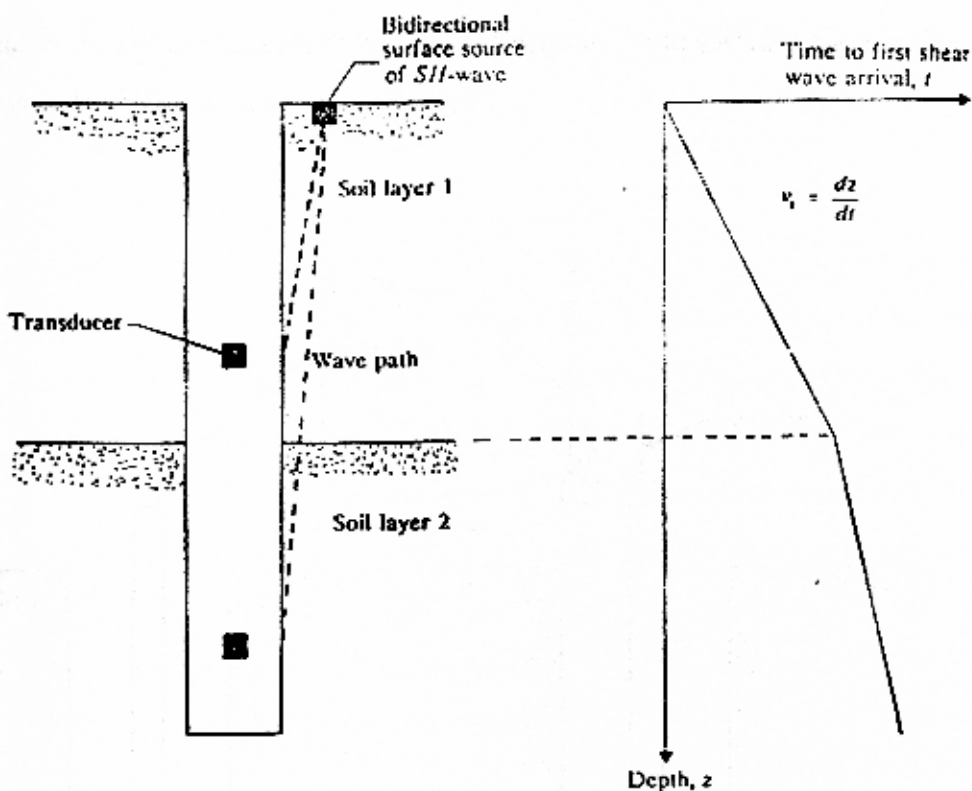
2.2.5.1 การวัดค่าความเร็วคลื่นแบบเดือนในสนาม (measurement of in – situ shear wave velocity)

การวัดค่าความเร็วคลื่นในสนามนั้นเป็นการวัดเวลาและการเคลื่อนที่ของคลื่นแบบเดือน (Shear wave) และ body wave ระหว่างระยะทางที่ทราบไว้แล้วคือระยะทางระหว่างตัวให้กำหนด คลื่นกับตัวรับคลื่น เพราะฉะนั้นสามารถหาความเร็วของการแผ่กระจายคลื่น (Propagation) ได้ ความเร็วของคลื่นถูกแปลงให้มาเป็นค่าโมดูลัสแบบเดือน (Shear modulus) และค่าโมดูลัสของยัง (Young's modulus) แต่อย่างไรก็ตามการหาค่าโมดูลัสแบบนี้ไม่สามารถทราบค่าของ ระดับความเครียด (Strain) ที่เกิดขึ้นได้ ทำให้มีความเห็นแยกขึ้นมาว่าการกระตุ้นทำให้เกิดคลื่นนั้น เป็นการรับกวนดินหรือไม่ในกระบวนการกระตุ้นให้กำเนิดคลื่นจึงจำเป็นต้องกระทำให้เกิดความรับกวนน้อย ที่สุดเพื่อให้แนใจว่าพฤติกรรมของดินในช่วง Elastic ดังนั้นการคำนวณหาค่า Stiffness ควรจะเป็น ค่าเริ่มต้น elastic stiffness การทดสอบแบบนี้สามารถแบ่งออกได้ 2 ชนิด

- Uphole and Downhole Method

Downhole method แหล่งกำเนิดคลื่นจะอยู่ที่ผิวดินแล้วให้ Stress wave วิ่งผ่านชั้นโดยมี geophone เป็นตัวรับคลื่นโดยอยู่ในตำแหน่งความลึกที่ได้กำหนดความลึกของหลุมไว้ก่อน วิธีการนี้สามารถค้นคว้าได้จาก Hight et al (1997) , Stokoe et al (1995), Richart (1997) , Abbiss (1981 and 1986), Kudo et al (1995), Larkin and Taylor (1979) ข้อบกพร่องอย่างหนึ่งของวิธี Downhole ไม่สามารถกำหนด polarization plane ของ shear wave ที่หลักหลายได้เป็นผลกระแทบเนื่องมาจากการ anisotropy ได้สังเกตในการทดสอบ Downhole ในพวงทรายแบ่ง

ส่วนวิธี Uphole ก็ได้ใช้หลักการเดียวกันกับ Downhole ยกเว้นตัวรับคลื่นจะนำมาวางที่ผิวดินและในขณะเดียวกันตัวกำหนดคลื่นลงไปทางไว้ในหลุม การทดสอบวิธี Downhole จะแสดงดังในรูปที่ 2.9

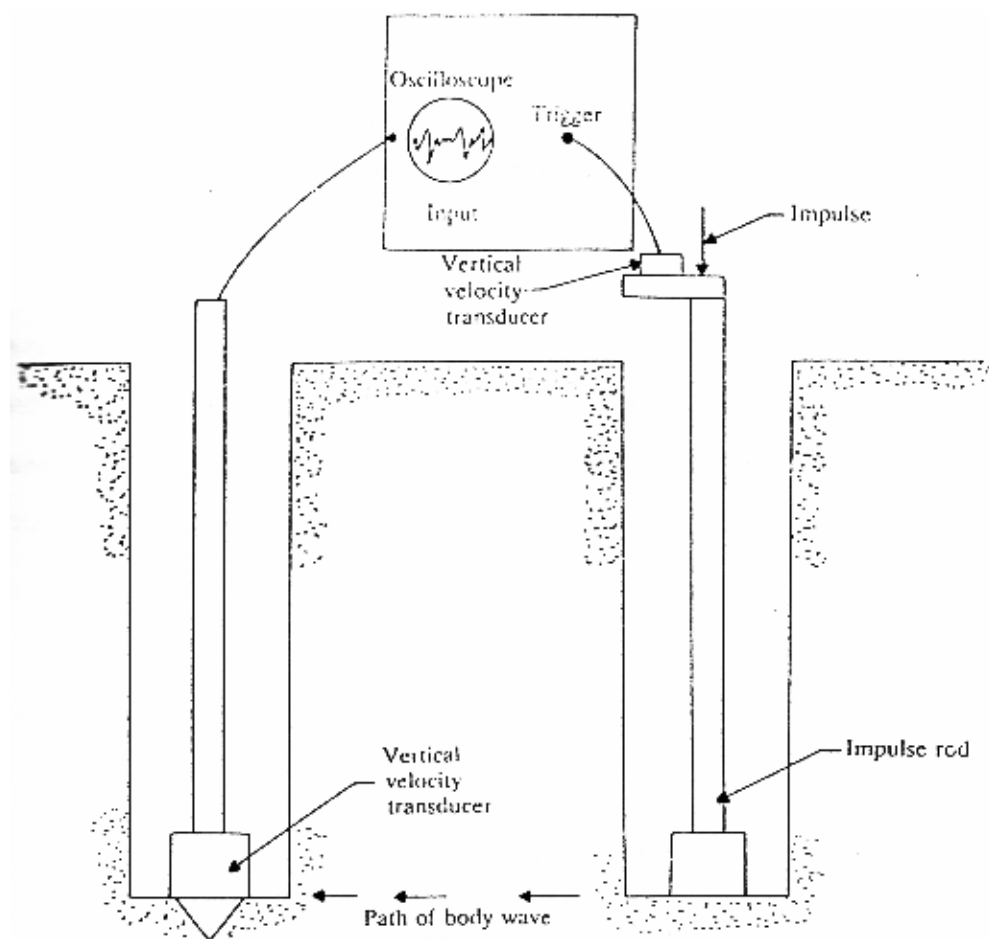


รูปที่ 2.9 การทดสอบวิธี Down-hole

- Cross-hole Method

Stokoe และ Wood (1972) ได้ประยุกต์วิธีการ Cross - hole โดยการวัด propagation velocity stress wave ในดินได้ โดยทำให้เกิด stress wave ในหลุมเจาะหนึ่งสามารถตรวจจับได้ถ้าหากหลุมเจาะหนึ่งที่ระดับเดียวกันเวลาที่คลื่นเคลื่อนที่ถึงครั้งแรกเป็นของคลื่นแบบเฉือน (Shear wave)

สามารถหาความเร็วของคลื่นแบบเฉือน (Shear wave) ได้เพราะวัสดุจะห่างระหว่างหลุมของตัวกำเนิดคลื่นและหลุมของตัวรับ ข้อดีของวิธี Cross-hole คือ stress wave มี polarized plane แตกต่างกัน สามารถที่จะให้ผลของ stress anisotropy ได้ การวัดความเร็วของคลื่นแบบเฉือนสามารถหาศึกษาได้จาก Stokoe et al (1995), Nishiuo and Katsure (1995), Salgado et al (1997) ได้นำเสนอวิธีการที่เรียกว่า large strain Cross-hole test ซึ่งสามารถมาโมดูลัสแบบเฉือนที่ระดับของ strain ต่างๆซึ่งต้องมีความเกี่ยวข้องกับคุณลักษณะของความเร็วของคลื่นแบบเฉือน ค่าของ strain ขึ้นอยู่กับความเร็วของการเคลื่อนที่ของคุณภาพและอัตราเร็วเฉือนของคลื่นแบบเฉือน การทดสอบวิธี Cross-hole จะแสดงในรูปที่ 2.10



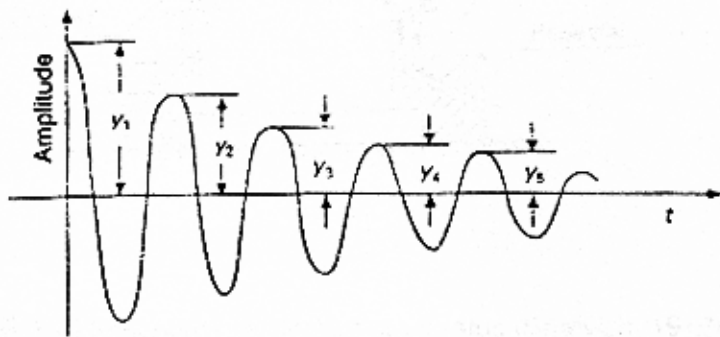
รูปที่ 2.10 การทดสอบวิธี Cross-hole

2.2.5.2 การหาคุณสมบัติทางพลศาสตร์ในห้องปฏิบัติการ Measurement of dynamic properties in laboratory)

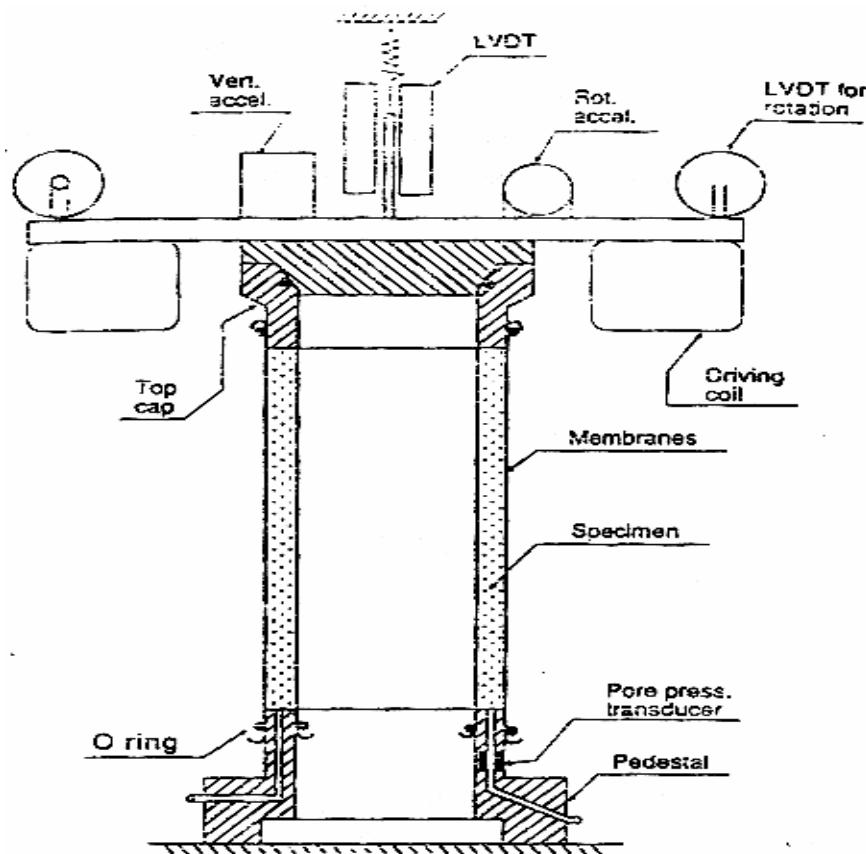
การหาค่าคุณสมบัติของดินทางพลศาสตร์สำหรับในห้องปฏิบัติการโดยทั่วไปสามารถแบ่งออกเป็น 2 กลุ่ม

2.2.5.2.1 Measurement of dynamic properties using wave propagation

เครื่องมือที่นิยมมากที่ใช้ในการวัดค่าโมดูลัสแบบเฉือน (shear modulus) และ Damping ratio ของดินนั้นได้แก่ Resonant-Column Test (Hardin and Richart 1963 , Hardin and Drnevich 1972, Iwasaki et al 1978, Tatsuoka et al 1979, Duffy et al 1994) ข้อบกพร่องอย่างหนึ่งของ Resonant Column Apparatus คือไม่สามารถที่จะทดสอบที่ large strain ส่วน The cyclic torsional shear test ปกติจะรวมผลการทดสอบกับ Resonant Column Apparatus เพราะเป็นการทดสอบตัวอย่างดินที่ระดับ large strain (Iwasaki et al 1978, Lo-presti et al 1979) ค่า Damping Ratio ของแท่งตัวอย่างดินถูกวัดด้วย Resonant Column Apparatus ได้จากการคำนวณของการลดลงแบบ logarithmic ของการสลายของ Amplitude ของคลื่นของการสั่นหลังจากได้มีการปิดสวิตช์ที่ทำให้เกิดการสั่นดังแสดงในรูปที่ 3.12 และเครื่องมือ Resonant-Column Test แสดงในรูปที่ 3.13 ส่วนของ The cyclic torsional shear test ค่าของ Damping ratio ได้จากการคำนวณพื้นที่ของ hysteresis loop (Tatsuoka et al., 1979)

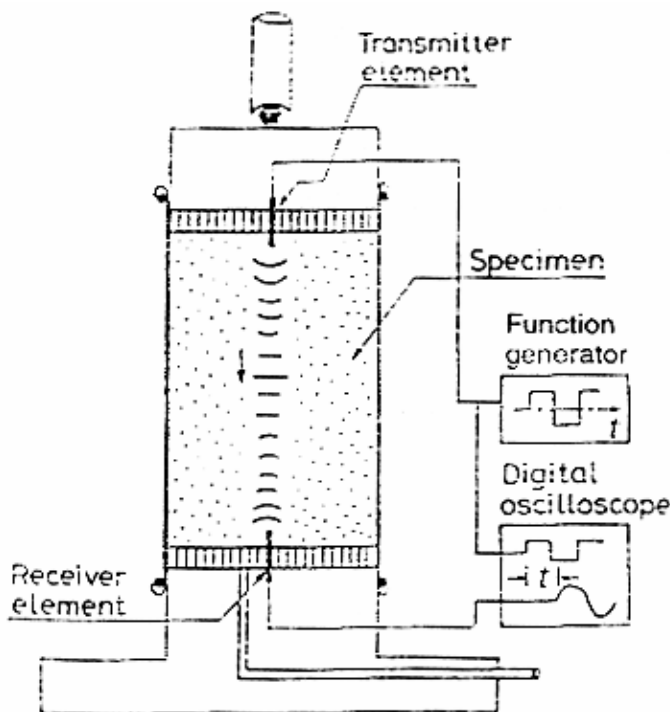


รูปที่ 2.11 วิธีการหา Damping ratio จากเครื่องทดสอบ Resonant-Column



รูปที่ 2.12 Resonant column test apparatus (Drnevich, 1972)

การพัฒนาและความก้าวหน้าของ stress wave generator และ pick up sensor สามารถนำไปติดตั้งที่บนหัวและฐานที่วางแห่งตัวอย่างดินของเครื่องทดสอบแบบดังเดิมเช่น Triaxial and plan strain apparatus ศึกษาความเร็วของการแผ่กระจายคลื่น (Wave propagation) ในแท่นตัวอย่างดินที่กำลังทดสอบ Stokoe et al (1985) ได้ทำการวัดความเร็วคลื่นในเครื่อง Triaxial จริงโดยการสำรวจผลกระทบของ stress anisotropy ต่อโมดูลัสแบบเฉือน Tanizawa et al (1994) ได้ใช้วิธีที่เรียกว่า Bender Element ทำการวัดความเร็วของคลื่นแบบเฉือนอย่างต่อเนื่องระหว่างการทดสอบ cyclically shearing ของแห่งตัวอย่างสำรวจผลกระทบของหน่วยแรงแบบเฉือน (Shear stress) ที่มีผลต่อโมดูลัสแบบเฉือนของทรัพย์เครื่องมือทดสอบแสดงไว้ในรูปที่ 2.13 นอกจากนี้ยังสามารถหารือถึงการประยุกต์แบบนี้ได้จาก Shahiar et al (1957), Shibuya et al (1997), Hight et al (1997)



รูปที่ 2.13 Use of bender elements in the triaxial test apparatus

2.2.5.2.2 Measurement of the stiffness and damping using conventional equipment

เครื่องมือทดสอบแบบดั้งเดิม เช่น Torsional shear, Triaxial and plane strain test ถูกนำมาปรับปรุงและมีการติดตั้ง transducer เพื่อให้ค่าความแม่นยำในการวัดสูงขึ้นซึ่งสามารถวัด stress-stain มีค่าน้อยมาก ๆ ได้ และได้มีการปรับปรุงเกี่ยวกับเทคนิคการทดสอบแบบ static เพื่อหาค่า shear modulus ให้กลายเป็นการทดสอบ dynamic เพื่อหาค่า shear modulus ศึกษาได้จากข้อความที่ตีพิมพ์จำนวนมาก many ตั้งแต่ปี ค.ศ. 1992 เป็นต้นมา Teachavorasinsakun et al (1992) , Tatsuka and Sjibuya(1991), Jardin et al (1984) , Hight et al (1997) Bate(1989) , Lo-presi et al (1993) ผลที่ได้จากการค้นพบเครื่องมือ dynamic testing เครื่องมือนี้สามารถจะหา post cyclic behavior ของดินได้ เพื่อหาค่าของ strength และค่า stiffness ของตัวอย่างดินได้มีงานค้นคว้าของ Yasuhara et al(1997) และของ Yamazaki and Zen (1991) , Yasuhara et al. (1992)

บทที่ 3

วิธีการวิจัย

3.1 ศึกษาความรู้ทางด้านพลศาสตร์ปูรුษ (Soil Dynamics) ทฤษฎี (Theory) และผลงานในอดีต (Literature Review)

ทบทวนงานวิจัยและงานวิจัยที่เกี่ยวข้องศึกษาทฤษฎีด้านพลศาสตร์ปูรුษ (Soil Dynamics) ซึ่งได้แก่ การเคลื่อนตัวของมวลดิน (Ground Motion) นิยามที่เกี่ยวข้องกับแผ่นดินไหว (Definition of some earthquake Related Term) ขนาดของการเกิดแผ่นดินไหว (Earthquake Magnitude) ลักษณะการเคลื่อนตัวของหินในระหว่างการเกิดแผ่นดินไหว (Characteristic of Rock Motion During an Earthquake) คุณสมบัติทางพลศาสตร์ของดินที่มีความถูกต้อง (Accuracy of the dynamic soil property of site) แบบจำลอง Linear Viscoelastic ความสัมพันธ์หน่วยแรงกับความเครียดของแรงแบบวัฏจักร (The General Expression of Cyclic Stress strain Relationship) Hysteric Stress-Strain curve แบบจำลองที่แทนระบบด้วยสปริงและ Dastpot (Model representation by the spring dashpot system) แบบจำลองของเคลวิน (Kelvin Model) แบบจำลองของเมกซ์เวล (Maxwell Model) วิธีการหาคุณสมบัติของดินทางพลศาสตร์ การวัดค่าความเร็วคลื่นแบบเชื่อนในสนาม (measurement of in – situ shear wave velocity) การหาคุณสมบัติทางพลศาสตร์ในห้องปฏิบัติการ (Measurement of dynamic properties in laboratory) การคำนวณหาโดยใช้สูตรเอ็นไพริกัล (Empirical) ทางเดินหน่วยแรง (stress path)

3.2 เก็บตัวอย่างทดสอบและทดสอบในห้องปฏิบัติการ

3.2.1 สถานที่เก็บตัวอย่าง

สถานที่เก็บตัวอย่างดินที่นำมาใช้สำหรับทดสอบเพื่อศึกษาวิจัยคือ คณะวิศวกรรมศาสตร์ มหาวิทยาลัยธรรมศาสตร์ (ศูนย์รังสิต)

3.2.2 วิธีการเจาะสำรวจและการเก็บตัวอย่าง

วิธีการเจาะสำรวจและการเก็บตัวอย่างดินสำหรับนำทางทดสอบคือ การเก็บตัวอย่างทดสอบโดยด้วยระบบอกบาง (Thin Wall Tube) ขนาดเส้นผ่าศูนย์กลาง 10 ซม. และความยาวระบบอก 90 ซม. จะมาทำการเก็บตัวอย่างดินทุกรอบด้วยความลึก 1.0 ม. เริ่มเก็บตัวอย่างดินที่ความลึก 4 ม. และความลึกของหลุมเจาะสุดท้ายประมาณ 16 ม. ชั้งอยู่ในช่วงดิน soft clay และ medium clay นำดินตัวอย่างห่อหุ้มด้วยกระดาษฟอยล์และเคลือบด้วยขี้ผึ้งอีกชั้นหนึ่งเพื่อป้องกันไม่ให้เสียปริมาณความชื้นในดินและขนส่งในห้องปฏิบัติการอย่างระมัดระวังให้กระทบกระเทือนน้อยที่สุด

3.3 วิธีการทดสอบ

ทำการทดสอบด้วยเครื่องมือทดสอบแรงอัดสามแกน (Triaxial Test) ทดสอบแบบ Cyclic Triaxial โดยใช้ตัวอย่างทดสอบเป็นดิน Soft Clay และ Medium Clay วิธีการทดสอบจะทดสอบแบบหน่วยแรงคงที่ (Stress Controlled) ภายใต้เงื่อนไขแบบไม่ระบายน้ำ (Undrained Condition)

1. นำตัวอย่างเข้าเครื่องทดสอบและทำให้ตัวอย่างทดสอบอิ่มตัวด้วยน้ำ
2. การอัดตัวอย่างน้ำจะเป็นแบบหน่วยแรงประสิทธิผลเท่ากันทุกทิศทาง (Isotropically) ตามระดับความลึกของดิน (consolidated pressure)
3. ให้ความดันที่อัตราส่วนการอัดตัวอย่างน้ำ (overconsolidated ratio, OCR) ที่ OCR มีค่า 1 และที่ค่า 2, 6 ตามลำดับ
4. ใช้ความถี่ (frequency) ในกรณีให้น้ำหนักแบบวภูจารที่ 0.01 รอบต่อวินาที เพิ่มขนาดของคลื่น (Amplitude) ของน้ำหนักแรงเฉือนแบบ Stage cycle amplitude โดยในแต่ละ stage จะให้จำนวนรอบของน้ำหนักครั้งละ 15 รอบ/stage โดยจะไม่ระบายน้ำ (undrained) ในแต่ละขั้นของการเพิ่มน้ำหนักหน่วยแรง (fully excess pore water pressure) จนกว่าทั้งตัวอย่างทดสอบบวบตื้น

3.4 ขั้นตอนการทดสอบเม็ดดิน

3.4.1 การทดสอบภาษาไทยสภาวะการรับน้ำหนักแบบสถิติศาสตร์

1. นำตัวอย่างทดสอบที่เก็บไว้แบบไม่กระทบกระเทือนออกจากขี้ผึ้งและแผ่นอลูมิเนียม เก็บความชื้นมาตัดแต่ง (trim) จนได้ตัวอย่างทดสอบทรงกระบอกขนาดเส้นผ่าศูนย์กลางประมาณ 3.50 ซม. สูงประมาณ 7.00 ซม. วัดขนาดและน้ำหนักเพื่อหาความหนาแน่น (grammar) ของดิน ดินส่วนที่เหลือจากการตัดแต่งตัวอย่างนำไปหาปริมาณความชื้นเริ่มต้นก่อนการทดสอบ

2. นำตัวอย่างทดสอบเข้าแท่นเครื่องทดสอบแรงอัดสามแกน โดยด้วยกระดาษกรองพันรอบตัวอย่างทดสอบช่วยในการระบายน้ำทำให้ตัวอย่างอิ่มตัวด้วยน้ำได้เร็วขึ้นรองด้านบนและด้านล่างก่อนวางหินพูนเพื่อไม่ให้เดินสัมผัสถกับหินพูนซึ่งอาจทำให้เดินไปถูกตัวซ่องในหินพูน
3. หุ้มตัวอย่างทดสอบด้วยถุงยาง (membrane) เพื่อป้องกันไม่ให้น้ำจากกระบวนการน้ำ (cell mold) เข้าไปในตัวอย่างทดสอบ ติดตั้งหมากบน (top cap) วัดถุงยางด้วยยางรัด (o ring) ทั้งด้านบนและด้านตามงละสองเส้น
4. ติดตั้ง cell mold และเติมน้ำให้เต็ม
5. จัดการกับหินพูนบับเบิล (piston) ให้สัมผัสด้วยน้ำ ตั้งค่าเกจวัดการเสียรูปของตัวอย่างทดสอบ เกจวัดแรง และเกจวัดแรงดันไฟฟ้าให้มีค่าเป็นศูนย์
6. ทำให้ตัวอย่างทดสอบอิ่มตัวด้วยน้ำ (saturated sample) โดยการดูด (suction) อากาศในตัวอย่างทดสอบที่ความดัน -80 ถึง -100 kPa โดยแรงดันภายในออกตัวอย่างทดสอบมากกว่าประมาณ 5 kPa ใช้เวลาประมาณ 3-5 ชั่วโมง หลังจากนั้นอัดแรงดันน้ำให้ตัวอย่างทดสอบโดยใช้แรงดันกับตัวอย่างทดสอบ back pressure ที่ประมาณ 200 kPa และ cell pressure ประมาณ 205 kPa ใช้เวลา 6-10 ชั่วโมง (ในการเพิ่มหรือลดความดันจะต้องเพิ่มครั้งละ 20-30 kPa слабกันระหว่าง cell pressure และ back pressure จะกระทำการทั้งถึงความดันที่ต้องการ)
7. ทำการตรวจสอบระดับของความอิ่มตัวด้วยน้ำของตัวอย่างทดสอบ โดยตรวจสอบค่าพารามิเตอร์ B โดยปิดวาล์วระบายน้ำแล้วเพิ่ม cell pressure ($\Delta\sigma_3$) ประมาณ 10-20 kPa วัดค่าแรงดันไฟฟ้าเพิ่มขึ้น (ΔU) โดยค่าพารามิเตอร์ B จะต้องมีค่าไม่น้อยกว่า 95% ($\text{ค่าพารามิเตอร์ B (\%) = } (\Delta\sigma_3 / \Delta U) \times 100$)
8. เมื่อตัวอย่างทดสอบอิ่มตัวด้วยน้ำแล้ว ทำการทดสอบในขั้นการอัดตัวคายน้ำ (consolidated sample) โดยบันทึกค่าระดับน้ำเริ่มต้นของหลอดวัดการเปลี่ยนแปลงปริมาตรวน (volume change buret) หลังจากนั้นเพิ่มค่า cell pressure ที่ต้องการอัดตัวคายน้ำ เปิดวาล์วระบายน้ำพร้อมทั้งจับเวลาและบันทึกระดับน้ำของหลอดวัดการเปลี่ยนแปลงปริมาตรวน
9. นำข้อมูลที่ได้จาก เวลาและบันทึกระดับน้ำของหลอดวัดการเปลี่ยนแปลงปริมาตรวน มาวาดกราฟการอัดตัวคายน้ำ โดยแกน X เป็นแกน Log scale ของเวลา แกน Y เป็นแกน Normal scale ของ ปริมาตร (การเปลี่ยนแปลงปริมาตรวนที่ได้จากหลอดวัด)
10. ลากเส้นสัมผัสราฟต่อเนื่องจนตัดกับแกน X และวัดจากค่าที่ตัดแกน X เพิ่มอีก 0.3 เท่าของค่าที่ได้จากเส้นกราฟตัดแกน X จะได้จุดปลายเส้นกราฟ ลากเส้นจากจุดปลาย

กราฟไปยังจุดเริ่มต้นของเส้นกราฟเดิมและจะได้เส้นกราฟใหม่เป็นเส้นแสดงจุดสิ้นสุดการอัดตัวคายน้ำ โดยเวลาของการสิ้นสุดการอัดตัวคายน้ำหากค่าแกน X ที่ได้จากจุดตัดของกราฟการอัดตัวคายน้ำที่วัดในตอนแรกตัดกับเส้นลิ้นสุดการอัดตัวคายน้ำ

11. เมื่อสิ้นสุดการอัดตัวคายน้ำแล้ว ทำการทดสอบในขั้นตอนการให้แรงเฉือนกับตัวอย่างทดสอบ (shearing) บันทึกค่าเกจวัดการเสียรูปของตัวอย่างทดสอบ เกจวัดแรง และเกจวัดแรงดันเพียงสุดท้ายก่อนการ shearing หลังจากนั้นตั้งค่าเกจทั้งหมดให้มีค่าเป็นศูนย์ ใช้อัตราในการให้แรงเฉือนที่อัตรา 0.01 มม./นาที ปิดวาล์วระบายน้ำ เริ่มทำการทดสอบการรับแรงเฉือนพร้อมทั้งบันทึกค่าที่เกจทั้งหมดในทุกช่วงเวลาจนกระทั่งตัวอย่างทดสอบบวบตื้น

3.4.2 การทดสอบภายนอกวัสดุสำหรับน้ำหนักแบบผลศาสตร์

1. นำตัวอย่างทดสอบที่เก็บไว้แบบไม่กระแทกกระเทือนออกจากขี้ผึ้งและแผ่นอลูมิเนียมเก็บความชื้นมาตัดแต่ง (trim) จนได้ตัวอย่างทดสอบทรงกระบอกขนาดเส้นผ่าศูนย์กลางประมาณ 3.50 ซม. สูงประมาณ 7.00 ซม. วัดขนาดและน้ำหนักเพื่อหาความหนาแน่น (grammar) ของดิน ดินส่วนที่เหลือจากการตัดแต่งตัวอย่างนำไปหาปริมาณความชื้น เริ่มต้นก่อนการทดสอบ
2. นำตัวอย่างทดสอบเข้าแท่นเครื่องทดสอบแรงอัดสามแ甘 โดยด้วยกระดาษกรองพันรอบตัวอย่างทดสอบช่วยในการระบายน้ำทำให้ตัวอย่างอิ่มตัวด้วยน้ำได้เร็วขึ้นรองด้านบนและด้านล่างก่อนวางหินพูนเพื่อไม่ให้ดินสัมผัสนกับหินพูนซึ่งอาจทำให้ดินไปอุดตัวซองในหินพูน
3. หุ้มตัวอย่างทดสอบด้วยถุงยาง (membrane) เพื่อป้องกันไม่ให้น้ำจากกระบวนการน้ำ (cell mold) เข้าไปในตัวอย่างทดสอบ ติดตั้งหมวกบน (top cap) รัดถุงยางด้วยยางรัด (o ring) ทั้งด้านบนและด้านล่างตำแหน่งละສ่องเส้น
4. ติดตั้ง cell mold และเติมน้ำให้เต็ม
5. จัดก้านทดสอบรับแรง (piston) ให้สัมผัสถัวอย่าง ตั้งค่าเกจวัดการเสียรูปของตัวอย่างทดสอบ เกจวัดแรง และเกจวัดแรงดันเพียงสุดท้ายให้มีค่าเป็นศูนย์
6. ทำให้ตัวอย่างทดสอบอิ่มตัวด้วยน้ำ (saturated sample) โดยการดูด (suction) อากาศในตัวอย่างทดสอบที่ความดัน -80 ถึง -100 kPa โดยแรงดันภายในออกตัวอย่างทดสอบมากกว่าประมาณ 5 kPa ใช้เวลาประมาณ 3-5 ชั่วโมง หลังจากนั้นอัดแรงดันน้ำให้ตัวอย่างทดสอบโดยใช้แรงดันกับตัวอย่างทดสอบ back pressure ที่ประมาณ 200 kPa และ cell pressure ประมาณ 205 kPa ใช้เวลา 6-10 ชั่วโมง (ในการเพิ่มน้ำลดความ

ดันจะต้องเพิ่มครั้งละ 20-30 kPa слับกันระหว่าง cell pressure และ back pressure
จนกว่าทั้งถึงความดันที่ต้องการ)

7. ทำการตรวจสอบระดับของความอิ่มตัวด้วยน้ำของตัวอย่างทดสอบ โดยตรวจสอบค่าพารามิเตอร์ B โดยปิดวาล์วระบายน้ำแล้วเพิ่ม cell pressure ($\Delta\sigma_3$) ประมาณ 10-20 kPa วัดค่าแรงดันในช่องที่เพิ่มขึ้น (ΔU) โดยค่าพารามิเตอร์ B จะต้องมีค่าไม่น้อยกว่า 95% (ค่าพารามิเตอร์ B (%)) = $(\Delta\sigma_3 / \Delta U) \times 100$
8. เมื่อตัวอย่างทดสอบอิ่มตัวด้วยน้ำแล้ว ทำการทดสอบในขั้นการอัดตัวอย่างน้ำ (consolidated sample) โดยบันทึกค่าระดับน้ำเริ่มต้นของหลอดวัดการเปลี่ยนแปลงปริมาตร (volume change buret) หลังจากนั้นเพิ่มค่า cell pressure ที่ต้องการอัดตัวอย่างน้ำ เปิดวาล์วระบายน้ำพร้อมทั้งจับเวลาและบันทึกระดับน้ำของหลอดวัดการเปลี่ยนแปลงปริมาตร
9. นำข้อมูลที่ได้จาก เวลาและบันทึกระดับน้ำของหลอดวัดการเปลี่ยนแปลงปริมาตร มาวาดกราฟการอัดตัวอย่างน้ำ โดยแกน X เป็นแกน Log scale ของเวลา แกน Y เป็นแกน Normal scale ของ ปริมาตร (การเปลี่ยนแปลงปริมาตรน้ำที่ได้จากการทดสอบ)
10. ลากเส้นสัมผัสร้าฟต่อเนื่องจนตัดกับแกน X และวัดจากค่าที่ตัดแกน X เพิ่มอีก 0.3 เท่าของค่าที่ได้จากเส้นกราฟตัดแกน X จะได้จุดปลายเส้นกราฟ ลากเส้นจากจุดปลายกราฟไปยังจุดเริ่มต้นของเส้นกราฟเดิมและจะได้เส้นกราฟใหม่เป็นเส้นแสดงจุดสิ้นสุดการอัดตัวอย่างน้ำ โดยเวลาของการสิ้นสุดการอัดตัวอย่างน้ำหาจากค่าแกน X ที่ได้จากจุดตัดของกราฟการอัดตัวอย่างน้ำที่วัดในตอนแรกตัดกับเส้นสิ้นสุดการอัดตัวอย่างน้ำ
11. เมื่อสิ้นสุดการอัดตัวอย่างน้ำแล้ว ทำการทดสอบในขั้นตอนการให้แรงเฉือนกับตัวอย่างทดสอบ (shearing) บันทึกค่าเกจวัดการเสียบูรของตัวอย่างทดสอบ เกจวัดแรง และเกจวัดแรงดันในช่องที่เพิ่มขึ้น ก่อนการ shearing หลังจากนั้นตั้งค่าเกจทั้งหมดให้มีค่าเป็นศูนย์ เลือกความถี่ของการทดสอบที่ 0.1 หรือ 0.01 Hz และเลือกกราฟแบบของคลื่นการให้น้ำหนักเป็นแบบคลื่นรูปไซน์ (sine wave) ให้ขนาดน้ำหนักตั้งแต่ 30 N. (peak to peak) ครั้งละ 15 รอบ ปิดวาล์วระบายน้ำและเริ่มทำการทดสอบการรับแรงเฉือนพร้อมทั้งบันทึกค่าที่เกจทั้งหมดในทุกช่วงเวลา เมื่อทดสอบจนครบ 15 รอบแล้ว ให้เพิ่มขนาดน้ำหนักอีกครั้งละ 10 – 20 นิวตัน (ขึ้นอยู่กับช่วงของความเครียดตามแนวแกน) จำนวน 15 รอบเท่ากัน ทำการทดสอบซ้ำเดิมจนกว่าทั้งตัวอย่างทดสอบปฏิบัติ

ตารางที่ 3.1 แสดงรายการทดสอบของภาระวิจัย

Name of Test	Type of Test	PI (%)	OCR	Effective Confining Pressure (kPa)	Rate of Shearing
ST63-1-34	<i>Statics</i>	63	1	34	0.01mm./min.
ST55-1-52	Statics	55	1	52	0.01mm./min.
ST43-1-72	Statics	43	1	72	0.01mm./min.
DN63F-1-34	<u>Dynamics</u>	63	1	34	0.1 Hz
DN55F-1-52	<u>Dynamics</u>	55	1	52	0.1 Hz
DN43F-1-72	<u>Dynamics</u>	43	1	72	0.1 Hz
DN63S-1-34	<u>Dynamics</u>	63	1	34	0.01 Hz
DN55S-1-52	<u>Dynamics</u>	55	1	52	0.01 Hz
DN43S-1-72	<u>Dynamics</u>	43	1	72	0.01 Hz
DN63S-1-400	<u>Dynamics</u>	63	1	400	0.01 Hz
DN55S-1-400	<u>Dynamics</u>	55	1	400	0.01 Hz
DN43S-1-400	<u>Dynamics</u>	43	1	400	0.01 Hz
DO63S-2-200	<u>Dynamics</u>	63	2	200	0.01 Hz
DO55S-2-200	<u>Dynamics</u>	55	2	200	0.01 Hz
DO43S-2-200	<u>Dynamics</u>	43	2	200	0.01 Hz
DO63S-6-67	<u>Dynamics</u>	63	6	67	0.01 Hz
DO55S-6-67	<u>Dynamics</u>	55	6	67	0.01 Hz
DO43S-6-67	<u>Dynamics</u>	43	6	67	0.01 Hz

ตารางที่ 3.2 แสดงรายการทดสอบอิทธิพลของความถี่และ Plasticity Index

Plasticity Index (%)	Rate of Cyclic Load 0.1 Hz	Rate of Cyclic Load 0.01 Hz
63	DN63F-1-34	DN63S-1-34
55	DN55F-1-52	DN55S-1-52
43	DN43F-1-72	DN43S-1-72

ตารางที่ 3.3 แสดงรายการทดสอบอิทธิพลของสัดส่วนการอัดแน่นเกินตัว (OCR) และ Plasticity Index (Rate of Cyclic Load 0.01 Hz)

Plasticity Index (%)	OCR			
	1 (at σ'_{vo})	1 (at $\sigma'_3=400$ kPa)	2 (at $\sigma'_3=200$ kPa)	6 (at $\sigma'_3=67$ kPa)
63	DN63S-1-34	DN63S-1-400	DO63S-2-200	DO63S-6-67
55	DN55S-1-52	DN55S-1-400	DO55S-2-200	DO55S-6-67
43	DN43S-1-72	DN43S-1-400	DO43S-2-200	DO43S-6-67

ตารางที่ 3.4 แสดงรายการเปรียบเทียบแบบสติติกศาสตร์และพลศาสตร์

Plasticity Index (%)	Dynamics Test (Rate of Cyclic Load 0.1 Hz)	Dynamics Test (Rate of Cyclic Load 0.01 Hz)	Statics Test (rate 0.01 mm./min.)
63	DN63F-1-34	DN63S-1-34	ST63-1-34
55	DN55F-1-52	DN55S-1-52	ST55-1-52
43	DN43F-1-72	DN43S-1-72	ST43-1-72

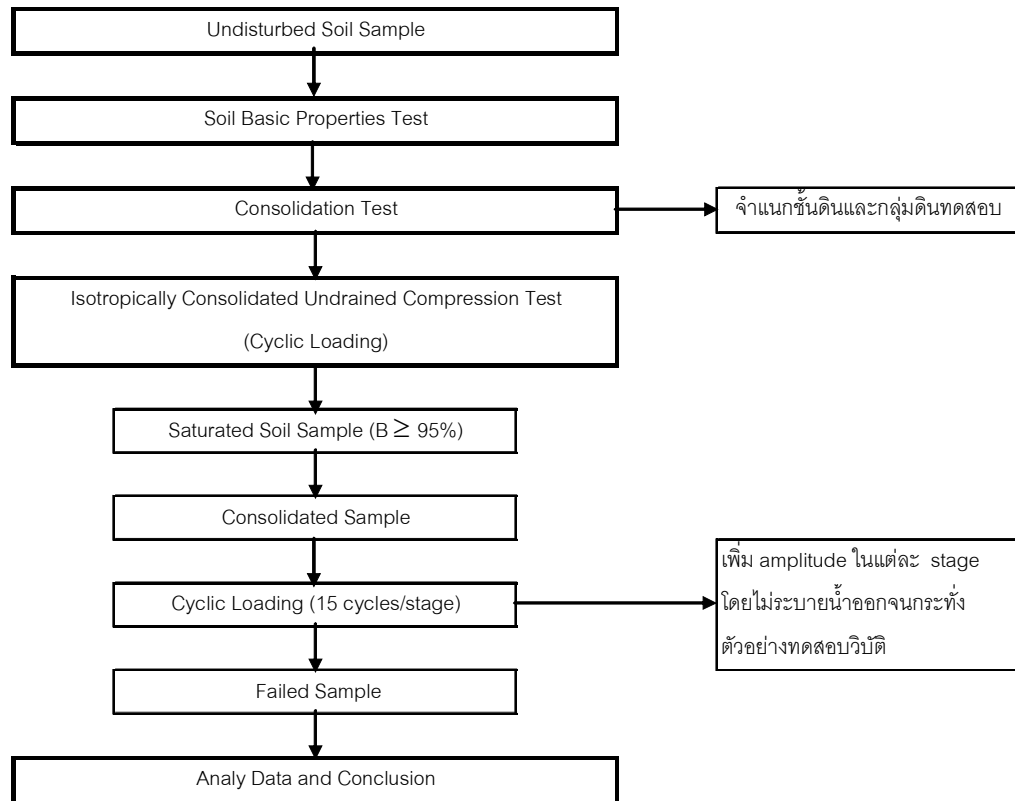
ตารางที่ 3.5 แสดงรายการทดสอบอิทธิพลของ Effective Confining Pressure และ Plasticity Index (Rate of Cyclic Load 0.01 Hz)

Plasticity Index (%)	OCR=1 (at σ'_{vo})	OCR=1 (at $\sigma'_3=400$ kPa)
63	DN63F-1-34	DN63S-1-400
55	DN55F-1-52	DN55S-1-400
43	DN43F-1-72	DN43S-1-400

หมายเหตุ ความหมายชื่อสัญลักษณ์ของการทดสอบ

- อัตราตัวที่ 1 และ 2 คือประเภทของการทดสอบ
 - DN = Dynamics Test, Normally Consolidated Clay
 - DO = Dynamics Test, Over Consolidated Clay
 - ST = Statics Test
- ตัวเลขตัวที่ 3 คือ Plasticity Index (%) (63%, 55%, 43%)
- อัตราตัวที่ 4 คือ Rate of Cyclic Load ($F=0.1\text{Hz}$, $S=0.01\text{ Hz}$)
- ตัวเลขตัวที่ 5 คือค่า OCR (1, 2, 6)
- ตัวเลขตัวที่ 6 คือค่า Effective Confining Pressure (43, 52, 67, 72, 200, 400 kPa)

เช่น DO43S-2-200 หมายถึง Dynamics Test, Over Consolidated Clay, PI = 43%, Rate of Cyclic Load = 0.01 Hz, OCR = 2, Effective Confining Pressure = 200 kPa



รูปที่ 3.1 แผนภาพแสดงการทดสอบตัวอย่าง

บทที่ 4

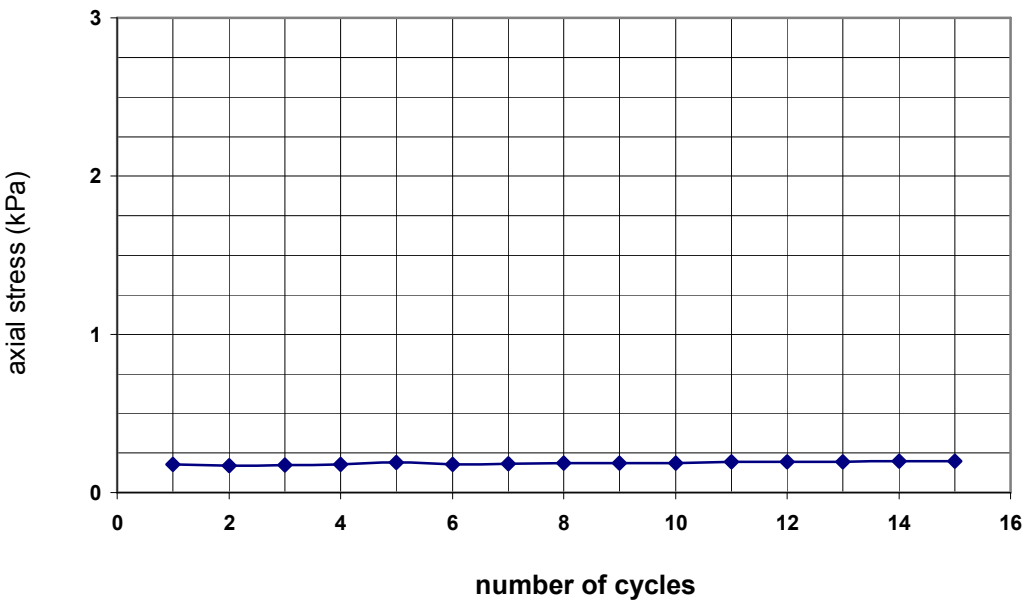
ผลการทดสอบ

การทดสอบแรงอัดสามแgn ภายในได้สภาวะการรับน้ำหนักแบบพลาสติคในห้องปฏิบัติการ ด้วยเครื่องทดสอบแรงอัดสามแgn ภายในได้สภาวะการรับน้ำหนักแบบวัสดุจกร ผลการทดสอบที่ได้เป็นผลการทดสอบที่แสดงถึงพฤติกรรมกำลังรับน้ำหนักเฉือนแบบพลาสติคของดินจากอิทธิพลของความถี่ของการให้น้ำหนัก อิทธิพลของความเป็นดินเหนียว (plastic) และอิทธิพลของประวัติการอัดตัวอย่างน้ำ จากพฤติกรรมและ parameter ที่ทำการศึกษาคือ การเสียรูปในระหว่างที่รับน้ำหนัก ทางเดินหน่วยแรง การสะสมของแรงดันไฟฟ้า การเปลี่ยนแปลงกำลังรับน้ำหนัก ประสิทธิผล การเปลี่ยนแปลงของค่าโมดูลัสเนื่องและอัตราส่วนแเมร์เพิง

โดยทำการทดสอบกับดินเหนียวอ่อนกรุ่นเทพฯ ที่เก็บตัวอย่างจากบริเวณคณะวิศวกรรมศาสตร์ มหาวิทยาลัยธรรมศาสตร์ (ศูนย์รังสิต) ที่ระดับความลึก 7, 10 และ 14 เมตร ซึ่งดินมีคุณสมบัติเบื้องต้นดังนี้คือ มีค่า Plasticity Index 43-63 % มีอัตราการถ่วงจำเพาะ 2.7 มีความชื้นเริ่มต้น 72-95%

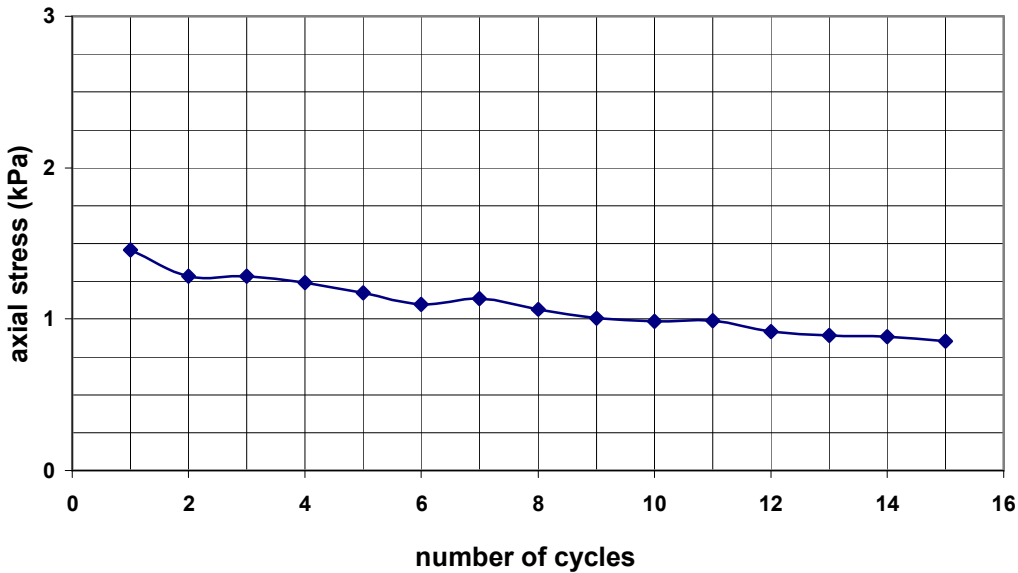
4.1 พฤติกรรมของหน่วยแรง

พฤติกรรมของหน่วยแรงตามแนวแกนจะพิจารณาจากการค่าหน่วยแรงตามแนวแกน(แกน Y) กับจำนวนรอบ (แกน X) โดยที่รูปที่ 4.1 และ 4.3 เป็นกราฟแสดงค่าหน่วยแรงตามแนวแกนกับจำนวนรอบของดินที่ระดับความลึก 7 เมตร (DN63F-1-34) ด้วยอัตราการให้น้ำหนักแบบวัสดุจกรที่ 0.1 รอบต่อวินาที ที่ความเครียดตามแนวแกน 0.6% และ 2.4% ตามลำดับ รูปที่ 4.2 และ 4.4 เป็นกราฟแสดงค่าหน่วยแรงตามแนวแกนกับจำนวนรอบของดินที่ระดับความลึก 7 เมตร (DN63S-1-34) ด้วยอัตราการให้น้ำหนักแบบวัสดุจกรที่ 0.01 รอบต่อวินาที ที่ความเครียดตามแนวแกน 0.6% และ 5.3% แกน Y เป็นกราฟของหน่วยแรงที่ได้จากการรับน้ำหนักของตัวอย่างทดสอบโดยค่าที่แสดงในกราฟเป็นค่าเฉลี่ยของหน่วยแรงทั้งรอบ (อัดและขยาย) ของการรับน้ำหนักในหนึ่งรอบของการทดสอบ ส่วนแกน X เป็นลำดับรอบของการรับน้ำหนักที่ตัวอย่างทดสอบได้รับน้ำหนัก



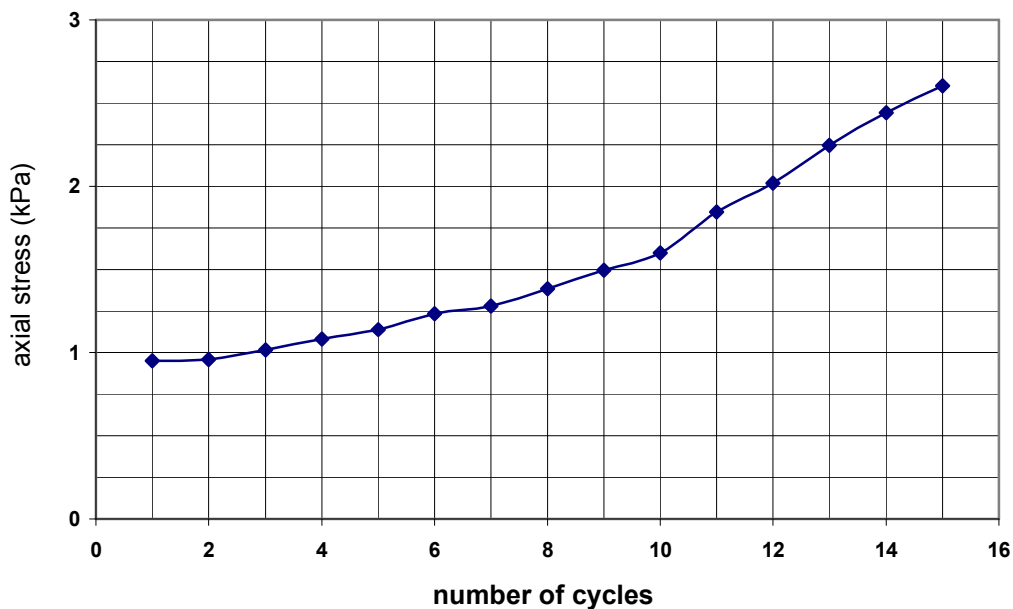
รูปที่ 4.1 กราฟแสดงค่าหน่วยแรงตามแนวแกนกับจำนวนรอบ ของดินที่ระดับความลึก 7 เมตร ด้วย อัตราการให้น้ำหนักแบบวัฏจักรที่ 0.1 รอบต่อวินาที ที่ความเครียดตามแนวแกน 0.6% (DN63F-1-34)

จากรูปที่ 4.1 เป็นกราฟแสดงค่าหน่วยแรงตามแนวแกนกับจำนวนรอบของชุดทดสอบ DN63F-1-34 เป็นดินที่ระดับความลึก 7 เมตร มีค่า Plasticity Index 63%, Confining pressure 34 kPa ซึ่งมีค่าความดันที่ระดับหน่วยแรงปั๊บจุบัน (Normally Consolidated Clay, OCR=1) ด้วยอัตราการให้น้ำหนักแบบวัฏจักรที่ 0.1 รอบต่อวินาที จำนวน 15 รอบ ที่ความเครียดตามแนวแกน 0.6% จากกราฟพบว่าพฤติกรรมของหน่วยแรงตามแนวแกนที่ได้จากการทดสอบการรับน้ำหนักของตัวอย่างทดสอบมีค่าเท่าๆ กันตลอดทั้ง 15 รอบของการรับน้ำหนักซึ่งแสดงถึงพฤติกรรมการรับน้ำหนักภายใต้พฤติกรรมแบบ elastic และแสดงถึงความสามารถรับน้ำหนักของตัวอย่างทดสอบคือสามารถรับน้ำหนักแบบวัฏจักรในช่วงน้ำหนักนี้ได้



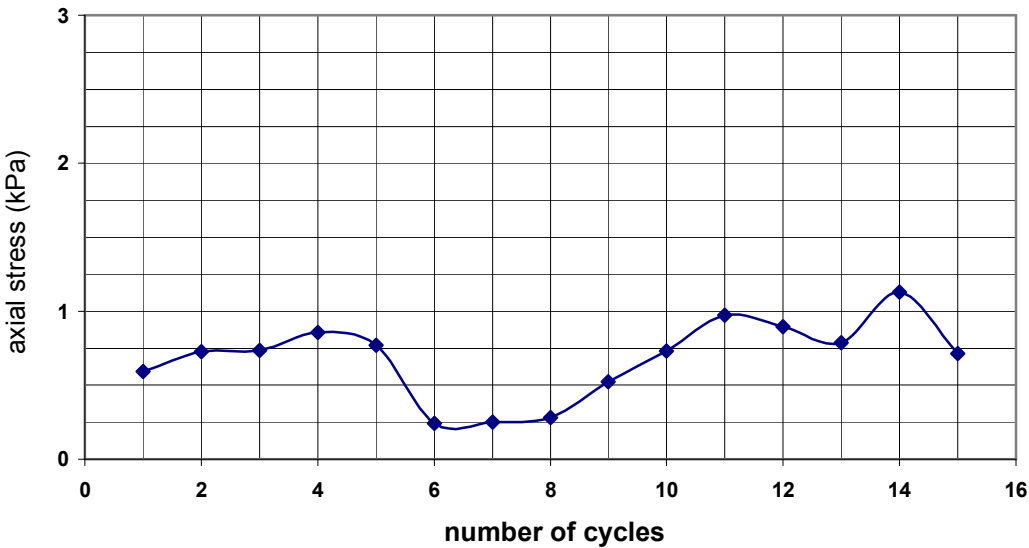
รูปที่ 4.2 กราฟแสดงค่าหน่วยแรงตามแนวแกนกับจำนวนรอบ ของดินที่ระดับความลึก 7 เมตร ด้วย อัตราการให้น้ำหนักแบบวัฏจักรที่ 0.01 รอบต่อวินาที ที่ความเครียดตามแนวแกน 0.6% (DN63S-1-34)

จากรูปที่ 4.2 เป็นกราฟแสดงค่าหน่วยแรงตามแนวแกนกับจำนวนรอบของชุดทดสอบ DN63S-1-34 เป็นดินที่ระดับความลึก 7 เมตร มีค่า Plasticity Index 63%, Confining pressure 34 kPa ซึ่งมีค่าความดันที่ระดับหน่วยแรงปั๊บจุบัน (Normally Consolidated Clay, OCR=1) ด้วยอัตราการให้น้ำหนักแบบวัฏจักรที่ 0.01 รอบต่อวินาที จำนวน 15 รอบ ที่ความเครียดตามแนวแกน 0.6% จากกราฟพบว่าพฤติกรรมของหน่วยแรงตามแนวแกนที่ได้จากการทดสอบการรับน้ำหนักของตัวอย่างทดสอบมีค่าลดลงเล็กน้อยเมื่อรอบของการให้น้ำหนักเพิ่มขึ้นทั้ง 15 รอบของ การรับน้ำหนักซึ่งแสดงถึงตัวอย่างทดสอบสามารถรับน้ำหนักภายใต้พฤติกรรมแบบ elastic ได้ (เมื่อพิจารณาร่วมกับ hysteresis loop)



รูปที่ 4.3 กราฟแสดงค่าหน่วยแรงตามแนวแกนกับจำนวนรอบ ของดินที่ระดับความลึก 7 เมตร ด้วย อัตราการให้น้ำหนักแบบวัฏจักรที่ 0.1 รอบต่อวินาที ที่ความเครียดตามแนวแกน 2.4% (DN63F-1-34)

จากรูปที่ 4.3 เป็นกราฟแสดงค่าหน่วยแรงตามแนวแกนกับจำนวนรอบของชุดทดสอบ DN63F-1-34 เป็นดินที่ระดับความลึก 7 เมตร มีค่า Plasticity Index 63%, Confining pressure 34 kPa ซึ่งมีค่าความดันที่ระดับหน่วยแรงปั๊บจุบัน (Normally Consolidated Clay, OCR=1) ด้วยอัตราการให้น้ำหนักแบบวัฏจักรที่ 0.1 รอบต่อวินาที จำนวน 15 รอบ ที่ความเครียดตามแนวแกน 2.4% จากกราฟพบว่าพฤติกรรมของหน่วยแรงตามแนวแกนที่ได้จากการทดสอบการรับน้ำหนักของตัวอย่างทดสอบมีค่าเพิ่มขึ้นเมื่อรอบของการให้น้ำหนักเพิ่มขึ้นทั้ง 15 รอบของการรับน้ำหนักซึ่งตัวอย่างทดสอบมีพฤติกรรมของการเสียรูปตัวอย่างทดสอบ (เมื่อพิจารณาร่วมกับ hysteresis loop, axial strain)



กราฟที่ 4.4 กราฟแสดงค่าหน่วยแรงตามแนวแกนกับจำนวนรอบ ของดินที่ระดับความลึก 7 เมตร ด้วยอัตราการให้น้ำหนักแบบวัฏจักรที่ 0.01 รอบต่อวินาที ที่ความเครียดตามแนวแกน 5.3% (DN63S-1-34)

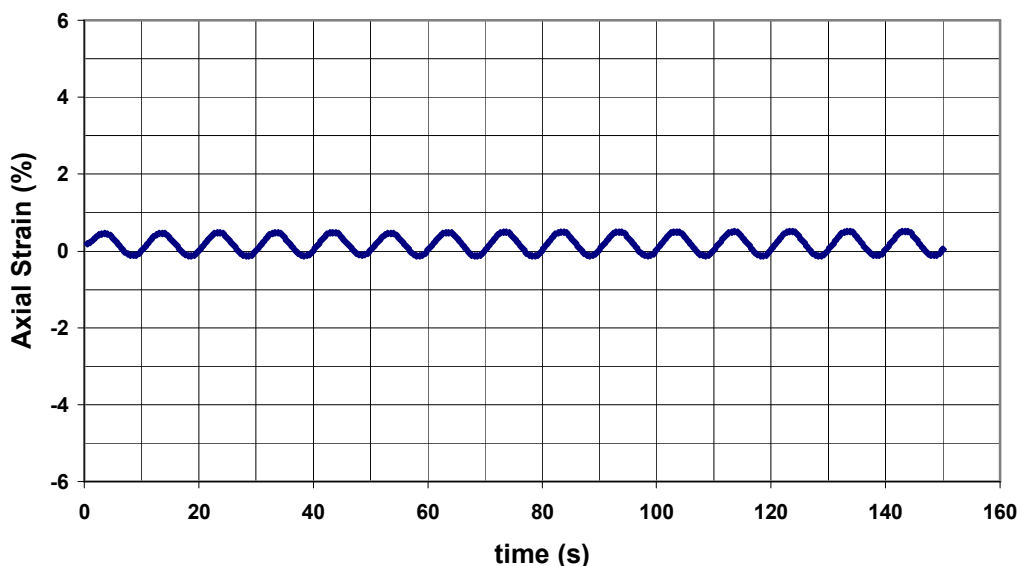
จากรูปที่ 4.4 เป็นกราฟแสดงค่าหน่วยแรงตามแนวแกนกับจำนวนรอบของชุดทดสอบ DN63S-1-34 เป็นดินที่ระดับความลึก 7 เมตร มีค่า Plasticity Index 63%, Confining pressure 34 kPa ซึ่งมีค่าความดันที่ระดับหน่วยแรงปั๊บจุบัน (Normally Consolidated Clay, OCR=1) ด้วยอัตราการให้น้ำหนักแบบวัฏจักรที่ 0.01 รอบต่อวินาที จำนวน 15 รอบ ที่ความเครียดตามแนวแกน 5.3% จากราฟพบว่าพฤติกรรมของหน่วยแรงตามแนวแกนมีค่าของหน่วยแรงไม่คงที่ เมื่อจำนวนรอบของการให้น้ำหนักเพิ่มขึ้นและมีค่าน้อยมากบางรอบของการรับน้ำหนักมีค่าเพียง 0.2 kPa ซึ่งแสดงถึงตัวอย่างทดสอบได้วิบัติแล้วจึงทำให้ค่าหน่วยแรงแกว่งไปมาและมีค่าน้อยมาก

จากการพูดที่ 4.1, 4.2, และ 4.3 พฤติกรรมของหน่วยแรงตามแนวแกนมีค่าเพิ่มขึ้น เล็กน้อยหรือลดลงเล็กน้อยเมื่อจำนวนรอบของการให้น้ำหนักที่เพิ่มขึ้น (เมื่อพิจารณาทั้ง 15 รอบ) ซึ่งในช่วงดังกล่าวจะไม่ทราบพฤติกรรมเข่น การเสียรูป การ yield ตัว การวิบัติ อย่างชัดเจนเนื่องจาก ค่าหน่วยแรงเป็นค่าเฉลี่ยของหน่วยแรงในหนึ่งรอบดังนั้นหาก Hysteresis Loop มีการเคลื่อนที่ขึ้น เนื่องมาจาก การสะสมของความเครียด(strain relaxing) ก็จะทำให้ค่าหน่วยแรงเฉลี่ยเปลี่ยนแปลง ด้วย ดังนั้นจึงต้องนำกราฟพฤติกรรมอื่นๆ มาพิจารณาด้วยจึงจะสามารถทราบพฤติกรรมของตัวอย่างทดสอบอย่างชัดเจน ด้านในรูปที่ 4.4 แสดงถึงพฤติกรรมการวิบัติของตัวอย่างทดสอบอย่างชัดเจน

4.2 พฤติกรรมของความเครียดตามแนวแกน

พฤติกรรมของความเครียดตามแนวแกนจะพิจารณาจากกราฟความเครียดตามแนวแกน (แกน Y) กับเวลา (แกน X) โดยที่รูปที่ 4.5 และ 4.7 เป็นกราฟแสดงค่าความเครียดตามแนวแกนกับเวลา ของдинที่ระดับความลึก 7 เมตร (DN63F-1-34) ด้วยอัตราการให้น้ำหนักแบบวัฏจักรที่ 0.1 รอบต่อวินาที ที่ความเครียดตามแนวแกน 0.6% และ 2.4% ตามลำดับ

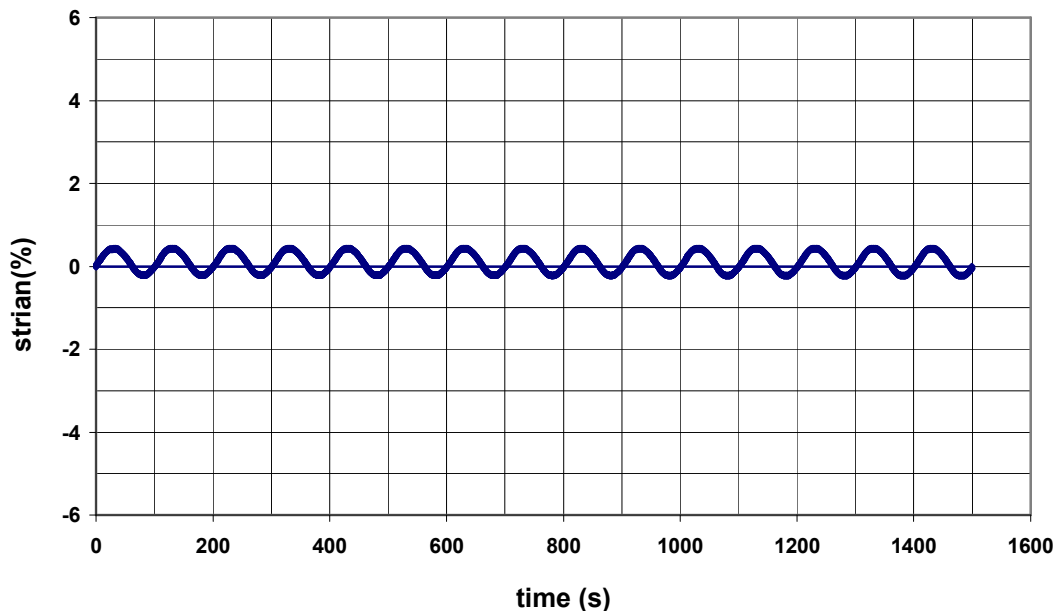
รูปที่ 4.6 และ 4.8 เป็นกราฟแสดงค่าความเครียดตามแนวแกนกับเวลา ของдинที่ระดับความลึก 7 เมตร (DN63S-1-34) ด้วยอัตราการให้น้ำหนักแบบวัฏจักรที่ 0.01 รอบต่อวินาที ที่ความเครียดตามแนวแกน 0.6% และ 5.3% โดยในการทดสอบกำหนดให้ความเครียดตามแนวแกนมีเคลื่อนที่ขึ้นลงในทิศทางด้านบวกและลบตามแกน Y โดยที่เมื่อเส้นกราฟเคลื่อนที่ขึ้น (ทิศทางบวก) หมายถึง ตัวอย่างทดสอบได้รับแรงอัด (compression) ทำให้ตัวอย่างทดสอบเสียรูปแบบถูกอัดตัวทำให้ตัวอย่างทดสอบหดตัวและเมื่อเส้นกราฟเคลื่อนที่ลง (ทิศทางลบ) หมายถึงตัวอย่างทดสอบได้รับแรงดึง (tension) ทำให้ตัวอย่างทดสอบเสียรูปแบบถูกขยายตัวทำให้ตัวอย่างทดสอบยืดตัว



รูปที่ 4.5 กราฟแสดงค่าความเครียดตามแนวแกนกับเวลา ของдинที่ระดับความลึก 7 เมตร ด้วย อัตราการให้น้ำหนักแบบวัฏจักรที่ 0.1 รอบต่อวินาที ที่ความเครียดตามแนวแกน 0.6% (DN63F-1-34)

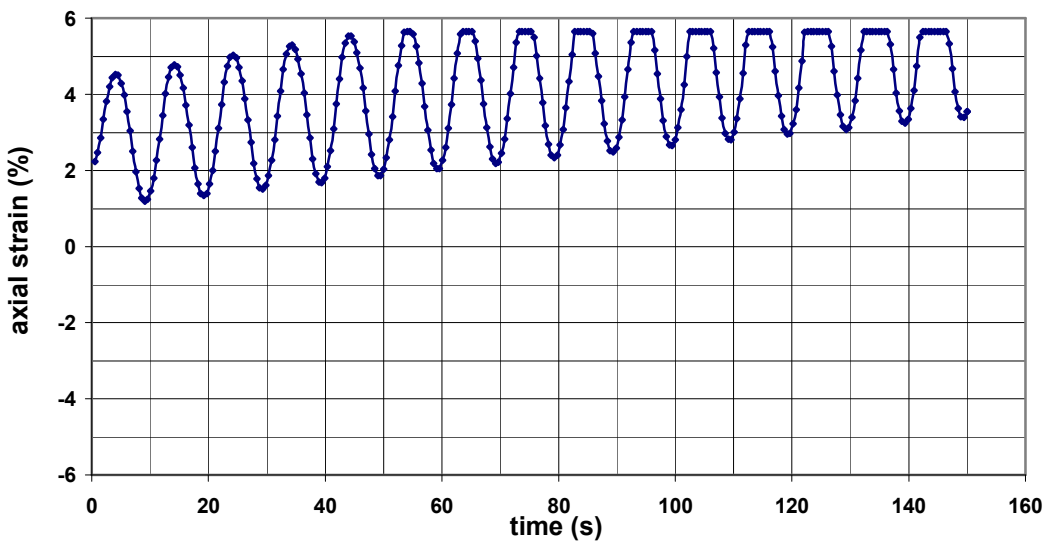
จากรูปที่ 4.5 เป็นกราฟแสดงค่าความเครียดตามแนวแกนกับเวลาของชุดทดสอบ DN63F-1-34 เป็นдинที่ระดับความลึก 7 เมตร มีค่า Plasticity Index 63%, Confining pressure 34 kPa ซึ่งมีค่าความดันที่ระดับหน่วยแรงปั๊บจุบัน (Normally Consolidated Clay, OCR=1) ด้วยอัตราการให้น้ำหนักแบบวัฏจักรที่ 0.1 รอบต่อวินาที จำนวน 15 รอบ ที่ความเครียดตาม

แนวแกน 0.6% จากกราฟพบว่าพฤติกรรมของความเครียดตามแนวแกนจะเคลื่อนที่ขึ้นลงตามทิศทางของการเคลื่อนที่โดยที่กราฟแสดงการความเครียด (เสียงรูป) ตามแนวแกนทางด้านอัตราและด้านขยายมีค่าประมาณ 0.5% และ 0.15% ของความเครียดตามแนวแกนตามลำดับ โดยที่ค่าความเครียดตามแนวแกนมีค่าสูงสุดและค่าต่ำสุดมีค่าเท่ากันทั้ง 15 รอบ ซึ่งแสดงถึงพฤติกรรมการรับน้ำหนักภายใต้พฤติกรรมแบบ elastic และแสดงถึงความสามารถรับน้ำหนักของตัวอย่างทดสอบคือสามารถรับน้ำหนักแบบวัสดุจกรในช่วงน้ำหนักนี้ได้



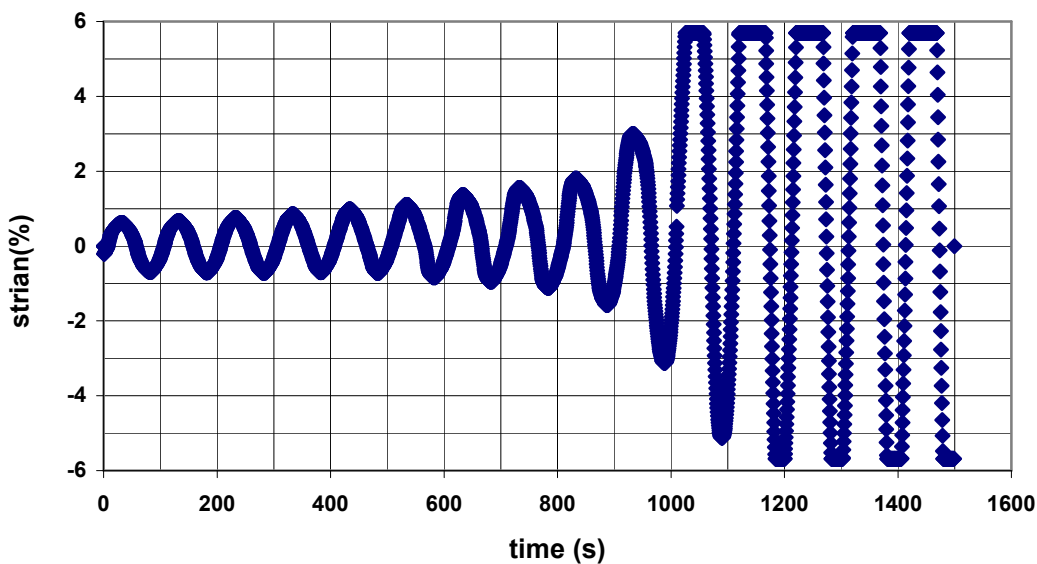
รูปที่ 4.6 กราฟแสดงค่าความเครียดตามแนวแกนกับเวลา ของдинที่ระดับความลึก 7 เมตร ด้วยอัตราการให้น้ำหนักแบบวัสดุจกรที่ 0.01 รอบต่อวินาที ที่ความเครียดตามแนวแกน 0.6% (DN63S-1-34)

จากรูปที่ 4.6 เป็นกราฟแสดงค่าความเครียดตามแนวแกนกับเวลาของชุดทดสอบ DN63S-1-34 เป็นдинที่ระดับความลึก 7 เมตร มีค่า Plasticity Index 63%, Confining pressure 34 kPa ซึ่งมีค่าความดันที่ระดับหน่วยแรงบิดจุลฐาน (Normally Consolidated Clay, OCR=1) ด้วยอัตราการให้น้ำหนักแบบวัสดุจกรที่ 0.01 รอบต่อวินาที จำนวน 15 รอบ ที่ความเครียดตามแนวแกน 0.6% จากกราฟพบว่าพฤติกรรมของความเครียดตามแนวแกนจะเคลื่อนที่ขึ้นลงตามทิศทางของการเคลื่อนที่โดยที่กราฟแสดงการความเครียด (เสียงรูป) ตามแนวแกนทางด้านอัตราและด้านขยายมีค่าประมาณ 0.4% และ 0.23% ของความเครียดตามแนวแกน ตามลำดับ โดยที่ค่าความเครียดตามแนวแกนมีค่าสูงสุดและค่าต่ำสุดมีค่าเท่ากันทั้ง 15 รอบ ซึ่งแสดงถึงพฤติกรรมการรับน้ำหนักภายใต้พฤติกรรมแบบ elastic และแสดงถึงความสามารถรับน้ำหนักของตัวอย่างทดสอบคือสามารถรับน้ำหนักแบบวัสดุจกรในช่วงน้ำหนักนี้ได้



รูปที่ 4.7 กราฟแสดงค่าความเครียดตามแนวแกนกับเวลา ของดินที่ระดับความลึก 7 เมตร ด้วยอัตราการให้น้ำหนักแบบวัฏจักรที่ 0.1 รอบต่อวินาที ที่ความเครียดตามแนวแกน 2.4% (DN63F-1-34)

จากรูปที่ 4.7 เป็นกราฟแสดงค่าความเครียดตามแนวแกนกับเวลาของชุดทดสอบ DN63F-1-34 เป็นดินที่ระดับความลึก 7 เมตร มีค่า Plasticity Index 63%, Confining pressure 34 kPa ซึ่งมีค่าความดันที่ระดับหน่วยแรงปอนด์ต่อตารางนิ้ว (Normal Consolidated Clay, OCR=1) ด้วยอัตราการให้น้ำหนักแบบวัฏจักรที่ 0.1 รอบต่อวินาที จำนวน 15 รอบ ที่ความเครียดตามแนวแกน 2.4% จากราฟพบว่าพุทธิกรรมของความเครียดตามแนวแกนจะเคลื่อนที่ขึ้นลงตามทิศทางของการเคลื่อนที่โดยที่กราฟแสดงความเครียด (เสียงรูป) ตามแนวแกนทางด้านอัตราและด้านขยายมีค่าเพิ่มมากขึ้นตามรอบของการให้น้ำหนักที่เพิ่มขึ้น โดยที่ค่าความเครียดตามแนวแกนมีค่าสูงสุดที่รอบการให้น้ำหนักรอบสุดท้ายแต่เนื่องจากตั้งแต่รอบที่ 7 เส้นกราฟทางด้านอัตราและด้านขยายมีค่าเพิ่มมากขึ้นตามรอบของการให้น้ำหนักที่เพิ่มขึ้น โดยที่ค่าความเครียดตามแนวแกนมีค่าสูงสุดที่รอบการให้น้ำหนักรอบสุดท้ายแต่เนื่องจากตั้งแต่รอบที่ 7 เส้นกราฟทางด้านอัตราและด้านขยายมีค่าเพิ่มมากขึ้นตามรอบของการให้น้ำหนักและในรอบต่อๆมาค่าความเครียดตามแนวที่จุดต่ำสุดจะมีแนวโน้มเพิ่มขึ้นตามจำนวนรอบนั้นคือพุทธิกรรมที่ตัวอย่างทดสอบบีดตัวกลับมาจากการให้น้ำหนักเดิมแล้วกลับมาไม่ถึงจุดต่ำสุดของรอบก่อนหน้านี้เนื่องจากดินไม่สามารถน้ำหนักได้แต่เมื่อนำค่าผลต่างระหว่างค่าสูงสุดและต่ำสุด (เสียงรูป) ของแต่ละรอบของการรับน้ำหนักมาพิจารณาแล้วจะพบว่า ความเครียดมีค่าเพิ่มมากขึ้นตามรอบของการให้น้ำหนักที่เพิ่มขึ้นซึ่งพุทธิกรรมดังกล่าวแสดงถึงพุทธิกรรมการรับน้ำหนักที่ได้ผ่านจุดคลาก (Yield) และแสดงว่าตัวอย่างทดสอบไม่สามารถรับน้ำหนักแบบวัฏจักรในช่วงน้ำหนักนี้ได้



กราฟที่ 4.8 กราฟแสดงค่าความเครียดตามแนวแกนกับเวลา ของดินที่ระดับความลึก 7 เมตร ด้วย อัตราการให้น้ำหนักแบบวัฏจักรที่ 0.01 รอบต่อวินาที ที่ความเครียดตามแนวแกน 5.3% (DN63S-1-34)

จากรูปที่ 4.8 เป็นกราฟแสดงค่าความเครียดตามแนวแกนกับเวลาของชุดทดสอบ DN63S-1-34 เป็นดินที่ระดับความลึก 7 เมตร มีค่า Plasticity Index 63%, Confining pressure 34 kPa ซึ่งมีค่าความดันที่ระดับหน่วยแรงบิดจุบัน (Normally Consolidated Clay, OCR=1) ด้วยอัตราการให้น้ำหนักแบบวัฏจักรที่ 0.01 รอบต่อวินาที จำนวน 15 รอบ ที่ความเครียดตามแนวแกน 5.3% จากกราฟพบว่าพฤติกรรมของความเครียดตามแนวแกนจะเคลื่อนที่ขึ้นลงตามทิศทางของการเคลื่อนที่โดยที่กราฟแสดงความเครียด (เสียงรูป) ตามแนวแกนทางด้านอัตราและด้านขยายมีค่าเพิ่มมากโดยแบ่งได้เป็นสองช่วงคือในช่วงแรกตั้งแต่รอบที่ 1 ถึงรอบที่ 9 โดยกราฟแสดงความเครียดตามแนวแกนทางด้านอัตราที่จุดต่ำและด้านขยายที่จุดสูงสุดของแต่ละรอบของการให้น้ำหนักมีค่าเพิ่มขึ้นเล็กน้อยตามรอบของการให้น้ำหนักที่เพิ่มขึ้นซึ่งพฤติกรรมดังกล่าวแสดงถึงพฤติกรรมการรับน้ำหนักที่ได้ผ่านจุดคลาก ในช่วงที่สองตั้งแต่รอบที่ 10 ถึงรอบที่ 15 โดยกราฟแสดงความเครียดตามแนวแกนทางด้านอัตราที่จุดต่ำและด้านขยายที่จุดสูงสุดของแต่ละรอบของการให้น้ำหนักมีค่าเพิ่มขึ้นอย่างมากตามรอบของการให้น้ำหนักที่เพิ่มขึ้นซึ่งพฤติกรรมดังกล่าวแสดงถึงพฤติกรรมการริบตี้ (Fail) ของตัวอย่างทดสอบ

เมื่อพิจารณากราฟรูปที่ 4.5, 4.6, 4.7, และ 4.8 ทั้งหมด ซึ่งแสดงถึงพฤติกรรมของความเครียดตามแนวแกนจากการทดสอบการรับน้ำหนักแบบวัฏจักรของดินหนี่ว่าก่อนที่เก็บตัวอย่างที่ระดับความลึก 7 เมตรจากผิวดิน โดยเปรียบเทียบการรับน้ำหนักแบบวัฏจักรที่ความถี่ 0.1 และ 0.01 รอบต่อวินาที จากกราฟแสดงผลการทดสอบพบว่าพฤติกรรมความเครียดตามแนวแกน

ของการรับน้ำหนักแบบวัฏจักรสามารถแบ่งตามพฤติกรรมได้เป็น 2 ช่วงโดยแบ่งตามความเครียดในแนวแกนคือ ช่วงแรกเป็นช่วงที่มีค่าความเครียดตามแนวแกนน้อยกว่า 1% ช่วงสองเป็นช่วงที่มีค่าความเครียดตามแนวแกนมากกว่า 1% เมื่อพิจารณาพฤติกรรมกราฟความเครียดตามแนวแกน (axial strain) กับเวลา ในกราฟรูปที่ 4.5, 4.6, 4.7, และ 4.8 พฤติกรรมของกราฟความเครียดตามแนวแกนจะมีแนวโน้มคงที่ในแต่ละรอบของการรับน้ำหนักเมื่อเวลา เพิ่มขึ้น (จำนวนรอบที่ให้น้ำหนักเพิ่มขึ้น) ในช่วงความเครียดตามแนวแกนอยู่ในช่วงที่ความเครียดตามแนวแกนน้อยกว่า 1% แต่ในช่วงความเครียดตามแนวแกนมากกว่า 1% ความเครียดตามแนวแกนในแต่ละรอบของการรับน้ำหนักมีค่าเพิ่มขึ้นอย่างรวดเร็ว จากทดสอบทั้งที่ความถี่ 0.1 และ 0.01 รอบต่อวินาที มีพฤติกรรม เช่นเดียวกัน

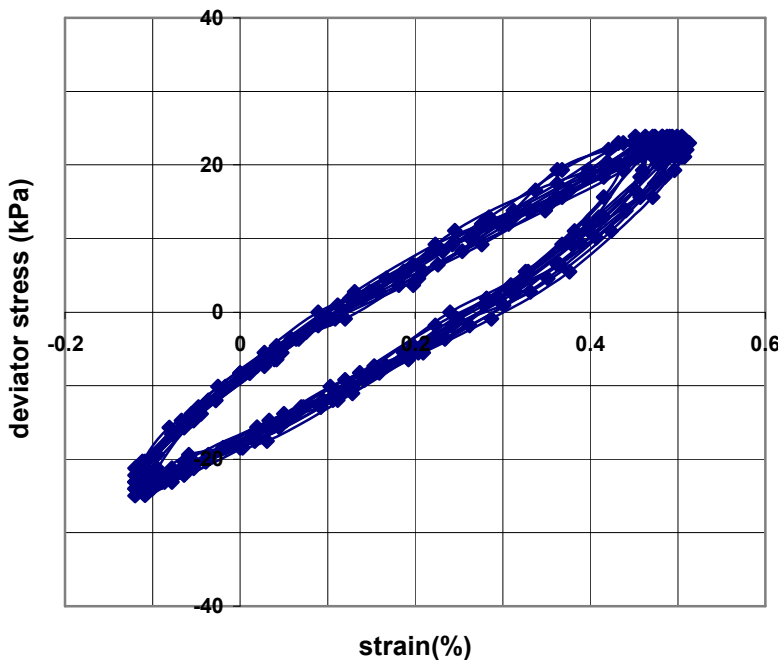
ส่วนการทดสอบที่ค่า PI=55% และ PI=43% ซึ่งแสดงถึงพฤติกรรมของความเครียดตามแนวแกนจากการทดสอบการรับน้ำหนักแบบวัฏจักรของดินหนี่ယวอ่อนที่เก็บตัวอย่างที่ระดับความลึก 10 และ 13 เมตรจากผิวดินตามลำดับ โดยเปรียบเทียบการรับน้ำหนักแบบวัฏจักรที่ความถี่ 0.1 และ 0.01 รอบต่อวินาทีนั้นจะมีพฤติกรรมเข้าเดียวกันกับที่ PI=63% (ความลึก 7 เมตร)

4.3 พฤติกรรมของ Hysteric Stress-Strain Curve

พฤติกรรมของกราฟแสดงค่า Hysteresis Loop จะพิจารณาจากกราฟลักษณะของ Loop ที่เกิดจากเส้นกราฟจากหน่วยแรง (แกน Y) และ ความเครียดตามแนวแกน (แกน Y) โดยที่รูปที่ 4.9 และ 4.11 เป็นกราฟแสดงหน่วยแรงตามแนวแกนกับความเครียดตามแนวแกนของชุดทดสอบ DN63F-1-34 เป็นดินที่ระดับความลึก 7 เมตร มีค่า Plasticity Index 63%, Confining pressure 34 kPa ซึ่งมีค่าความดันที่ระดับหน่วยแรงปั๊จจุบัน (Normally Consolidated Clay, OCR=1) ด้วยขัตราชการให้น้ำหนักแบบวัฏจักรที่ 0.1 รอบต่อวินาที จำนวน 15 รอบ ที่ความเครียดตามแนวแกน 0.6% และ 2.4% และรูปที่ 4.6 และ 4.8 เป็นกราฟแสดงหน่วยแรงตามแนวแกนกับความเครียดตามแนวแกนของชุดทดสอบ DN63S-1-34 เป็นดินที่ระดับความลึก 7 เมตร มีค่า Plasticity Index 63%, Confining pressure 34 kPa ซึ่งมีค่าความดันที่ระดับหน่วยแรงปั๊จจุบัน (Normally Consolidated Clay, OCR=1) ด้วยขัตราชการให้น้ำหนักแบบวัฏจักรที่ 0.01 รอบต่อวินาที จำนวน 15 รอบ ที่ความเครียดตามแนวแกน 0.6% และ 5.3%

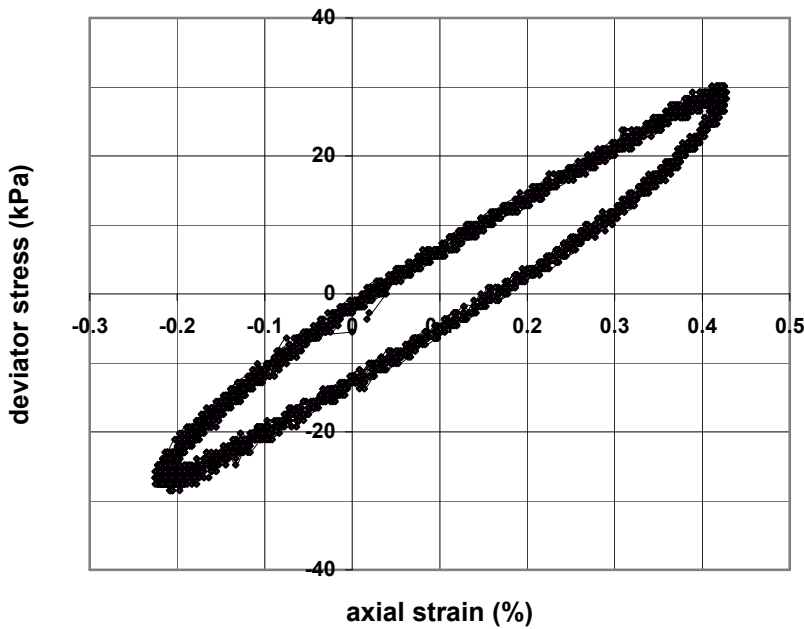
โดยในการทดสอบกำหนดพฤติกรรมของความเครียดตามแนวแกนจะเคลื่อนที่ขึ้นลงตามทิศทางของการเคลื่อนที่โดยที่ เมื่อเส้นกราฟเคลื่อนที่ขึ้น (ทิศทางบวก) หมายถึงตัวอย่างทดสอบได้รับหน่วยแรงอัด (compression stress) ทำให้ตัวอย่างทดสอบเสียรูปแบบถูกอัดตัวทำให้ตัวอย่างทดสอบหดตัว และเมื่อเส้นกราฟเคลื่อนที่ลง (ทิศทางลบ) หมายถึงตัวอย่างทดสอบได้รับหน่วยแรง

ดึง (tension stress) ทำให้ตัวอย่างทดสอบเสียรูปแบบถูกขยายตัวทำให้ตัวอย่างทดสอบยึดตัวภายใต้การรับน้ำหนักในแต่ละรอบทำให้ได้กราฟรูปวงรีในแต่ละรอบของการให้น้ำหนักซึ่งเรียกว่า Hysteric Stress-Strain Curve โดยในแต่ละวงเรียกว่า Loop



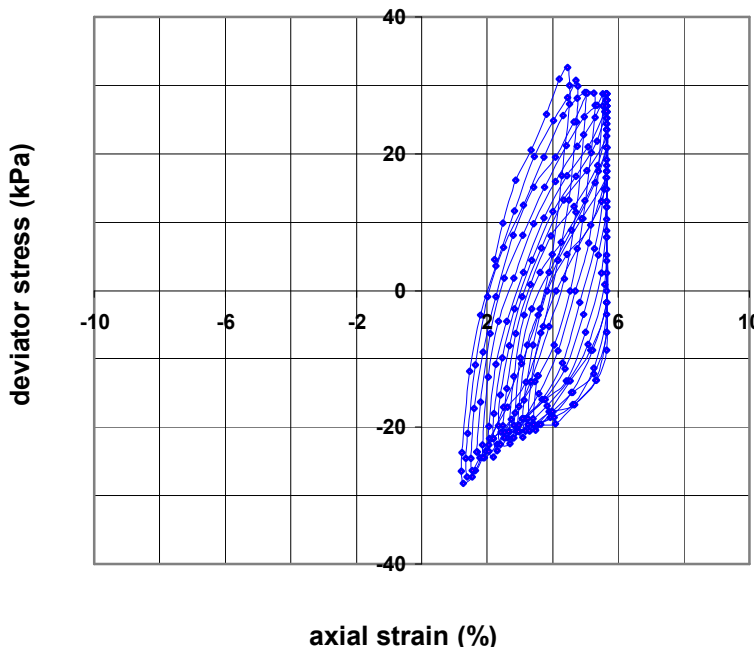
รูปที่ 4.9 กราฟแสดงค่า Hysteresis Loop ของดินที่ระดับความลึก 7 เมตร ด้วยอัตราการให้น้ำหนักแบบวัฏจักรที่ 0.1 รอบต่อวินาที ที่ความเครียดตามแนวแกน 0.6% (DN63F-1-34)

จากรูปที่ 4.9 เป็นกราฟแสดงหน่วยแรงตามแนวแกนกับความเครียดตามแนวแกนของชุดทดสอบ DN63F-1-34 เป็นดินที่ระดับความลึก 7 เมตร มีค่า Plasticity Index 63%, Confining pressure 34 kPa ซึ่งมีค่าความดันที่ระดับหน่วยแรงปั๊บจุบัน (Normally Consolidated Clay, OCR=1) ด้วยอัตราการให้น้ำหนักแบบวัฏจักรที่ 0.1 รอบต่อวินาที จำนวน 15 รอบ ที่ความเครียดตามแนวแกน 0.6% จากการทดสอบพบว่า Hysteric Stress-Strain Curve ของรูปที่ 4.5 มีพฤติกรรมคือมีค่าหน่วยแรงสูงสุด (หน่วยแรงอัด) ประมาณ 24 kPa มีค่าหน่วยแรงต่ำสุด (หน่วยแรงดึง) ประมาณ -25 kPa และมีค่าความเครียด (เสียรูป) ตามแนวแกนสูงสุด (ทางด้านอัด) ประมาณ 0.52% มีค่าความเครียด (เสียรูป) ตามแนวแกนต่ำสุด (ทางด้านขยาย) มีค่าประมาณ -0.13% โดยที่ Hysteric Stress-Strain Curve ทั้ง 15 Loop มีขนาดของวงรีเท่ากันทั้งหมดซึ่งแสดงถึงพฤติกรรมการรับน้ำหนักภายใต้พฤษกรรมแบบ elastic และแสดงถึงความสามารถรับน้ำหนักของตัวอย่างทดสอบคือสามารถรับน้ำหนักแบบวัฏจักรในช่วงน้ำหนักนี้ได้



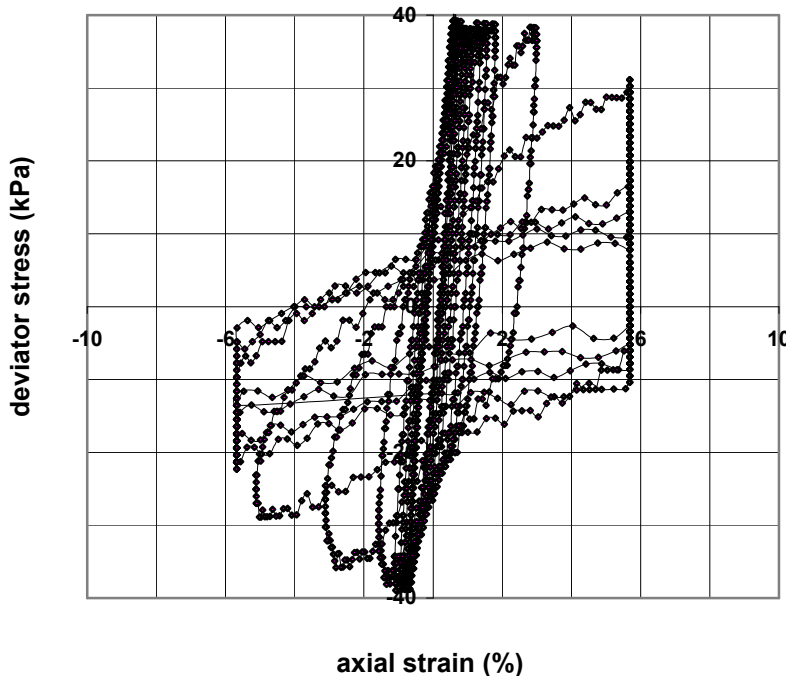
รูปที่ 4.10 กราฟแสดงค่า Hysteresis Loop ของดินที่ระดับความลึก 7 เมตร ด้วยอัตราการให้น้ำหนักแบบวัฏจักรที่ 0.01 รอบต่อวินาที ที่ความเครียดตามแนวแกน 0.6% (DN63S-1-34)

จากรูปที่ 4.10 เป็นกราฟแสดงหน่วยแรงตามแนวแกนกับความเครียดตามแนวแกนของชุดทดสอบ DN63S-1-34 เป็นดินที่ระดับความลึก 7 เมตร มีค่า Plasticity Index 63%, Confining pressure 34 kPa ซึ่งมีค่าความดันที่ระดับหน่วยแรงปัจจุบัน (Normally Consolidated Clay, OCR=1) ด้วยอัตราการให้น้ำหนักแบบวัฏจักรที่ 0.01 รอบต่อวินาที จำนวน 15 รอบ ที่ความเครียดตามแนวแกน 0.6% จากกราฟพบว่าพฤติกรรมภายในได้การรับน้ำหนักในแต่ละรอบทำให้ได้กราฟรูปวงรีในแต่ละรอบของการให้น้ำหนักซึ่งเรียกว่า Hysteric Stress-Strain Curve พบร้า Hysteric Stress-Strain Curve ของรูปที่ 4.10 มีพฤติกรรมคือมีค่าหน่วยแรงสูงสุด (หน่วยแรงอัด) ประมาณ 30 kPa มีค่าหน่วยแรงต่ำสุด (หน่วยแรงดึง) ประมาณ -29 kPa และมีค่าความเครียด (เสียรูป) ตามแนวแกนสูงสุด (ทางด้านอัด) ประมาณ 0.42% มีค่าความเครียด (เสียรูป) ตามแนวแกนต่ำสุด (ทางด้านขยาย) มีค่าประมาณ -0.23% โดยที่ Hysteric Stress-Strain Curve ทั้ง 15 Loop มีขนาดของวงรีเท่าๆ กันทั้งหมดซึ่งแสดงถึงพฤติกรรมการรับน้ำหนักภายในได้พฤติกรรมแบบ elastic และแสดงถึงความสามารถรับน้ำหนักของตัวอย่างทดสอบคือสามารถรับน้ำหนักแบบวัฏจักรในช่วงน้ำหนักนี้ได้



รูปที่ 4.11 กราฟแสดงค่า Hysteresis Loop ของดินที่ระดับความลึก 7 เมตร ด้วยอัตราการให้น้ำหนักแบบวัฏจักรที่ 0.1 รอบต่อวินาที ที่ความเครียดตามแนวแกน 2.4% (DN63F-1-34)

จากรูปที่ 4.11 เป็นกราฟแสดงหน่วยแรงตามแนวแกนกับความเครียดตามแนวแกนของชุดทดสอบ DN63F-1-34 เป็นดินที่ระดับความลึก 7 เมตร มีค่า Plasticity Index 63%, Confining pressure 34 kPa ซึ่งมีค่าความดันที่ระดับหน่วยแรงปัจจุบัน (Normally Consolidated Clay, OCR=1) ด้วยอัตราการให้น้ำหนักแบบวัฏจักรที่ 0.1 รอบต่อวินาที จำนวน 15 รอบ ที่ความเครียดตามแนวแกน 2.4% จากกราฟพบว่าพฤติกรรมภายในได้รับน้ำหนักในแต่ละรอบทำให้ได้กราฟรูปวงรีในแต่ละรอบของการให้น้ำหนักซึ่งเรียกว่า Hysteric Stress-Strain Curve โดยในแต่ละวงเรียกว่า Loop จากการทดสอบพบว่า Hysteric Stress-Strain Curve ของรูปที่ 4.7 มีพฤติกรรมคือมีค่าหน่วยแรงสูงสุด (หน่วยแรงอัด) ตั้งแต่ 16 ถึง 32 kPa มีค่าหน่วยแรงต่ำสุด (หน่วยแรงดึง) ตั้งแต่ -20 ถึง -28 kPa และมีค่าความเครียด (เสียรูป) ตามแนวแกนสูงสุด (ทางด้านอัด) ตั้งแต่ 4.2 ถึง 5.8 % มีค่าความเครียด (เสียรูป) ตามแนวแกนต่ำสุด (ทางด้านขยาย) ตั้งแต่ 1.1 ถึง 5 kPa โดยที่ Hysteric Stress-Strain Curve ทั้ง 15 Loop มีขนาดของวงรีที่ขยายใหญ่ขึ้นตามจำนวนรอบของการให้น้ำหนักที่เพิ่มขึ้นซึ่งพฤติกรรมดังกล่าวแสดงถึงพฤติกรรมการรับน้ำหนักที่ได้ผ่านจุดคลากและแสดงว่าตัวอย่างทดสอบไม่สามารถรับน้ำหนักแบบวัฏจักรในช่วงน้ำหนักนี้ได้



รูปที่ 4.12 กราฟแสดงค่า Hysteresis Loop ของดินที่ระดับความลึก 7 เมตร ด้วยอัตราการให้น้ำหนักแบบวัฏจักรที่ 0.01 รอบต่อวินาที ที่ความเครียดตามแนวแกน 5.3 % (DN63S - 1-34)

จากรูปที่ 4.12 เป็นกราฟแสดงหน่วยแรงตามแนวแกนกับความเครียดตามแนวแกนของชุดทดสอบ DN63S-1-34 เป็นดินที่ระดับความลึก 7 เมตร มีค่า Plasticity Index 63%, Confining pressure 34 kPa ซึ่งมีค่าความดันที่ระดับหน่วยแรงปัจจุบัน (Normally Consolidated Clay, OCR=1) ด้วยอัตราการให้น้ำหนักแบบวัฏจักรที่ 0.01 รอบต่อวินาที จำนวน 15 รอบ ที่ความเครียดตามแนวแกน 5.3% จากกราฟพบว่าพฤติกรรมภายในได้รับน้ำหนักในแต่ละรอบทำให้ได้กราฟรูปวงรีในแต่ละรอบของการให้น้ำหนักซึ่งเรียกว่า Hysteric Stress-Strain Curve โดยในแต่ละวงเรียกว่า Loop จากการทดสอบพบว่า Hysteric Stress-Strain Curve ของรูปที่ 4.12 มีพฤติกรรมคือมีค่าหน่วยแรงสูงสุด (หน่วยแรงอัด) ตั้งแต่ 5 ถึง 40 kPa มีค่าหน่วยแรงต่ำสุด (หน่วยแรงดึง) ตั้งแต่ -5 ถึง -40 kPa และมีค่าความเครียด (เสียรูป) ตามแนวแกนสูงสุด (ทางด้านอัด) ตั้งแต่ 1 จนกระทั่งวัดค่าไม่ได้ (เกินช่วงวัดของ LVDT) มีค่าความเครียด (เสียรูป) ตามแนวแกนต่ำสุด (ทางด้านขยาย) ตั้งแต่ 1 จนกระทั่งวัดค่าไม่ได้ (เกินช่วงวัดของ LVDT)

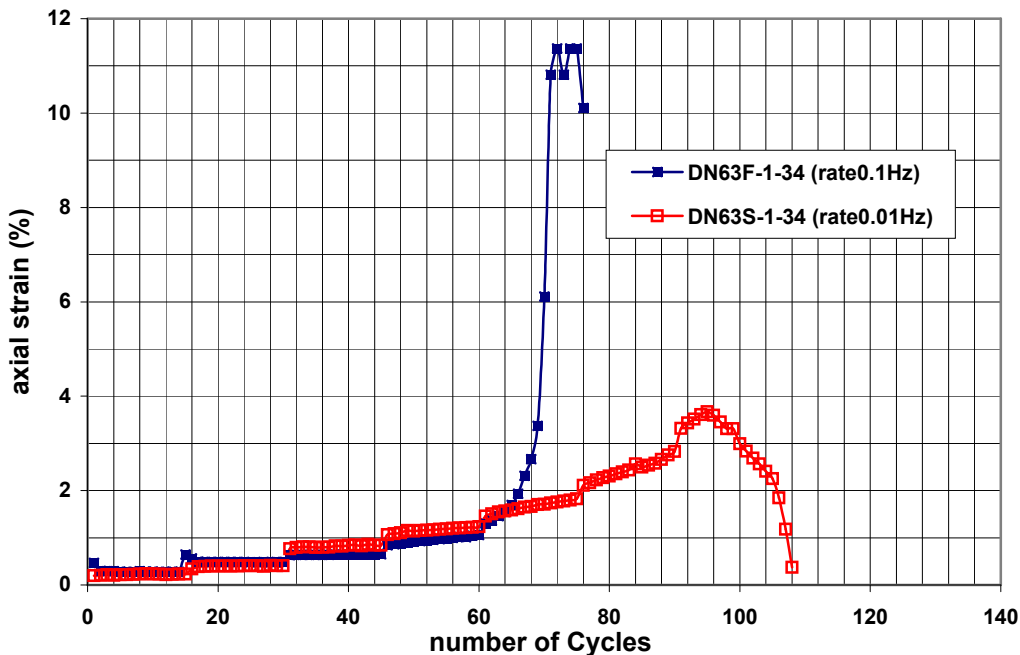
โดยที่ Hysteric Stress-Strain Curve ตั้งแต่ Loop ที่ 1-5 มีขนาดของวงรีที่ขยายเล็กน้อย เมื่อ Loop ที่ 6-9 วงรีมีขนาดขยายใหญ่ขึ้นอย่างมากซึ่งพฤติกรรมดังกล่าว แสดงถึงพฤติกรรมการรับน้ำหนักที่ได้ผ่านจุดคลากและแสดงว่าตัวอย่างทดสอบไม่สามารถรับน้ำหนักแบบวัฏจักรในช่วงน้ำหนักนี้ได้ เมื่อ Loop ที่ 10 จนถึง Loop ที่ 15 วงรีจะเบี้ยวและบิดเข้าหากัน

แกน X (แกนความเครียดตามแนวแกน) เนื่องจากในช่วงดังกล่าวตัวอย่างทดสอบได้รีบติดทำให้มีสามารถรับแรงดังนั้นค่าในแกน Y (หน่วยแรงตามแนวแกน) จึงลดลงอย่างมากและเมื่อตัวอย่างทดสอบได้รีบติดทำให้เกิดเสียรูปอย่างมากจนไม่สามารถวัดค่าตามแกน X ได้ดังนั้นที่ Loop ทางแกน X ของช่วงนี้จึงเป็นเส้นตรงดังรูปที่ 4.12 ขึ้นตามจำนวนรอบของการให้น้ำหนักที่เพิ่มขึ้นซึ่งพฤติกรรมดังกล่าวแสดงถึงพฤติกรรมการวิบิตของตัวอย่างทดสอบ

เมื่อพิจารณากราฟรูปที่ 4.9, 4.10, 4.11, และ 4.12 ทั้งหมด ซึ่งแสดงถึงพฤติกรรมของความเครียดตามแนวแกนจากผลการทดสอบการรับน้ำหนักแบบวัฏจักรของдинหนี่ยวอ่อนที่เก็บตัวอย่างที่ระดับความลึก 7 เมตรจากผิวดิน โดยเปรียบเทียบการรับน้ำหนักแบบวัฏจักรที่ความถี่ 0.1 และ 0.01 รอบต่อวินาที จากกราฟแสดงผลการทดสอบพบว่าพฤติกรรม Hysteresis Loops ของการรับน้ำหนักแบบวัฏจักรสามารถแบ่งตามพฤติกรรมได้เป็น 2 ช่วงโดยแบ่งตามความเครียดในแนวแกนคือ ช่วงแรกเป็นช่วงที่มีค่าความเครียดตามแนวแกนน้อยกว่า 1% ช่วงสองเป็นช่วงที่มีค่าความเครียดตามแนวแกนมากกว่า 1% เมื่อพิจารณาพฤติกรรมกราฟหน่วยแรงกับความเครียดตามแนวแกนในแต่ละรอบ ในกราฟรูปที่ 4.9, 4.10, 4.11, และ 4.12 เป็นชุดกราฟทดสอบการรับน้ำหนักทั้ง 15 รอบ จากกราฟ Hysteresis Loops เป็นรูปวงรีโดยกราฟวงรีจะมีลักษณะแคบและขยายกว้างขึ้นเมื่อความเครียดตามแนวแกนเพิ่มขึ้น เมื่อพิจารณาวรีทั้ง 15 รอบ (ในชุดขนาดหน่วยแรงเดียวกัน) ในช่วงความเครียดตามแนวแกนน้อยกว่า 1% จะมีขนาดวงรีเท่ากันและใกล้เคียงกัน (ทั้ง 15 รอบ) แต่เมื่อความเครียดตามแนวแกนมากกว่า 1% วงรีจะมีขนาดไม่เท่ากัน (ขยายใหญ่ขึ้น) ในทุกๆ รอบของของการให้น้ำหนักจนกระทั่งเกิดการเสียรูปจนไม่สามารถสร้างรูป Hysteresis Loops ได้ โดยพฤติกรรมจะเหมือนกันทั้งที่ความถี่ที่ 0.1 และ 0.01 รอบต่อวินาที

ส่วนการทดสอบที่ค่า PI=55% และ PI=43% ซึ่งแสดงถึงพฤติกรรมของความเครียดตามแนวแกนจากผลการทดสอบการรับน้ำหนักแบบวัฏจักรของдинหนี่ยวอ่อนที่เก็บตัวอย่างที่ระดับความลึก 10 และ 13 เมตรจากผิวดินตามลำดับ โดยเปรียบเทียบการรับน้ำหนักแบบวัฏจักรที่ความถี่ 0.1 และ 0.01 รอบต่อวินาทีนั้นจะมีพฤติกรรมเช่นเดียวกันกับที่ PI=63% (ความลึก 7 เมตร)

4.4 อิทธิพลของความถี่ที่มีต่อพฤติกรรมของการวิบัติ



รูปที่ 4.13 กราฟแสดงผลการทดสอบค่าความเครียดตามแนวแกนกับรอบของการให้น้ำหนัก

จากรูปที่ 4.13 เป็นกราฟแสดงพฤติกรรมการเสียรูปตามแนวแกน (ค่าความเครียดตามแนวแกน) กับรอบของการให้น้ำหนัก ของการทดสอบการรับน้ำหนักแบบวัฏจักรของดินหนี่งว่าอ่อนที่เก็บตัวอย่างที่ระดับความลึก 7 เมตรจากผิวดิน มีค่า Plasticity Index 63%, Confining pressure 34 kPa ซึ่งมีค่าความดันที่ระดับหน่วยแรงปั๊บบัน (Normally Consolidated Clay, OCR=1) ตั้งแต่เริ่มทำการทดสอบโดยให้น้ำหนักครั้งละ 15 รอบแล้วเพิ่มขนาดน้ำหนักจนกระทั่งตัวอย่างร่วบตัวอย่างที่ระดับความถี่ 0.1 รอบต่อวินาที (DN63F-1-34) และความถี่ 0.01 รอบต่อวินาที (DN63S-1-34) พบว่าจากการทดสอบผลการทดสอบพบว่าพฤติกรรมความเครียดตามแนวแกนสามารถแบ่งตามพฤติกรรมได้เป็น 2 ช่วงโดยแบ่งตามความเครียดในแนวแกนคือ

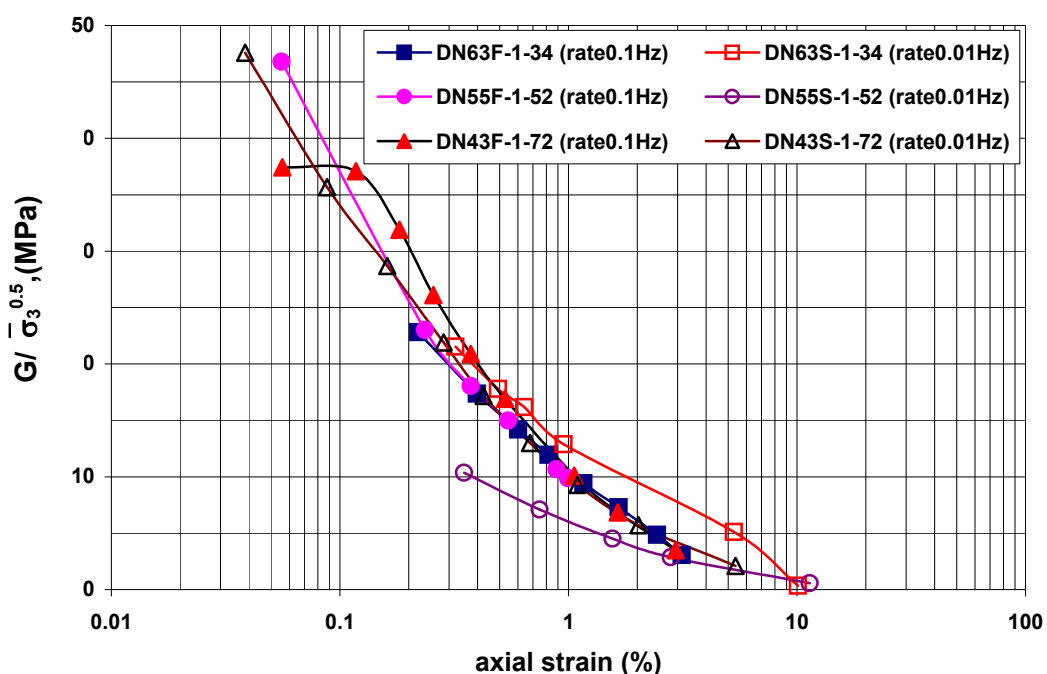
ช่วงแรกเป็นช่วงที่มีค่าความเครียดตามแนวแกนน้อยกว่า 1% ในช่วงนี้พฤติกรรมการเสียรูปโดยที่ความถี่ที่ 0.1 รอบต่อวินาที มีค่าเท่ากันหรือมีค่าน้อยกว่าเล็กน้อยเมื่อเปรียบเทียบกับความถี่ 0.01 รอบต่อวินาที ซึ่งช่วงนี้แสดงถึงพฤติกรรมการรับน้ำหนักภายใต้พฤติกรรมแบบ elastic และแสดงถึงความสามารถรับน้ำหนักของตัวอย่างทดสอบคือสามารถรับน้ำหนักแบบวัฏจักรในช่วงน้ำหนักนี้ได้ ช่วงที่สองเป็นช่วงที่มีค่าความเครียดตามแนวแกนมากกว่า 1% ในช่วงนี้พฤติกรรมการเสียรูปโดยที่ความถี่ที่ 0.1 รอบต่อวินาที ค่าน้อยกว่าเล็กน้อยเมื่อเปรียบเทียบกับความถี่ 0.01 รอบต่อวินาที ที่ดูความเครียดตามแนวแกน 1 ถึง 2% แต่เมื่อความเครียดตาม

แนวแกนตั้งแต่ 2% เป็นต้นไป

พฤติกรรมการเสียรูปที่ความถี่ 0.1 รอบต่อวินาทีจะเกิดการวิบัติภายในให้การรับน้ำหนักที่เพิ่มขึ้นเพียง 6 รอบเท่านั้น (จากความเครียดตามแนวแกน 2% ถึง 12%) ในขณะที่ความถี่ 0.01 รอบต่อวินาที (จากกราฟของ DN63S-1-34) จะเกิดการวิบัติภายในให้การรับน้ำหนักที่เพิ่มขึ้นถึง 20 รอบ (จากความเครียดตามแนวแกน 2% ถึง 3.9%) ซึ่งกราฟแสดงถึงพฤติกรรมการรับน้ำหนักที่ได้ผ่านจุดคลากและเริ่มที่จะไม่สามารถรับน้ำหนักแบบวัฏจักรได้จนกระทั่งวิบัติ

เมื่อพิจารณาถึงช่วงความเครียดในช่วงของการวิบัติที่ความถี่ 0.1 รอบต่อวินาที จากความเครียดตามแนวแกน 2% ถึง 12% ภายใต้การรับน้ำหนัก 6 รอบ เฉลี่ย 2 เปอร์เซ็นต์ต่อรอบ ในขณะที่ช่วงของการวิบัติที่ความถี่ 0.01 รอบต่อวินาที จากความเครียดตามแนวแกน 2% ถึง 3.9% ภายใต้การรับน้ำหนัก 20 รอบ เฉลี่ย 0.095 เปอร์เซนต์ต่อรอบ ซึ่งเมื่อเปรียบเทียบแล้วจะพบว่าช่วงของการวิบัติที่ความถี่ 0.1 รอบต่อวินาที จะเร็วกว่าอย่างยิ่งเมื่อเทียบกับที่ความถี่ 0.01 รอบต่อวินาที

4.5 อิทธิพลของความถี่ที่มีต่อค่าโมดูลัสเฉือน



รูปที่ 4.14 กราฟแสดงผลการทดสอบค่าโมดูลัสเฉือนที่ Normalized ด้วยรายการส่องของ Effective Confining Pressure กับ Axial Strain

จากรูปที่ 4.14 เป็นกราฟแสดงผลการทดสอบค่าโมดูลัสเฉือนที่ Normalized ด้วยรายการส่องของ Effective Confining Pressure กับ Axial Strain แสดงพฤติกรรมของการทดสอบ การรับน้ำหนักแบบวัฏจักรของดินหนี่กวอ่อนที่เก็บตัวอย่างที่ระดับความลึก 7, 10 และ 13 เมตร

และมีค่า Plasticity Index (PI) 63%, 55% และ 43% ตามลำดับ มีค่า Confining pressure 34, 52 และ 72 kPa ตามระดับความลึกของตัวอย่างทดสอบซึ่งเป็นค่าความดันที่ระดับหน่วยแรงปัจจุบัน (Normally Consolidated Clay, OCR=1) โดยเบริญบเทียบผลการทดสอบจากผลของอัตรา (ความถี่) การรับน้ำหนักแบบวัฏจักรของตัวอย่างทดสอบที่ระดับความถี่ 0.1 และ 0.01 รอบต่อวินาที เมื่อพิจารณาขุปที่ 4.14 ได้พฤติกรรมของค่าโมดูลัสเฉือนที่ Normalized ด้วย Effective Confining Pressure กับ Axial Strain คือพฤติกรรมของค่าโมดูลัสเฉือนที่อัตราการให้น้ำหนักแบบวัฏจักรของตัวอย่างทดสอบที่ระดับความถี่ 0.1 รอบต่อวินาที (กราฟของ DN63F-1-34, DN55F-1-52 , DN43F-1-72)

พฤติกรรมช่วงแรกอยู่ในช่วงความเครียดตามแนวแกนตั้งแต่เริ่มทดสอบจนถึงความเครียดตามแนวแกน 1% โดยที่พฤติกรรมของค่าโมดูลัสเฉือนจะพิจารณาตามเปอร์เซนต์ค่า PI ของตัวอย่าง พบร้ากราฟการเกิดของค่าโมดูลัสเฉือนทั้งสาม PI มีค่าใกล้เคียงกัน โดยที่ค่าโมดูลัสเฉือน PI 43%(DN43F-1-72) มีค่าโมดูลัสเฉือนมากกว่าที่ PI 55%(DN55F-1-52) และ PI 63%(DN63F-1-34) ที่ความเครียดตามแนวแกนเดียวกัน โดยที่ที่ PI 55% และ 63% มีค่าเท่ากัน เนื่องจากเส้นกราฟทั้งสองจะทับเป็นเส้นเดียวกัน พฤติกรรมช่วงที่สองอยู่ในช่วงความเครียดตามแนวแกนตั้งแต่ 1% จนกระทั่งตัวอย่างทดสอบบวบติด พบร้าค่าโมดูลัสเฉือนทั้งสามมีค่าเท่ากัน เนื่องจากกราฟทั้งสามเส้นทับเป็นเส้นเดียวกัน

สำหรับพฤติกรรมของค่าโมดูลัสเฉือนที่อัตราการให้น้ำหนักแบบวัฏจักรของตัวอย่างทดสอบที่ระดับความถี่ 0.01 รอบต่อวินาที (กราฟของ DN63S-1-34, DN55S-1-52 , DN43S -1-72) พฤติกรรมช่วงแรกอยู่ในช่วงความเครียดตามแนวแกนตั้งแต่เริ่มทดสอบจนถึงที่ความเครียดตามแนวแกน 1% โดยที่พฤติกรรมของแรงดันเพียงส่วนเกินจะพิจารณาตามเปอร์เซนต์ค่า PI ของตัวอย่าง พบร้ากราฟค่าโมดูลัสเฉือนที่ PI 63%(DN63S-1-34) มีค่ามากที่สุดและที่ PI 55% (DN55S-1-52) มีค่าน้อยที่สุด (ที่ความเครียดตามแนวแกนเดียวกัน)

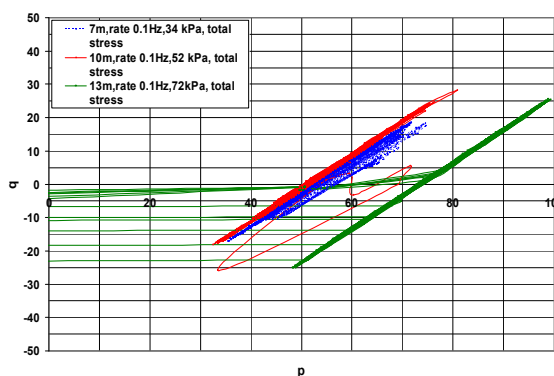
พฤติกรรมช่วงที่สองอยู่ในช่วงความเครียดตามแนวแกนตั้งแต่ 1% จนกระทั่งตัวอย่างทดสอบบวบติด พบร้าค่าโมดูลัสเฉือนมีพฤติกรรม เช่นเดียวกันกับช่วงแรกคือที่ PI 63%(DN63S-1-34) มีค่ามากที่สุดและที่ PI 55%(DN55S-1-52) มีค่าน้อยที่สุด (ที่ความเครียดตามแนวแกนเดียวกัน) แต่การแยกตัวของกราฟทั้ง 3 PI มีการแยกตัวกันที่ชัดเจนมากกว่าในช่วงแรก

เมื่อพิจารณาถึงความแตกต่างของค่าโมดูลัสเฉือนที่ในชุดความถี่เดียวกันคือกราฟของ DN63S-1-34, DN55S-1-52 , DN43S -1-72 (ที่ความถี่ 0.01 รอบต่อนาที) และกราฟของ DN63F-1-34, DN55F-1-52 , DN43F-1-72 (ที่ความถี่ 0.1 รอบต่อนาที) พบร้าชุดกราฟของความถี่ 0.01 รอบต่อนาที เส้นกราฟค่าโมดูลัสเฉือนที่ของทั้ง 3 PI มีเส้นกราฟที่แยกตัวกันทำให้เห็นความแตกต่าง

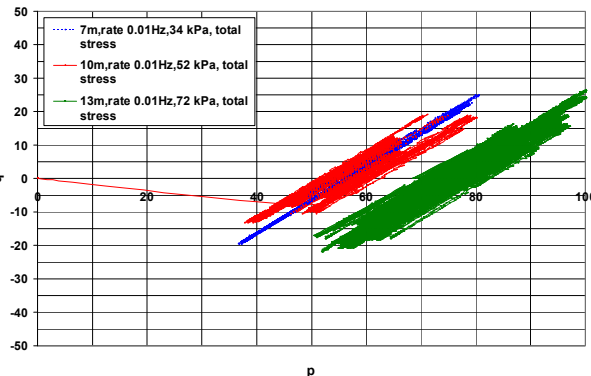
ในแต่ละ PI ที่ขัดเจนมากกว่าที่ชุดความถี่ 0.1 รอบต่อนาที (ชุดความถี่ 0.1 รอบต่อนาที กราฟทั้งสาม PI มีเส้นกราฟที่ใกล้เคียงหรือทับกัน เส้นกราฟจะทับกันทั้ง 3 PI)

ผลของความถี่ที่มีอิทธิพลต่อค่าโมดูลัสเนื้อön จากกราฟทั้ง 6 กราฟมีค่าโมดูลัสเนื้อön (ที่ความเครียดตามแนวแกนเดียวกัน) จะเห็นว่ากราฟทั้งหมดมีค่าโมดูลัสเนื้อön มีค่าเท่ากันทั้งหมดโดยที่กราฟจะไม่แยกตัวอย่างขัดเจนดังนั้นจึงสรุปได้ว่าอิทธิพลของความถี่ที่ความถี่ 0.1 และ 0.01 รอบต่อนาที ไม่มีผลต่อการเปลี่ยนแปลงของค่าโมดูลัสเนื้อön

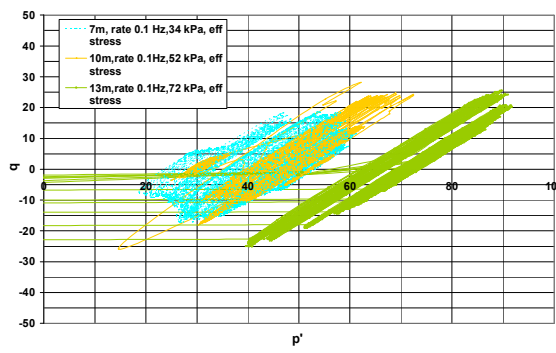
4.6 ผลกระทบของอัตราการให้น้ำหนักเนื้อönที่มีต่อทางเดินหน่วยแรง



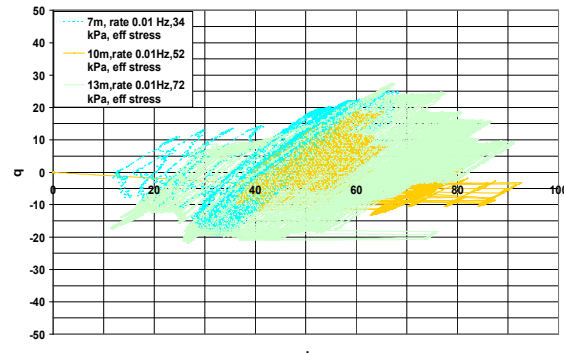
รูปที่ 4.15 a



รูปที่ 4.15 b



รูปที่ 4.15 c



รูปที่ 4.15 d

รูปที่ 4.15 a กราฟแสดงผลการทดสอบทางเดินหน่วยแรงรวมของอัตราการให้น้ำหนักเนื้อönแบบวัฏจักรที่อัตรา 0.1 รอบต่อนาทีตามลำดับ ในตัวอย่างทดสอบที่หน่วยแรงปะลิทิophil 34, 52 และ 72 กิโลปascal (DN63F-1-34, DN55F-1-52 และ DN43F-1-72) รูปที่ 4.15 b กราฟแสดงผลการทดสอบทางเดินหน่วยแรงรวมของอัตราการให้น้ำหนักเนื้อönแบบวัฏจักรที่อัตรา 0.01

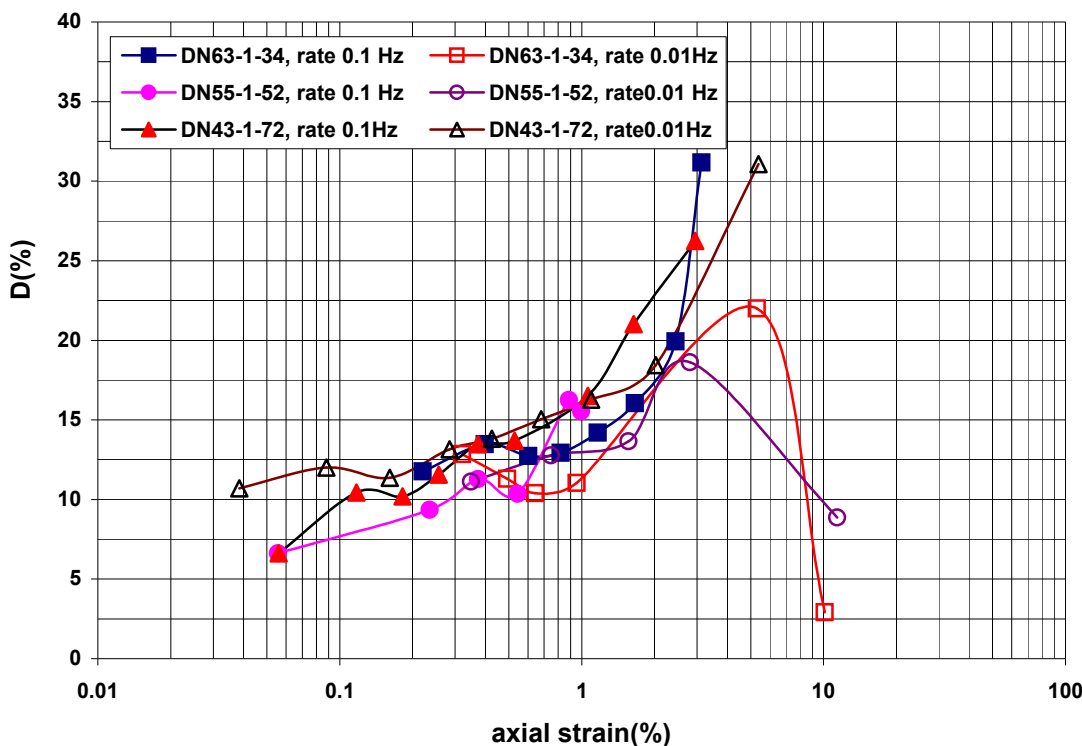
รอบต่อนาทีตามลำดับ ในตัวอย่างทดสอบที่หน่วยแรงประสิทธิผล 34, 52 และ 72 กิโลปascala (DN63S-1-34, DN55S-1-52 และ DN43S-1-72) เมื่อเปรียบเทียบทางเดินหน่วยแรงรวมของตัวอย่างทดสอบในอัตราการรับน้ำหนักเฉือนแบบวัสดุจักราชพบว่า ลักษณะทางเดินหน่วยแรงรวมมีพฤติกรรมเหมือนกันทั้งในของสองอัตราการรับน้ำหนักคือทั้งสองจะให้ค่าขอบเขตทั้งในด้านอัดและด้านขยายที่ใกล้เคียงกันมากคือมีค่า a และมุมอัลฟ่า (α) สำหรับทางเดินหน่วยแรงรวมของอัตราการให้น้ำหนักเฉือนแบบวัสดุจักรที่อัตรา 0.1 รอบต่อนาที มีค่า 17 กิโลนิวตันต่ำต่อตารางเมตร และ 5.71 องศา ตามลำดับ ส่วนค่า a และมุมอัลฟ่า (α) สำหรับทางเดินหน่วยแรงรวมของอัตราการให้น้ำหนักเฉือนแบบวัสดุจักรที่อัตรา 0.01 รอบต่อนาที มีค่า 16 กิโลนิวตันต่ำต่อตารางเมตร และ 5.71 องศา ตามลำดับ เมื่อเปรียบเทียบค่า a และมุมอัลฟ่าจะพบว่าค่า a ที่ได้จากทางเดินหน่วยแรงรวมมีค่าใกล้เคียงกันโดยที่อัตราการให้น้ำหนักเฉือนแบบวัสดุจักรที่อัตรา 0.1 รอบต่อนาที มีค่ามากกว่าคือประมาณหนึ่งกิโลนิวตันต่ำต่อตารางเมตร ส่วนค่ามุมอัลฟាដูนทั้งสองอัตราการให้น้ำหนักเฉือนมีค่าเท่ากัน

รูปที่ 4.15 c กราฟแสดงผลการทดสอบทางเดินหน่วยแรงประสิทธิผลของอัตราการให้น้ำหนักเฉือนแบบวัสดุจักรที่อัตรา 0.1 รอบต่อนาทีตามลำดับ ในตัวอย่างทดสอบที่หน่วยแรงประสิทธิผล 34, 52 และ 72 กิโลปascala (DN63F-1-34, DN55F-1-52 และ DN43F-1-72) ในรูปที่ 4.15 d กราฟแสดงผลการทดสอบทางเดินหน่วยแรงประสิทธิผลของอัตราการให้น้ำหนักเฉือนแบบวัสดุจักรที่อัตรา 0.01 รอบต่อนาทีตามลำดับ ในตัวอย่างทดสอบที่หน่วยแรงประสิทธิผล 34, 52 และ 72 กิโลปascala (DN63S-1-34, DN55S-1-52 และ DN43S-1-72) เมื่อเปรียบเทียบทางเดินหน่วยแรงรวมของตัวอย่างทดสอบในอัตราการรับน้ำหนักเฉือนแบบวัสดุจักราชพบว่า ลักษณะทางเดินหน่วยแรงรวมมีพฤติกรรมเหมือนกันทั้งในของสองอัตราการรับน้ำหนักคือทั้งสองจะให้ค่าขอบเขตทั้งในด้านอัดและด้านขยายที่ใกล้เคียงกันมากคือมีค่า a และมุมอัลฟ่า สำหรับทางเดินหน่วยแรงประสิทธิผลของอัตราการให้น้ำหนักเฉือนแบบวัสดุจักรที่อัตรา 0.1 รอบต่อนาที มีค่า 7 กิโลนิวตันต่ำต่อตารางเมตร และ 5.39 องศา ตามลำดับ ส่วนค่า a และมุมอัลฟ่า สำหรับทางเดินหน่วยแรงประสิทธิผลของอัตราการให้น้ำหนักเฉือนแบบวัสดุจักรที่อัตรา 0.01 รอบต่อนาที มีค่า 5 กิโลนิวตันต่ำต่อตารางเมตร และ 14.03 องศา ตามลำดับ เมื่อเปรียบเทียบค่า a และมุมอัลฟ่าจะพบว่าค่า a ที่ได้จากทางเดินหน่วยแรงประสิทธิผลมีค่าใกล้เคียงกันโดยที่อัตราการให้น้ำหนักเฉือนแบบวัสดุจักรที่อัตรา 0.1 รอบต่อนาที มีค่ามากกว่าคือประมาณสองกิโลนิวตันต่ำต่อตารางเมตร แต่ค่ามุมอัลฟ่าที่อัตราการให้น้ำหนักเฉือนแบบวัสดุจักรที่อัตรา 0.01 รอบต่อนาที มีค่ามากกว่าประมาณสามเท่า

ดังนั้นเมื่อพิจารณาถึงอิทธิพลของอัตราการให้น้ำหนักเฉือนแบบวัสดุจักรที่มีต่อพฤติกรรมของทางเดินหน่วยแรงจะพบว่ามีอิทธิพลเมื่ออัตราการให้น้ำหนักเฉือนเพิ่มขึ้นมีผลทำให้ค่า a ลดลง

แต่ค่ามุนอัลฟาระมีขึ้น ค่ามุนอัลฟาระที่เพิ่มขึ้นประมาณสามเท่าไม่ทำให้ค่าหน่วยแรงเฉือนสูงสุด (q) เพิ่มขึ้นแต่กต่างกันมากเนื่องจากค่า \tan^{-1} ที่ได้จากมุนของทางเดินหน่วยแรงประสิทธิผลทั้งสองมีผลต่างกันเพียง 0.15 เท่านั้น แต่ค่าหน่วยแรงเฉือนสูงสุด q ลดลงอย่างมากเนื่องจากค่า a คือลดลงประมาณ 29%

4.7 อิทธิพลของความถี่ที่มีต่อค่าแเดมปิง

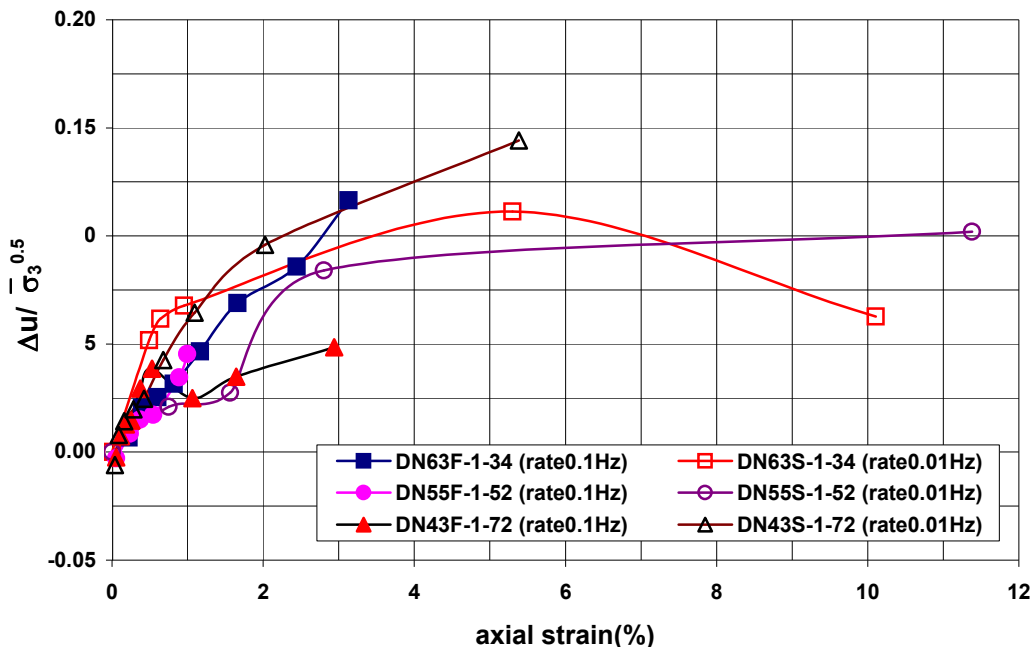


รูปที่ 4.16 กราฟแสดงผลการทดสอบค่าแเดมปิง กับ Axial Strain

จากรูปที่ 4.16 กราฟแสดงผลการทดสอบค่าแเดมปิง กับ Axial Strain แสดงพฤติกรรมของการทดสอบการรับน้ำหนักแบบวัฏจักรของดินหนี่งอ่อนที่เก็บตัวอย่างที่ระดับความลึก 7, 10 และ 13 เมตร และมีค่า Plasticity Index (PI) 63%, 55% และ 43% ตามลำดับ มีค่า Confining pressure 34, 52 และ 72 kPa ตามระดับความลึกของตัวอย่างทดสอบซึ่งเป็นค่าความดันที่ระดับหน่วยแรงปัจจุบัน (Normally Consolidated Clay, OCR=1) โดยเปรียบเทียบผลการทดสอบจากผลของอัตรา (ความถี่) การรับน้ำหนักแบบวัฏจักรของตัวอย่างทดสอบที่ระดับความถี่ 0.1 และ 0.01 รอบต่อวินาที ผลของความถี่ที่มีอิทธิพลต่อค่าแเดมปิง จากกราฟทั้ง 6 กราฟมีค่าแเดมปิง (ที่ความเครียดตามแนวแกนเดียวกัน) จะเห็นว่ากราฟทั้งหมดมีค่าแเดมปิงมีกราฟไม่แยกตัวอย่างชัดเจนทั้งหมด มีค่าไม่แตกต่างกัน (ใกล้เคียงกันทั้ง 3 PI) ซึ่งมีผลเช่นเดียวกันกับผลของโมดูลัส

เจือนดังนั้นจึงสรุปได้ว่าอิทธิพลของความถี่ที่ความถี่ 0.1 และ 0.01 รอบต่อนาที ไม่มีผลต่อการเปลี่ยนแปลงของค่าแเดมปิง

4.8 อิทธิพลของความถี่ที่มีต่อพฤติกรรมของแรงดันโพรง



รูปที่ 4.17 กราฟแสดงผลการทดสอบค่า Excess Pore Pressure ที่ Normalized ด้วยรายการสองของ Effective Confining Pressure กับ Axial Strain

จากรูปที่ 4.17 เป็นกราฟแสดงผลการทดสอบค่า Excess Pore Pressure ที่ Normalized ด้วยรายการที่สองของ Effective Confining Pressure กับ Axial Strain แสดงพฤติกรรมของการทดสอบการรับน้ำหนักแบบวัฏจักรของดินหนี่ยวอ่อนที่เก็บตัวอย่างที่ระดับความลึก 7, 10 และ 13 เมตร และมีค่า Plasticity Index (PI) 63%, 55% และ 43% ตามลำดับ มีค่า Confining pressure 34, 52 และ 72 kPa ตามระดับความลึกของตัวอย่างทดสอบซึ่งเป็นค่าความดันที่ระดับหน่วยแรงปั๊จจุบัน (Normally Consolidated Clay, OCR=1) โดยเปรียบเทียบผลการทดสอบจากผลของอัตรา (ความถี่) การรับน้ำหนักแบบวัฏจักรของตัวอย่างทดสอบที่ระดับความถี่ 0.1 และ 0.01 รอบต่อนาที เมื่อพิจารณากราฟที่ 4.17 ได้พฤติกรรมของค่าแรงดันโพรงส่วนเกินที่ Normalized ด้วยรายการที่สองของ Effective Confining Pressure กับ Axial Strain คือพฤติกรรมของค่าแรงดันโพรงส่วนเกินที่อัตราการให้น้ำหนักแบบวัฏจักรของตัวอย่างทดสอบที่ระดับความถี่ 0.1 รอบต่อนาที (กราฟของ DN63F-1-34, DN55F-1-52, DN43F-1-72) พฤติกรรมซึ่งแรงดันอยู่ในช่วงความเครียดตามแนวแกนตั้งแต่เริ่มทดสอบจนถึงที่ความเครียดตามแนวแกน 1% โดยที่พฤติกรรมของแรงดันโพรงส่วนเกินจะพิจารณาตามเปอร์เซนต์ค่า PI ของตัวอย่าง

พบว่ากราฟการเกิดของแรงดันไฟฟ้าส่วนเกินทั้งสาม PI มีค่าใกล้เคียงกัน โดยที่ค่าแรงดันไฟฟ้าส่วนเกินที่ PI 43% (DN43F-1-72) มีค่าแรงดันไฟฟ้าส่วนเกินมากกว่าที่ PI 55% (DN55F-1-52) และ PI 63% (DN63F-1-34) สูงสุดประมาณ 25% (ที่ความเครียดตามแนวแกนเดียวกัน) เนื่องจากดินที่มีค่า PI สูงกว่า (PI63%, 55%) จะเกิดแรงดันไฟฟ้าส่วนเกินได้ มากกว่าดินที่มีค่า PI ต่ำกว่า (PI 43%) ซึ่งเป็นผลมาจากการใช้ความถี่ที่เร็วทำให้เกิดแรงดันไฟฟ้าส่วนเกินส่วนได้เสียมากกว่าดินที่มีค่า PI ต่ำกว่า (PI 43%)

พฤติกรรมช่วงที่สองอยู่ในช่วงความเครียดตามแนวแกนตั้งแต่ 1% จนกระทั้งตัวอย่างทดสอบบวบตืด พบร่วมค่าแรงดันไฟฟ้าส่วนเกิน PI 55% (DN55F-1-52) และ PI 63% (DN63F-1-34) มีค่าเท่ากันและมีค่ามากกว่าที่ PI 43% (DN43F-1-72)

สำหรับพฤติกรรมของค่าแรงดันไฟฟ้าส่วนเกินที่อัตราการให้น้ำหนักแบบวัฏจักรของตัวอย่างทดสอบที่ระดับความถี่ 0.01 รอบต่อวินาที (กราฟของ DN63S-1-34, DN55S-1-52, DN43S-1-72) พฤติกรรมช่วงแรกอยู่ในช่วงความเครียดตามแนวแกนตั้งแต่เริ่มทดสอบจนถึงที่ความเครียดตามแนวแกน 1% โดยที่พฤติกรรมของแรงดันไฟฟ้าส่วนเกินจะพิจารณาตามเปอร์เซนต์ค่า PI ของตัวอย่าง พบร่วมกราฟการเกิดของแรงดันไฟฟ้าส่วนเกินทั้งสาม PI มีค่าใกล้เคียงกันโดยที่ค่าแรงดันไฟฟ้าส่วนเกินที่ PI 63% (DN63S-1-34) มีค่าแรงดันไฟฟ้าส่วนเกินมากกว่าที่ PI 55% (DN55S-1-52) และ PI 43% (DN43S-1-72) สูงสุดประมาณ 75% (ที่ความเครียดตามแนวแกนเดียวกัน) เนื่องจากดินที่มีค่า PI สูงกว่า (PI63%) จะเกิดแรงดันไฟฟ้าส่วนเกินได้มากกว่าดินที่มีค่า PI ต่ำกว่า (PI 43%, 55%) ซึ่งเป็นผลมาจากการใช้ความถี่ที่เข้าทำให้เกิดแรงดันไฟฟ้าส่วนเกินส่วนมีเวลา build up แรงดันไฟฟ้าส่วนเกินดังนั้นจึงมีค่าแรงดันไฟฟ้าส่วนเกินมากกว่าดินที่มีค่า PI ต่ำกว่า (PI 43%, 55%)

พฤติกรรมช่วงที่สองอยู่ในช่วงความเครียดตามแนวแกนตั้งแต่ 1% จนกระทั้งตัวอย่างทดสอบบวบตืด พบร่วมค่าแรงดันไฟฟ้าส่วนเกินที่ PI 43% (DN43S-1-72) มีค่าแรงดันไฟฟ้าส่วนเกินมากกว่าที่ PI 55% (DN55S-1-52) และ PI 63% (DN63S-1-34)

เมื่อพิจารณาอิทธิพลของความถี่ที่มีต่อแรงดันไฟฟ้าส่วนเกินเมื่อเปรียบเทียบค่าแรงดันไฟฟ้าส่วนเกินที่ตัวอย่างทดสอบที่มีค่า PI ที่เท่ากัน

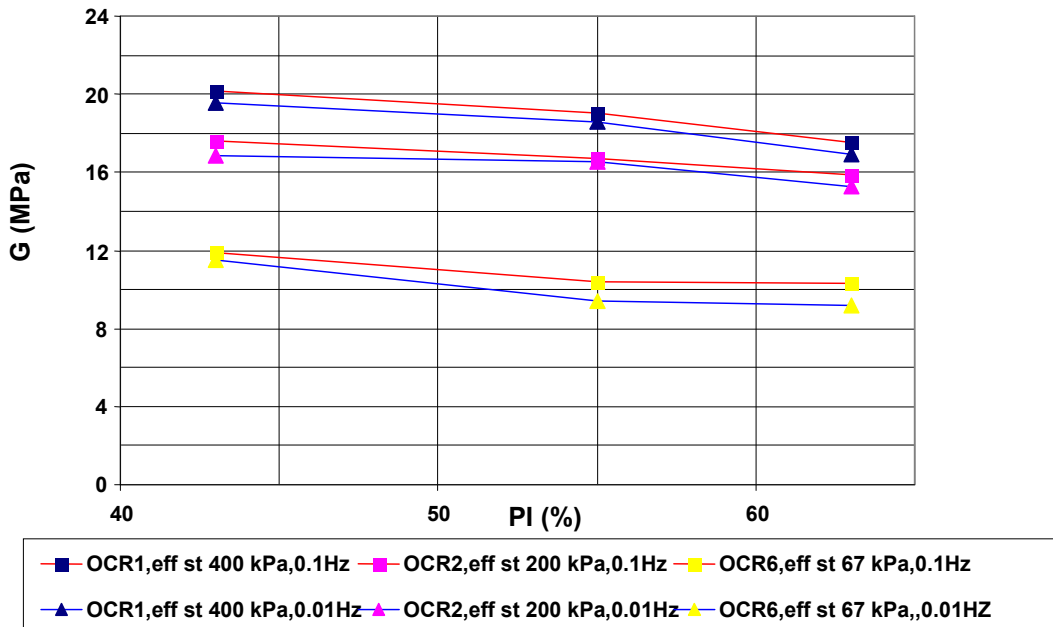
พบว่าพฤติกรรมช่วงแรกอยู่ในช่วงความเครียดตามแนวแกนน้อยกว่า 1% ค่าแรงดันไฟฟ้าส่วนเกินของกราฟที่ให้น้ำหนักแบบวัฏจักรที่ความถี่ 0.01 รอบต่อวินาที มีค่าแรงดันไฟฟ้าส่วนเกินมากกว่า หรือเท่ากับที่ความถี่ 0.1 รอบต่อวินาที โดยที่ PI 63% (DN63F-1-34) และ DN63S-1-34) กราฟที่ความถี่ 0.01 รอบต่อวินาที มากกว่าที่ความถี่ 0.1 รอบต่อวินาที สูงสุดประมาณ 130% (ที่ความเครียดตามแนวแกนเดียวกัน) ส่วนที่ PI 55% (DN55F-1-52 และ DN55S-1-52) และที่ PI 43% (DN43F-1-72 และ DN43S-1-72) ที่ความถี่ 0.01 รอบต่อวินาที มีค่าแรงดันไฟฟ้า

ส่วนเกินไกล์เคียงกันหรือเท่ากันกับที่ความถี่ 0.1 รอบต่อวินาที (ที่ความเครียดตามแนวแกนเดียวกัน)

ผลติกรรมซึ่งที่สองอยู่ในช่วงความเครียดตามแนวแกนตั้งแต่ 1% จนกระทั้งตัวอย่างทดสอบบิบิติ ค่าแรงดันไฟฟ้าส่วนเกินของการให้น้ำหนักแบบวัดจักรที่ความถี่ 0.01 รอบต่อนาที มีค่าแรงดันไฟฟ้าส่วนเกินมากกว่าที่ความถี่ 0.1 รอบต่อวินาที (ที่ความเครียดตามแนวแกนเดียวกัน) อย่างชัดเจนในทั้งทุก PI ของตัวอย่างแต่ที่ซึ่งความเครียดตามแนวแกนมีค่ามากไม่สามารถเปรียบเทียบค่าแรงดันไฟฟ้าส่วนเกินได้เนื่องจากตัวอย่างที่ความถี่ 0.1 รอบต่อนาที จะเกิดการวิบัติ ก่อนตัวอย่างที่ความถี่ 0.01 รอบต่อนาที ดังนั้นเส้นกราฟของตัวอย่างที่ความถี่ 0.1 รอบต่อนาที จึงหายไปที่ความเครียดตามแนวแกนมาก

เมื่อพิจารณาถึงความแตกต่างของค่าแรงดันไฟฟ้าส่วนเกินในชุดความถี่เดียวกันคือกราฟของ DN63S-1-34, DN55S-1-52, DN43S -1-72 (ที่ความถี่ 0.01 รอบต่อนาที) และกราฟของ DN63F-1-34, DN55F-1-52, DN43F-1-72 (ที่ความถี่ 0.1 รอบต่อนาที) พบว่าชุดกราฟของความถี่ 0.01 รอบต่อนาที เส้นกราฟค่าแรงดันไฟฟ้าส่วนเกินของทั้งสาม PI มีเส้นกราฟที่แยกตัวกัน ทำให้เห็นความแตกต่างในแต่ละ PI ที่ชัดเจนมากกว่าที่ชุดความถี่ 0.1 รอบต่อนาที (ชุดความถี่ 0.1 รอบต่อนาที กราฟทั้งสาม PI มีเส้นกราฟที่ไกล์เคียงหรือทับกันโดยในช่วงความเครียดตามแนวแกนน้อยกว่า 1% เส้นกราฟจะทับกันทั้งสาม PI)

4.9 ผลกระทบของอัตราการให้น้ำหนักเฉือนและแรงดันประสิทธิผลที่มีต่อโมดูลัสเฉือน



รูปที่ 4.18 กราฟแสดงผลการทดสอบของค่าโมดูลัสเฉือนและค่าพลาสติกซิตี้ที่ความเครียดตามแนวแกนมีค่า 0.01% โดยเปรียบเทียบผลของอิทธิพลของอัตราการให้น้ำหนักเฉือนที่อัตรา 0.1% กับ 0.01% ในตัวอย่างทดสอบที่มีค่าแรงดันประสิทธิผลที่ 400 กิโลปascal (OCR=1, Normally Consolidated Clay), 200 กิโลปascal (OCR=2, Slightly Overconsolidated Clay), และ 67 กิโลปascal (OCR=6, Heavily Overconsolidated Clay)

รูปที่ 4.18 กราฟแสดงผลการทดสอบของค่าโมดูลัสเฉือนและค่าพลาสติกซิตี้ที่ความเครียดตามแนวแกนมีค่า 0.01% โดยเปรียบเทียบผลของอิทธิพลของอัตราการให้น้ำหนักเฉือนที่อัตรา 0.1 กับ 0.01 รอบต่อนาที ในตัวอย่างทดสอบที่มีค่าพลาสติกซิตี้ 43%, 55% และ 63% ภายใต้แรงดันประสิทธิผลที่ 400, 200 และ 67 กิโลปascal พบร่วมค่าโมดูลัสเฉือนของดินที่ได้จากการทดสอบการรับน้ำหนักเฉือนแบบวัฏจักรที่อัตราการให้น้ำหนักเฉือน 0.1 กับ 0.01 รอบต่อนาที ให้ค่าโมดูลัสเฉือนที่แตกต่างกันเล็กน้อยในทุกตัวอย่างทดสอบ (ที่ค่าแรงดันประสิทธิผล 400, 200 และ 67 กิโลปascal เมื่อเปรียบเทียบที่ค่าพลาสติกซิตี้เดียวกัน) โดยที่อัตรา 0.1 รอบต่อนาที จะให้ค่าโมดูลัสเฉือนมากกว่าที่อัตรา 0.01 รอบต่อนาที ประมาณ 0.5 - 2 เมกะปascal หรือมากกว่า 1.5%-10% ในทุกค่าของโมดูลัสเฉือน (เมื่อเปรียบเทียบในดินที่ทุกแรงดันประสิทธิผล) และพฤติกรรมของค่าโมดูลัสเฉือนในดินที่ได้รับอัตราการให้น้ำหนักเฉือนที่อัตรา 0.1 และ 0.01 รอบต่อนาที มีพฤติกรรมเหมือนกันคือ โมดูลัสเฉือนจะมีลดลงเมื่อดินมีค่าพลาสติกซิตี้

มากขึ้น และค่าโมดูลัสเฉือนมากที่สุดที่พลาสติกชิตี้เดียวกันที่แรงดันประสิทธิผล 400 กิโลปascala มีค่ามากที่สุด รองลงมาคือдинที่แรงดันประสิทธิผล 200 กิโลปascala และมีค่าน้อยที่สุดคือдинที่แรงดันประสิทธิผล 67 กิโลปascala (เมื่อพิจารณาที่ดินมีค่าพลาสติกชิตี้เดียวกันคือ 43%, 55% และ 63%)

เมื่อพิจารณาพฤติกรรมของค่าพลาสติกชิตี้ที่มีต่อค่าโมดูลัสเฉือนสามารถแบ่งพิจารณา พฤติกรรมได้เป็นสองช่วงคือ ช่วงที่หนึ่งเป็นช่วงที่ดินมีค่าพลาสติกชิตี้ 43% ถึง 55% ค่าโมดูลัสเฉือนมีค่าลดลงเมื่อดินมีค่าพลาสติกชิตี้มากขึ้น โดยที่ค่าโมดูลัสเฉือนมีค่าลดลง ประมาณ 0.1-1.5 เมกะปานิลหรือลดลง 3 -14 % เมื่อเทียบกับค่าโมดูลัสเฉือนที่ค่าพลาสติกชิตี้ 43% โดยที่ค่าโมดูลัสเฉือนที่แรงดันประสิทธิผล 67 กิโลปascala มีค่าลดลงมากที่สุดคือ 1.5 เมกะปานิลหรือคิดเป็น 14% รองลงมาคือдинที่แรงดันประสิทธิผล 400 กิโลปascala มีค่าลดลงคือ 1 เมกะปานิลหรือคิดเป็น 5% และลดลงน้อยที่สุดคือдинที่แรงดันประสิทธิผล 200 กิโลปascala มีค่าลดลงคือ 0.5 เมกะปานิลหรือคิดเป็น 3% และเมื่อพิจารณาอัตราการลดลงของค่าโมดูลัสเฉือนต่อค่าพลาสติกชิตี้ พบว่าเมื่อค่าพลาสติกชิตี้เพิ่มขึ้นทุกๆ หนึ่งพลาสติกชิตี้มีผลทำให้ค่าโมดูลัสเฉือนมีอัตราลดลงเฉลี่ย 0.042-0.125 เมกะปานิล โดยที่อัตราการลดลงของค่าโมดูลัสเฉือนที่แรงดันประสิทธิผล 67 กิโลปascala มีค่าอัตราการลดลงมากที่สุดคือ 0.125 เมกะปานิลหรือคิดเป็น 1.13% ต่อการเพิ่มน้ำหนักพลาสติกชิตี้ อัตราการลดลงรองลงมาคือдинที่แรงดันประสิทธิผล 400 กิโลปascala มีค่าอัตราการลดลงคือ 0.083 เมกะปานิลหรือคิดเป็น 0.42% ต่อการเพิ่มน้ำหนักพลาสติกชิตี้ และอัตราการลดลงน้อยที่สุดคือдинที่แรงดันประสิทธิผล 200 กิโลปascala มีค่าอัตราการลดลงคือ 0.5 เมกะปานิลหรือคิดเป็น 0.25% ต่อการเพิ่มน้ำหนักพลาสติกชิตี้

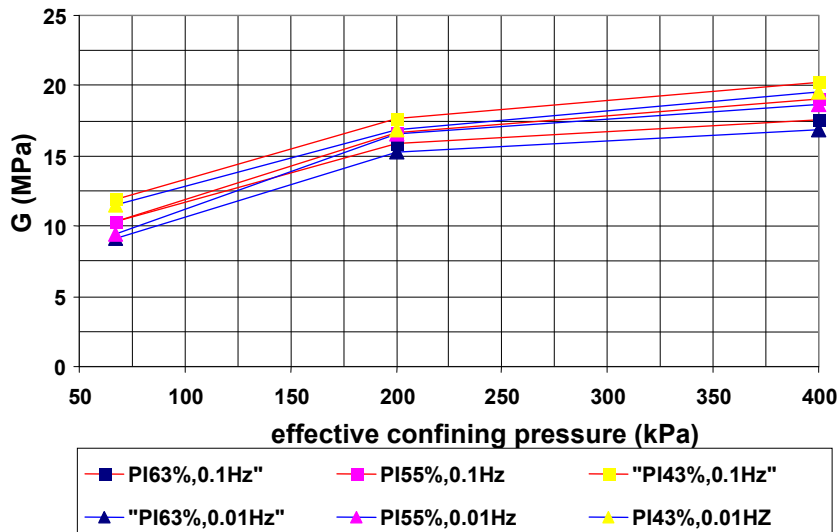
ช่วงที่สองเป็นช่วงที่ดินมีค่าพลาสติกชิตี้ 55% ถึง 63% พบว่าค่าโมดูลัสเฉือนมีค่าลดลง เมื่อดินมีค่าพลาสติกชิตี้มากขึ้น โดยที่ค่าโมดูลัสเฉือนมีค่าลดลงประมาณ 0.1-1.5 เมกะปานิลหรือลดลง 3 -9 % เมื่อเทียบกับค่าโมดูลัสเฉือนที่ค่าพลาสติกชิตี้ 55% โดยที่ค่าโมดูลัสเฉือนที่แรงดันประสิทธิผล 400 กิโลปascala มีค่าลดลงมากที่สุดคือ 1.5 เมกะปานิลหรือคิดเป็น 8% รองลงมาคือдинที่แรงดันประสิทธิผล 200 กิโลปascala มีค่าลดลงคือ 1 -1.5 เมกะปานิลหรือคิดเป็น 7% และลดลงน้อยที่สุดคือдинที่แรงดันประสิทธิผล 67 กิโลปascala มีค่าเปลี่ยนแปลงลดลงน้อยมากคือ 0.1-0.2 เมกะปานิลหรือคิดเป็น 1% และเมื่อพิจารณาอัตราการลดลงของค่าโมดูลัสเฉือนต่อค่าพลาสติกชิตี้ พบว่าเมื่อค่าพลาสติกชิตี้เพิ่มขึ้นทุกๆ หนึ่งพลาสติกชิตี้มีผลทำให้ค่าโมดูลัสเฉือนมีอัตราลดลงเฉลี่ย 0.006-0.083 เมกะปานิล โดยที่อัตราการลดลงของค่าโมดูลัสเฉือนที่แรงดันประสิทธิผล 400 กิโลปascala มีค่าอัตราการลดลงมากที่สุดคือ 0.083 เมกะปานิลหรือคิดเป็น 0.45%

ต่อการเพิ่มน้ำหนักพลาสติกซึ่ง รองลงมาคือคิดที่แรงดันประสิทธิผล 200 กิโลปascal มีค่าอัตราการลดลงคือ 0.06 เมกะบาร์สคอลหรือคิดเป็น 0.41% ต่อการเพิ่มน้ำหนักพลาสติกซึ่ง ๒ กิโลปascal มีค่าอัตราการลดลงน้อยที่สุดคือคิดที่แรงดันประสิทธิผล 67 กิโลปascal มีค่าอัตราการลดลงน้อยมากคือ 0.1 เมกะบาร์สคอลหรือคิดเป็น 0.07% ต่อการเพิ่มน้ำหนักพลาสติกซึ่งเมื่อเปรียบเทียบ พฤติกรรมของแรงดันประสิทธิผลที่มีต่อค่าโมดูลัสเฉือนหั้งสองช่วงจะพบว่า พฤติกรรมของค่าโมดูลัสเฉือนมีค่าลดลงในทุกแรงดันประสิทธิผลเมื่อพลาสติกซึ่งมีค่าเพิ่มขึ้น

ถ้าเปรียบเทียบตามสัดส่วนของค่าโมดูลัสเฉือนที่ลดลงกับค่าโมดูลัสเฉือนเริ่มต้น (คิดเป็นเปอร์เซนต์) จะพบว่าพฤติกรรมของโมดูลัสเฉือนที่ดินมีค่าพลาสติกซึ่งในช่วง 43% ถึง 55% จะมีผลทำให้ค่าโมดูลัสเฉือนลดลงอย่างมาก ในดินที่อยู่ภายใต้แรงดันประสิทธิผลที่ 67 กิโลปascal มีผลทำให้ค่าโมดูลัสเฉือนลดลงเล็กน้อยในดินที่อยู่ภายใต้แรงดันประสิทธิผลที่ 400 และ 200 กิโลปascal ส่วนในดินมีค่าพลาสติกซึ่งช่วง 55% ถึง 63% มีพฤติกรรมที่ตรงกันข้าม กับช่วงแรกคือ ค่าโมดูลัสเฉือนลดลงอย่างมาก ในดินที่อยู่ภายใต้แรงดันประสิทธิผลที่ 400 และ 200 กิโลปascal มีผลทำให้ค่าโมดูลัสเฉือนลดลงเล็กน้อยจนแทบไม่มีการเปลี่ยนแปลงในดินที่อยู่ภายใต้แรงดันประสิทธิผลที่ 67 กิโลปascal

แต่หากเปรียบเทียบอัตราการลดลงของค่าโมดูลัสเฉือนที่ลดลงต่อค่าพลาสติกซึ่งที่เพิ่มขึ้น (ความชันของกราฟ) จะพบว่าพฤติกรรมของโมดูลัสเฉือนที่ดินมีค่าพลาสติกซึ่งในช่วง 43% ถึง 55% จะมีผลทำให้ค่าโมดูลัสเฉือนลดลงอย่างมาก ในดินที่อยู่ภายใต้แรงดันประสิทธิผลที่ 400 และ 200 กิโลปascal มีผลทำให้ค่าโมดูลัสเฉือนลดลงเล็กน้อยในดินที่อยู่ภายใต้แรงดันประสิทธิผลที่ 400 และ 200 กิโลปascal ส่วนในดินมีค่าพลาสติกซึ่งช่วง 55% ถึง 63% มีพฤติกรรมที่ตรงกันข้ามกับช่วงแรกคือ ค่าโมดูลัสเฉือนลดลงอย่างมาก ในดินที่อยู่ภายใต้แรงดันประสิทธิผลที่ 67 กิโลปascal

4.10 ผลกระทบของอัตราการให้น้ำหนักเฉือนและค่าพลาสติกซิตีที่มีต่อโมดูลัสเฉือน



รูปที่ 4.19 กราฟแสดงผลการทดสอบของค่าโมดูลัสเฉือนและค่าแรงดันประสิทธิผลที่ความเครียดตามแนวแกนมีค่า 0.01% โดยเปรียบเทียบผลของอิทธิพลของอัตราการให้น้ำหนักเฉือนที่อัตรา 0.1% กับ 0.01% ในตัวอย่างทดสอบที่มีค่าพลาสติกซิตี้ 43%, 55% และ 63%

รูปที่ 4.19 กราฟแสดงผลการทดสอบของค่าโมดูลัสเฉือนและค่าแรงดันประสิทธิผลที่ความเครียดตามแนวแกนมีค่า 0.01% โดยเปรียบเทียบผลของอิทธิพลของอัตราการให้น้ำหนักเฉือนที่อัตรา 0.1 กับ 0.01 รอบต่อนาที ในตัวอย่างทดสอบที่มีค่าพลาสติกซิตี้ 43%, 55% และ 63% ภายใต้แรงดันประสิทธิผลที่ 400, 200 และ 67 กิโลปascal พบว่าค่าโมดูลัสเฉือนของดินที่ได้จากการทดสอบการรับน้ำหนักเฉือนแบบวัดจากที่อัตราการให้น้ำหนักเฉือน 0.1 กับ 0.01 รอบต่อนาที ให้ค่าโมดูลัสเฉือนที่แตกต่างกันเล็กน้อยในทุกตัวอย่างทดสอบ (ค่าพลาสติกซิตี้ 43%, 55% และ 63%) คือที่อัตรา 0.1 รอบต่อนาทีจะให้ค่าโมดูลัสเฉือนมากกว่าที่อัตรา 0.01 รอบต่อนาที ประมาณ 0.5-2 เมกะปascal หรือมากกว่าประมาณ 1.5%-10% ในทุกค่าของโมดูลัสเฉือน (ทุกแรงดันประสิทธิผล) เมื่อเปรียบเทียบค่าโมดูลัสเฉือนที่ค่าแรงดันประสิทธิผลเดียวกันพบว่า ดินที่มีค่าพลาสติกซิตี้ 43% มีค่ามากที่สุด รองลงมาคือดินที่มีค่าพลาสติกซิตี้ 55 % และในดินที่มีค่าพลาสติกซิตี้ 63% มีค่าน้อยสุด ในทุกแรงดันประสิทธิผล (400, 200 และ 67 กิโลปascal) และในทั้งอัตราการให้น้ำหนักที่ 0.01 และ 0.1 รอบต่อนาที เมื่อพิจารณาอิทธิพลของแรงดันประสิทธิผลที่มีต่อพฤติกรรมของโมดูลัสเฉือนสามารถแบ่งพิจารณาพฤติกรรมได้เป็นสองช่วงคือ

ช่วงที่หนึ่งเป็นช่วงที่ดินมีค่าในช่วงแรกดันประสิทธิผล 67 ถึง 200 กิโลป่าสคอล พบว่า พฤติกรรมของค่าไม่ดูลัสรื่นเมื่อเพิ่มขึ้นเมื่อดินมีแรงดันประสิทธิผลมากขึ้น โดยที่ค่าไม่ดูลัสรื่นเมื่อเพิ่มขึ้นประมาณ 5-7 เมกะป่าสคอลหรือเพิ่มขึ้น 46 -77 % (เปอร์เซนต์เป็นค่าไม่ดูลัสรื่นที่เพิ่มขึ้นเทียบกับค่าไม่ดูลัสรื่นเริ่มต้น) เมื่อพิจารณาค่าไม่ดูลัสรื่นสูงสุดที่แรงดันประสิทธิผล 67 และ 200 กิโลป่าสคอล สามารถเรียงลำดับค่าไม่ดูลัสรื่นจากมากที่สุดจนถึงน้อยสุดคือในดินที่มีค่าพลาสติกซิตี้ 43%, 55% และ 63% ตามลำดับทั้งที่แรงดันประสิทธิผล 67 และ 200 กิโลป่าสคอล ถ้าพิจารณาค่าการเพิ่มขึ้นของค่าไม่ดูลัสรื่นเมื่อแรงดันประสิทธิผลเพิ่มขึ้นพบว่า ค่าไม่ดูลัสรื่นที่พลาสติกซิตี้ 63 % มีค่าเพิ่มขึ้นมากที่สุดคือ 7 เมกะป่าสคอลหรือคิดเป็น 77% รองลงมาคือดินที่พลาสติกซิตี้ 55 % มีค่าเพิ่มขึ้นมากคือ 6 เมกะป่าสคอลหรือคิดเป็น 60% และเพิ่มขึ้นน้อยที่สุดคือดินที่พลาสติกซิตี้ 43 % มีค่าเพิ่มขึ้นมากคือ 5.5 เมกะป่าสคอลหรือคิดเป็น 45% (เมื่อเทียบกับค่าไม่ดูลัสรื่นเริ่มต้น) และเมื่อพิจารณาอัตราการเพิ่มขึ้นของค่าไม่ดูลัสรื่นต่อค่าแรงดันประสิทธิผลพบว่า เมื่อค่าแรงดันประสิทธิผลเพิ่มขึ้นทุกๆ หนึ่งกิโลป่าสคอลมีผลทำให้ค่าไม่ดูลัสรื่นเมื่ออัตราเพิ่มขึ้นเฉลี่ย 0.040-0.051 เมกะป่าสคอลหรือเพิ่มขึ้น 0.34%-0.56% ต่อการเพิ่มของแรงดันประสิทธิผลทุกๆ หนึ่งกิโลป่าสคอลโดยที่อัตราการเพิ่มขึ้นของค่าไม่ดูลัสรื่นในดินที่มีค่าพลาสติกซิตี้ 63% มีค่าอัตราการเพิ่มขึ้นมากที่สุดคือ 0.051 เมกะป่าสคอลหรือคิดเป็น 0.56% รองลงมาคือ ดินที่มีค่าพลาสติกซิตี้ 55% มีค่าอัตราการเพิ่มขึ้นคือ 0.046 เมกะป่าสคอลหรือคิดเป็น 0.45% และอัตราการเพิ่มขึ้นน้อยที่สุดคือดินที่มีค่าพลาสติกซิตี้ 43% มีค่าอัตราการเพิ่มขึ้น 0.040 เมกะป่าสคอลหรือคิดเป็น 0.34% (ต่อการเพิ่มของแรงดันประสิทธิผลทุกๆ หนึ่งกิโลป่าสคอล)

ช่วงที่สองเป็นช่วงที่ดินมีค่าในช่วงแรกดันประสิทธิผล 200 ถึง 400 กิโลป่าสคอล พบว่าพฤติกรรมของค่าไม่ดูลัสรื่นเมื่อเพิ่มขึ้นเมื่อดินมีแรงดันประสิทธิผลมากขึ้น โดยที่ค่าไม่ดูลัสรื่นเมื่อเพิ่มขึ้นประมาณ 2-3 เมกะป่าสคอลหรือเพิ่มขึ้น 14 -18 % (เปอร์เซนต์เป็นค่าไม่ดูลัสรื่นที่เพิ่มขึ้นเทียบกับค่าไม่ดูลัสรื่นเริ่มต้น) เมื่อพิจารณาค่าไม่ดูลัสรื่นสูงสุดที่แรงดันประสิทธิผล 200 และ 400 กิโลป่าสคอล สามารถเรียงลำดับค่าไม่ดูลัสรื่นจากมากที่สุดจนถึงน้อยสุดคือในดินที่มีค่าพลาสติกซิตี้ 43%, 55% และ 63% ตามลำดับทั้งที่แรงดันประสิทธิผล 200 และ 400 กิโลป่าสคอล ถ้าพิจารณาค่าการเพิ่มขึ้นของค่าไม่ดูลัสรื่นเมื่อแรงดันประสิทธิผลเพิ่มขึ้นพบว่า ค่าไม่ดูลัสรื่นเมื่อเพิ่มขึ้นเท่ากันในดินทั้งสาม พลาสติกซิตี้คือ 2.5 เมกะป่าสคอล แต่เมื่อเทียบกับค่าไม่ดูลัสรื่นเริ่มต้น (เปอร์เซนต์) จะได้ค่าไม่ดูลัสรื่นที่พลาสติกซิตี้ 63 % มีค่าเพิ่มขึ้นมากที่สุดคิดเป็น 18% รองลงมาคือดินที่พลาสติกซิตี้ 55 % มีค่าเพิ่มคิดเป็น 15% และเพิ่มขึ้นน้อยที่สุดคือดินที่พลาสติกซิตี้ 43 % มีค่าเพิ่มขึ้นน้อยสุดคิดเป็น 14% และเมื่อพิจารณาอัตราการเพิ่มขึ้นของค่าไม่ดูลัสรื่นต่อ

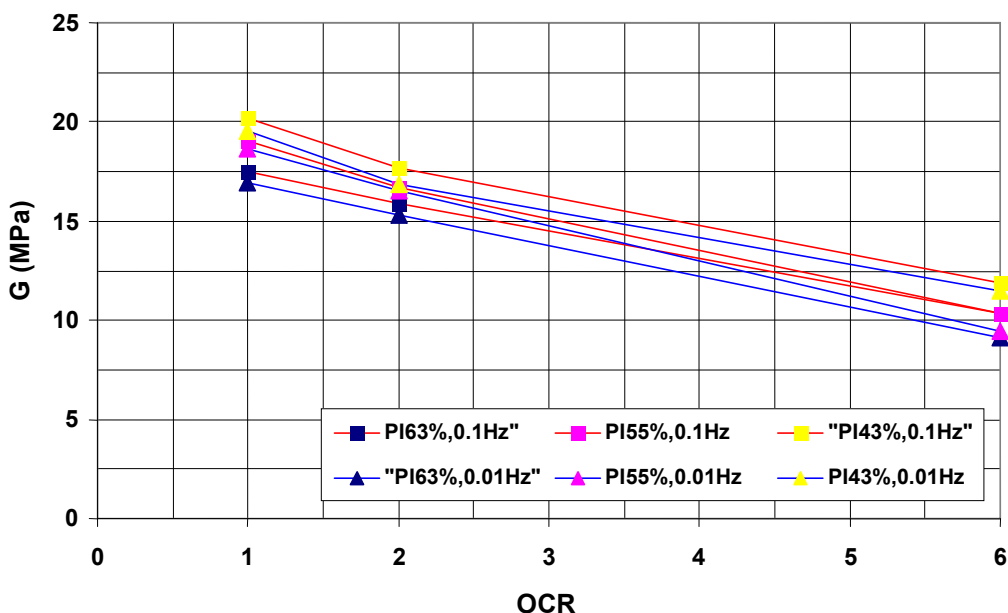
ค่าแรงดันประสิทธิผลพบว่า เมื่อค่าแรงดันประสิทธิผลเพิ่มขึ้นทุกๆ หนึ่งกิโลปascals มีผลทำให้ค่าโมดูลัสเนื่องมือตัวเพิ่มขึ้นเฉลี่ย 0.0125 เมกะปascals หรือเพิ่มขึ้น 0.07%-0.085%

โดยที่อัตราการเพิ่มขึ้นของค่าโมดูลัสเนื่องในเดือนมีค่าอัตราการเพิ่มขึ้นเท่ากันทั้งสามพลาสติกซิตี้คือ 0.0125 เมกะปascals เมื่อเทียบกับค่าโมดูลัสเนื่องเริ่มต้น (เปอร์เซ็นต์) จะได้อัตราการเพิ่มของค่าโมดูลัสเนื่องต่อการเพิ่มแรงดันประสิทธิผลหนึ่งกิโลปascals จะได้ว่า ที่เดือนพลาสติกซิตี้ 63 % มีอัตราการเพิ่มมากที่สุดคิดเป็น 0.085% รองลงมาคือเดือนที่พลาสติกซิตี้ 55 % มีอัตราการเพิ่มคิดเป็น 0.075% และอัตราการเพิ่มขึ้นน้อยที่สุดคือเดือนที่พลาสติกซิตี้ 43 % มีค่าเพิ่มขึ้นน้อยสุดคิดเป็น 0.070%

พิจารณาอิทธิพลของแรงดันประสิทธิผลทั้งหมด (แรงดันประสิทธิผล 67 ถึง 400 กิโลปascals) ที่มีต่อพฤติกรรมของโมดูลัสเนื่องพบว่า พฤติกรรมของค่าโมดูลัสเนื่อง มีค่าเพิ่มขึ้นเมื่อเดือนได้รับแรงดันประสิทธิผลมากขึ้น เมื่อพิจารณาค่าโมดูลัสเนื่องที่ค่าแรงดันประสิทธิผล 67 กับ 400 กิโลปascals ค่าโมดูลัสเนื่องที่ค่าแรงดันประสิทธิผล 400 กิโลปascals มีค่ามากกว่า 8 - 10 เมกะปascals หรือเพิ่มขึ้น 67-95 % เมื่อเทียบกับค่าโมดูลัสเนื่องที่แรงดันประสิทธิผล 67 กิโลปascals โดยที่ค่าโมดูลัสเนื่องที่เพิ่มขึ้นจะเพิ่มขึ้นอย่างมากในช่วงแรงดันประสิทธิผลจาก 67 ถึง 200 กิโลปascals คือเพิ่มขึ้น 65% – 80% ของค่าโมดูลัสเนื่องทั้งหมดที่เพิ่มขึ้นและเพิ่มขึ้นอีก 20%-35% ในช่วงแรงดันประสิทธิผลจาก 200 ถึง 400 กิโลปascals ซึ่งจากการภาพที่ 4.14 ผลการทดสอบจะเห็นได้ว่ากราฟค่าโมดูลัสเนื่อง ในช่วงแรงดันประสิทธิผลที่ 67 ถึง 200 กิโลปascals มีความชันมากกว่า ช่วงแรงดันประสิทธิผล 200 ถึง 400 กิโลปascals ซึ่งแสดงถึงพฤติกรรมของอิทธิพลของแรงดันประสิทธิผลที่มีต่อพฤติกรรมของโมดูลัสเนื่องมีอัตราการเปลี่ยนแปลงของค่าโมดูลัสเนื่องที่เพิ่มขึ้นมากกว่า (ความชันมากกว่า)

เมื่อเปรียบเทียบค่าโมดูลัสเนื่องที่ค่าแรงดันประสิทธิผลเดียวกันพบว่า ดินที่มีค่าพลาสติกซิตี้ 43% มีค่ามากที่สุด รองลงมาคือเดือนที่มีค่าพลาสติกซิตี้ 55 % และในเดือนที่มีค่าพลาสติกซิตี้ 63% มีค่าน้อยสุด ในทุกแรงดันประสิทธิผล (400, 200 และ 67 กิโลปascals) และในทั้งอัตราการให้น้ำหนักที่ 0.01 และ 0.1 รอบต่อนาที

4.11 ผลกระทบของอัตราการให้น้ำหนักเฉือนและค่าสัดส่วนการอัดแน่นเกินตัวที่มีต่อโมดูลัสเฉือน



รูปที่ 4.20 กราฟแสดงผลการทดสอบของค่าโมดูลัสเฉือน (G) และค่าสัดส่วนการอัดแน่นเกินตัว (OCR) ที่ความเครียดตามแนวแกนมีค่า 0.01% โดยเปรียบเทียบผลของอิทธิพลของอัตราการให้น้ำหนักเฉือนที่อัตรา 0.1% กับ 0.01% ในตัวอย่างทดสอบที่มีค่าพลาสติกซึ่ง 43%, 55% และ 63% ภายใต้ค่าสัดส่วนการอัดแน่นเกินตัวที่ 1 (ดินเหนียวในสภาพ Normally Consolidated Clay), 2 (ดินเหนียวในสภาพ Slightly Overconsolidated Clay) และ 6 (ดินเหนียวในสภาพ Heavily Overconsolidated Clay) พบร่วมกับค่าโมดูลัสเฉือนของดินที่ได้จากการทดสอบการรับน้ำหนักเฉือนแบบวัฏจักรที่อัตราการให้น้ำหนักเฉือน 0.1 กับ 0.01 รอบต่อนาที ให้ค่าโมดูลัสเฉือนที่แตกต่างกันเล็กน้อยในทุกตัวอย่างคือที่อัตรา 0.1 รอบต่อนาทีจะให้ค่าโมดูลัสเฉือนมากกว่าที่อัตรา 0.01 รอบต่อนาที ประมาณ 0.5-2 เมกะบาร์คลาหรือมากกว่าประมาณ 1.5%-10% ในทุกค่าของโมดูลัสเฉือน (ทุกค่าสัดส่วนการอัดแน่นเกินตัวเดียวกันพบว่า ดินที่มีค่าพลาสติกซึ่ง 43% มีค่ามากที่สุด รองลงมาคือดินที่มีค่าพลาสติกซึ่ง 55% และในดินที่มีค่าพลาสติกซึ่ง 63% มีค่าน้อยสุด

รูปที่ 4.20 กราฟแสดงผลการทดสอบของค่าโมดูลัสเฉือน (G) และค่าสัดส่วนการอัดแน่นเกินตัว (OCR) ที่ความเครียดตามแนวแกนมีค่า 0.01% โดยเปรียบเทียบผลของอิทธิพลของอัตราการให้น้ำหนักเฉือนที่อัตรา 0.1% กับ 0.01% ในตัวอย่างทดสอบที่มีค่าพลาสติกซึ่ง 43%, 55% และ 63% ภายใต้ค่าสัดส่วนการอัดแน่นเกินตัวที่ 1 (ดินเหนียวในสภาพ Normally Consolidated Clay), 2 (ดินเหนียวในสภาพ Slightly Overconsolidated Clay) และ 6 (ดินเหนียวในสภาพ Heavily Overconsolidated Clay) พบร่วมกับค่าโมดูลัสเฉือนของดินที่ได้จากการทดสอบการรับน้ำหนักเฉือนแบบวัฏจักรที่อัตราการให้น้ำหนักเฉือน 0.1 กับ 0.01 รอบต่อนาที ให้ค่าโมดูลัสเฉือนที่แตกต่างกันเล็กน้อยในทุกตัวอย่างคือที่อัตรา 0.1 รอบต่อนาทีจะให้ค่าโมดูลัสเฉือนมากกว่าที่อัตรา 0.01 รอบต่อนาที ประมาณ 0.5-2 เมกะบาร์คลาหรือมากกว่าประมาณ 1.5%-10% ในทุกค่าของโมดูลัสเฉือน (ทุกค่าสัดส่วนการอัดแน่นเกินตัวเดียวกันพบว่า ดินที่มีค่าพลาสติกซึ่ง 43% มีค่ามากที่สุด รองลงมาคือดินที่มีค่าพลาสติกซึ่ง 55% และในดินที่มีค่าพลาสติกซึ่ง 63% มีค่าน้อยสุด

ในทุกค่าสัดส่วนการอัดแน่นเกินตัวและในทั้งอัตราการให้น้ำหนักที่ 0.01 และ 0.1 รอบต่อนาที พิจารณาพฤติกรรมของโมดูลัสเนื้องจากอิทธิพลของอัตราการน้ำหนักแสดงให้เห็นว่า พฤติกรรมของโมดูลัสเนื้อมีค่าลดลงเมื่อค่าสัดส่วนการอัดแน่นเกินตัวเพิ่มขึ้นและพฤติกรรมนี้เกิด ในทั้งอัตราการให้น้ำหนักที่ 0.01 และ 0.1 รอบต่อนาที

เมื่อพิจารณาอิทธิพลของค่าสัดส่วนการอัดแน่นเกินตัวที่มีต่อพฤติกรรมของโมดูลัสเนื้องจากความสามารถแบ่งพิจารณาพฤติกรรมได้เป็นสองช่วงคือ

ช่วงที่หนึ่งเป็นช่วงที่ดินมีค่าในช่วงค่าสัดส่วนการอัดแน่นเกินตัวมีค่าจาก 1 ถึง 2 (динอยู่ภายใต้แรงดันประสิทธิผลที่ลดลงหนึ่งเท่า) พบว่าพฤติกรรมของค่าโมดูลัสเนื้อมีค่าลดลง เมื่อดินมีค่าสัดส่วนการอัดแน่นเกินตัวมากขึ้น โดยที่ค่าโมดูลัสเนื้อมีค่าลดลง 1-3 เมกะปascal หรือลดลง 5 -15 % (เบอร์เซนต์เป็นค่าโมดูลัสเนื้อที่เพิ่มขึ้นเทียบกับค่าโมดูลัสเนื้องเริ่มต้น) เมื่อพิจารณาค่าโมดูลัสเนื้องจากมากที่สุดจนถึงน้อยสุดคือในдинที่มีค่าพลาสติกซิตี้ 43%, 55% และ 63% ตามลำดับทั้งที่ค่าสัดส่วนการอัดแน่นเกินตัวมีค่าจาก 1 และ 2 ถ้าพิจารณาค่าการลดลงของค่าโมดูลัสเนื้องค่าสัดส่วนการอัดแน่นเกินตัวมีเพิ่มขึ้นพบว่า ค่าโมดูลัสเนื้องที่พลาสติกซิตี้ 43% และ 55% มีค่าลดลงเท่ากันคือ 2.5 เมกะปascal หรือคิดเป็น 12.5%-13.5% ตามลำดับ และลดลงน้อยที่สุดคือในที่พลาสติกซิตี้ 63% มีค่าลดลง 2 เมกะปascal หรือคิดเป็น 11% (เมื่อเทียบกับค่าโมดูลัสเนื้องเริ่มต้น) และเมื่อพิจารณาอัตราการลดลงของค่าโมดูลัสเนื้องต่อค่าสัดส่วนการอัดแน่นเกินตัวที่เพิ่มขึ้นจะได้อัตราการลดลงค่าโมดูลัสเนื้อที่พลาสติกซิตี้ 43% และ 55% มีอัตราการลดลงเท่ากันคือ 2.5 เมกะปascal หรือคิดเป็น 12.5%-13.5% ตามลำดับ และอัตราการลดลงน้อยที่สุดคือในที่พลาสติกซิตี้ 63% มีค่าลดลง 2 เมกะปascal หรือคิดเป็น 11% (เมื่อค่าสัดส่วนการอัดแน่นเกินตัวเพิ่มขึ้นหนึ่งเท่าตัว)

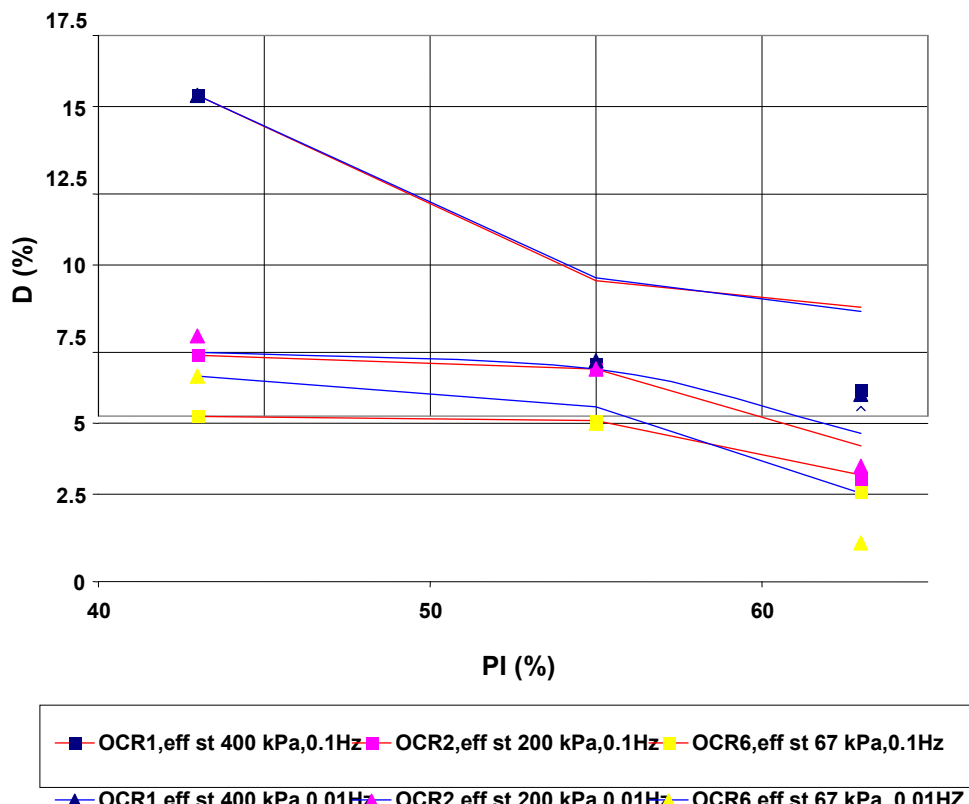
ช่วงที่สองค่าสัดส่วนการอัดแน่นเกินตัวมีค่าจาก 2 ถึง 6 (динอยู่ภายใต้แรงดันประสิทธิผลที่ลดลงสองเท่าเป็นหนึ่งเท่าพบว่า พฤติกรรมของค่าโมดูลัสเนื้อมีค่าลดลงเมื่อดินมีค่าสัดส่วนการอัดแน่นเกินตัวมากขึ้น โดยที่ค่าโมดูลัสเนื้อมีค่าลดลงประมาณ 5-8 เมกะปascal หรือลดลง 30 -47 % (เบอร์เซนต์เป็นค่าโมดูลัสเนื้อที่เพิ่มขึ้นเทียบกับค่าโมดูลัสเนื้องเริ่มต้น) เมื่อพิจารณาค่าโมดูลัสเนื้องจากมากที่สุดจนถึงน้อยสุดคือในдинที่มีค่าพลาสติกซิตี้ 43%, 55% และ 63% ตามลำดับทั้งที่ค่าสัดส่วนการอัดแน่นเกินตัวที่ 2 และ 6 สามารถเรียงลำดับค่าโมดูลัสเนื้องจากมากที่สุดคือในdinที่พลาสติกซิตี้ 63% มีค่าลดลงมากที่สุดคือ 7.5 เมกะปascal หรือคิดเป็น 47% รองลงมาคือในdinที่พลาสติกซิตี้ 55% มีค่าลดลงมากคือ 6.5 เมกะปascal หรือคิดเป็น 40% และเพิ่มขึ้นน้อยที่สุดคือในdinที่

พลาสติกซีตี้ 43 % มีค่าเพิ่มขึ้นมากคือ 5.5 เมกะบาทต่อคิดเป็น 31% (เมื่อเทียบกับค่าไมดูลลัสเดือนเริ่มต้น) และเมื่อพิจารณาอัตราการลดลงของค่าไมดูลลัสเดือนต่อค่าสัดส่วนการอัดแน่นเกินตัวที่เพิ่มขึ้นมีผลทำให้ค่าไมดูลลัสเดือนมีอัตราลดลง 1.37-1.63 เมกะบาทต่อคิดเป็น 7.85%-11.73% ต่อการเพิ่มเมื่อค่าสัดส่วนการอัดแน่นเกินตัวเพิ่มขึ้นหนึ่งเท่าตัว โดยที่อัตราการลดลงของค่าไมดูลลัสเดือนในเดือนที่มีค่าพลาสติกซีตี้ 63% และ 55% มีค่าอัตราการลดลงเท่ากันคือ 1.63 เมกะบาทต่อคิดเป็น 11.73% และอัตราการลดลงน้อยที่สุดคือเดือนที่มีค่าพลาสติกซีตี้ 43% มีค่าอัตราการลดลง 1.37 เมกะบาทต่อคิดเป็น 7.85% (เมื่อค่าสัดส่วนการอัดแน่นเกินตัวเพิ่มขึ้นหนึ่งเท่าตัว)

พิจารณาอิทธิพลของค่าสัดส่วนการอัดแน่นเกินตัวทั้งหมด (ค่าสัดส่วนการอัดแน่นเกินตัวมีค่าจาก 1 ถึง 6) ที่มีต่อพฤติกรรมของไมดูลลัสเดือนพบว่า พฤติกรรมของค่าไมดูลลัสเดือนมีค่าลดลงเมื่อเดือนมีค่าสัดส่วนการอัดแน่นเกินตัวเพิ่มขึ้น

เมื่อพิจารณาค่าไมดูลลัสเดือนที่ค่าสัดส่วนการอัดแน่นเกินตัวที่ 1 มีค่ามากกว่า 8 – 9.5 เมกะบาทต่อคิด 40-53 % เมื่อเทียบกับค่าสัดส่วนการอัดแน่นเกินตัวที่ 6 โดยที่ค่าไมดูลลัสเดือนที่ลดลงประมาณ 25%-30% ในช่วงค่าสัดส่วนการอัดแน่นเกินตัวที่ 1 ถึง 2 และลดลงอย่างมากประมาณ 70%-75% ในช่วงค่าสัดส่วนการอัดแน่นเกินตัวที่ 2 ถึง 6 แต่หากพิจารณาเปอร์เซนต์การลดลงต่อการเพิ่มเมื่อค่าสัดส่วนการอัดแน่นเกินตัวที่เพิ่มขึ้นหนึ่งเท่าตัว จากราฟฟูปที่ 4.15 ผลกระทบจะเห็นได้ว่าрафค่าไมดูลลัสเดือนในช่วงค่าสัดส่วนการอัดแน่นเกินตัวที่ 1 ถึง 2 และช่วงค่าสัดส่วนการอัดแน่นเกินตัวที่ 2 ถึง 6 กราฟที่ได้มีความชันใกล้เคียงกันซึ่งแสดงถึงพฤติกรรมของอิทธิพลของค่าสัดส่วนการอัดแน่นเกินตัวที่มีต่อพฤติกรรมของไมดูลลัสเดือนมีอัตราการเปลี่ยนแปลงของค่าไมดูลลัสเดือนมีค่าลดลงเท่าๆ กัน สำหรับการเพิ่มขึ้นของค่าสัดส่วนการอัดแน่นเกินตัวในช่วงที่มีค่า 1 ถึง 2 มีอิทธิพลกับเดือนที่มีค่าพลาสติกซีตี้ 43% และ 55% ทำให้พฤติกรรมค่าไมดูลลัสเดือนมีค่าลดลงมากกว่าในเดือนที่มีค่าพลาสติกซีตี้ 63% ส่วนในช่วงค่าสัดส่วนการอัดแน่นเกินตัวที่มีค่า 2 ถึง 6 มีอิทธิพลกับเดือนที่มีค่าพลาสติกซีตี้ 63% ทำให้พฤติกรรมค่าไมดูลลัสเดือนมีค่าลดลงมากกว่าในเดือนที่มีค่าพลาสติกซีตี้ 43% และ 63%

4.12 ผลกระทบของอัตราการให้น้ำหนักเฉือนและแรงดันประสิทธิผลที่มีต่อค่าแคมปิง



รูปที่ 4.21 กราฟแสดงผลการทดสอบของค่าแคมปิงและค่าพลาสติกซิตี้ที่ความเครียดตามแนวแกนมีค่า 0.01% โดยเปรียบเทียบผลของอิทธิพลของอัตราการให้น้ำหนักเฉือนที่อัตรา 0.1% กับ 0.01% ในตัวอย่างทดสอบที่มีค่าแรงดันประสิทธิผลที่ 400 กิโลปascal (OCR=1, Normally Consolidated Clay), 200 กิโลปascal(OCR=2)

รูปที่ 4.21 กราฟแสดงผลการทดสอบของค่าแคมปิงและค่าพลาสติกซิตี้ที่ความเครียดตามแนวแกนมีค่า 0.01% โดยเปรียบเทียบผลของอิทธิพลของอัตราการให้น้ำหนักเฉือนที่อัตรา 0.1 กับ 0.01 รอบต่อนาที ในตัวอย่างทดสอบที่มีค่าพลาสติกซิตี้ 43%, 55% และ 63% ภายใต้แรงดันประสิทธิผลที่ 400, 200 และ 67 กิโลปascal พบร่วมกับค่าแคมปิงของดินที่ได้จากการทดสอบการรับน้ำหนักเฉือนแบบวัฏจักรที่อัตราการให้น้ำหนักเฉือน 0.1 กับ 0.01 รอบต่อนาที ให้ค่าแคมปิงที่มีค่าเท่ากันโดยเฉพาะอย่างยิ่งในดินภายใต้แรงดันประสิทธิผลที่ 400 กิโลปascal เส้นกราฟของค่าโมดูลัสเฉือนจากการทดสอบการรับน้ำหนักเฉือนแบบวัฏจักรที่อัตราการให้น้ำหนักเฉือน 0.1 และ 0.01 รอบต่อนาที ที่ได้จะทับกัน (มีค่าเท่ากัน) ในทุกพลาสติกซิตี้ (43%, 55% และ 63%) ในดินภายใต้แรงดันประสิทธิผลที่ 200 กิโลปascal กราฟทั้งสองจะทับกันในช่วงพลาสติกซิตี้ 43%

และ 55% แต่จะแตกต่างกันเล็กน้อยที่ดินมีค่าพลาสติกซิตี้ 63% ส่วนในดินภายในต์แรงดันประสิทธิผลที่ 67 กิโลปascal ที่ดินมีค่าพลาสติกซิตี้ 43% เส้นกราฟของค่าแเดมปิงจากการทดสอบการรับน้ำหนักเฉือนแบบวัฏจักรที่อัตราการให้น้ำหนักเฉือน 0.01 รอบต่อนาที มีค่ารับน้ำหนักเฉือนแบบวัฏจักรที่อัตราการให้น้ำหนักเฉือน 0.01 รอบต่อนาที แต่ที่ดินที่ดินมีค่าพลาสติกซิตี้ 63% มีพฤติกรรมตรงข้ามกันคือ เส้นกราฟของค่าแเดมปิงจากการทดสอบการรับน้ำหนักเฉือนแบบวัฏจักรที่อัตราการให้น้ำหนักเฉือน 0.01 รอบต่อนาที มีค่าน้อยกว่าที่ 0.1 รอบต่อนาที และที่ดินมีค่าพลาสติกซิตี้ 55% กราฟที่ได้มีค่าเท่ากันตั้งนั้นจะเห็นได้ว่ากราฟพฤติกรรมของค่าแเดมปิงจากการทดสอบการรับน้ำหนักเฉือนแบบวัฏจักรที่อัตราการให้น้ำหนักเฉือน 0.01 กับ 0.1 รอบต่อนาที จะมีค่าเท่ากันเมื่ออุ่นภายนอกต่อแรงดันประสิทธิผลสูง (400 และ 200 กิโลปascal) และไม่ชัดเจนว่าค่าแเดมปิงในอัตราการให้น้ำหนักได้สูงกว่าเมื่ออุ่นภายนอกต่อแรงดันประสิทธิผลต่ำ (67 กิโลปascal)

อิทธิพลของค่าพลาสติกซิตี้ที่เพิ่มขึ้นที่มีต่อค่าแเดมปิงในดินที่ได้รับอัตราการให้น้ำหนักเฉือนที่อัตรา 0.1 และ 0.01 รอบต่อนาทีมีพฤติกรรมเช่นเดียวกันในทั้งสองอัตราการให้น้ำหนักเฉือนคือ แเดมปิงจะมีค่าลดลงเมื่อดินมีค่าพลาสติกซิตี้มากขึ้นและเมื่อพิจารณาดินที่ค่าพลาสติกซิตี้เดียวกันคือ 43%, 55% และ 63% ค่าแเดมปิงมีค่ามากที่สุดที่พลาสติกซิตี้เดียวกันคือที่แรงดันประสิทธิผล 400 กิโลปascal รองลงมาคือดินที่แรงดันประสิทธิผล 200 กิโลปascal และมีค่าน้อยที่สุดคือดินที่แรงดันประสิทธิผล 67 กิโลปascal

เมื่อพิจารณาพฤติกรรมของค่าพลาสติกซิตี้ที่มีต่อค่าแเดมปิงสามารถแบ่งพิจารณาพฤติกรรมได้เป็นสองช่วงคือ ช่วงที่หนึ่งเป็นช่วงที่ดินมีค่าพลาสติกซิตี้ 43% ถึง 55% ค่าแเดมปิงมีค่าลดลงเมื่อดินมีค่าพลาสติกซิตี้มากขึ้นโดยที่ค่าแเดมปิงมีค่าลดลงประมาณ 0.5-8.5 เปอร์เซนต์หรือลดลง 7 -55 % เมื่อเทียบกับค่าแเดมปิงเริ่มต้น โดยที่ค่าแเดมปิงที่แรงดันประสิทธิผล 400 กิโลปascal มีค่าลดลงมากที่สุดคือ 8.5 เปอร์เซนต์หรือเมื่อเทียบกับค่าแเดมปิงเริ่มต้นคิดเป็น 55% รองลงมาคือดินที่แรงดันประสิทธิผล 67 กิโลปascal มีค่าลดลงคือ 1.5 เปอร์เซนต์หรือคิดเป็น 23% ของแเดมปิงเริ่มต้นและลดลงน้อยที่สุดคือดินที่แรงดันประสิทธิผล 200 กิโลปascal มีค่าลดลงคือ 0.5 เปอร์เซนต์หรือคิดเป็น 7% ของแเดมปิงเริ่มต้นและเมื่อพิจารณาอัตราการลดลงของค่าแเดมปิงต่อค่าพลาสติกซิตี้พบว่าเมื่อค่าพลาสติกซิตี้เพิ่มขึ้นทุกๆ หนึ่งพลาสติกซิตี้มีผลทำให้ค่าแเดมปิงมีอัตราลดลงเฉลี่ย 0.042-0.71 เปอร์เซนต์ต่อการเพิ่มน้ำหนักพลาสติกซิตี้ โดยที่อัตราการลดลงของค่าแเดมปิงที่แรงดันประสิทธิผล 400 กิโลปascal มีค่าอัตราการลดลงมากที่สุดคือ 0.71 เปอร์เซนต์ต่อการเพิ่มน้ำหนักพลาสติกซิตี้หรือเมื่อเทียบกับค่าแเดมปิงเริ่มต้นคิดเป็น 4.58 เปอร์เซนต์ต่อหนึ่งพลาสติกซิตี้ อัตราการลดลงรองลงมาคือดินที่แรงดันประสิทธิผล 67 กิโลปascal มีค่าอัตราการลดลงคือ 0.125 เปอร์เซนต์ต่อการเพิ่มน้ำหนักพลาสติกซิตี้หรือเมื่อเทียบกับค่าแเดมปิงเริ่มต้นคิดเป็น 1.92 เปอร์เซนต์ต่อหนึ่งพลาสติกซิตี้และอัตราการลดลงน้อยที่สุดคือดิน

ที่แรงดันประสิทธิผล 200 กิโลปascalm มีค่าอัตราการลดลงคือ 0.042 เปอร์เซนต์ต่อการเพิ่มน้ำหนัก
พลาสติกซึ่งหรือเมื่อเทียบกับค่าแเดมปิงเริ่มต้นคิดเป็น 0.58 เปอร์เซนต์ต่อหนึ่งพลาสติกซึ่ง

ซึ่งที่สองเป็นซึ่งที่ดินมีค่าพลาสติกซึ่ง 55% ถึง 63% พบร้าพุติกรรมของค่าแเดมปิงมี
ค่าลดลงเมื่อดินมีค่าพลาสติกซึ่งมากขึ้น โดยที่ค่าแเดมปิงมีค่าลดลงประมาณ 1.5-4.0
เปอร์เซนต์หรือลดลง 22 -80% เมื่อเทียบกับค่าแเดมปิงเริ่มต้น โดยที่ค่าแเดมปิงที่แรงดัน
ประสิทธิผล 67 กิโลปascalm มีค่าลดลงมากที่สุดคือ 4 เปอร์เซนต์หรือเมื่อเทียบกับค่าแเดมปิง
เริ่มต้น คิดเป็น 80% รองลงมาคือดินที่แรงดันประสิทธิผล 200 กิโลปascalm มีค่าลดลงคือ 4
เปอร์เซนต์หรือคิดเป็น 57% และลดลงน้อยที่สุดคือดินที่แรงดันประสิทธิผล 400 กิโลปascalm มี
ค่าลดลง 1.5 เปอร์เซนต์หรือคิดเป็น 22% และเมื่อพิจารณาอัตราการลดลงของค่าแเดมปิงต่อ
ค่าพลาสติกซึ่งพบร้าพุติกรรมว่าเมื่อค่าพลาสติกซึ่งเพิ่มขึ้นทุกๆ หนึ่งพลาสติกซึ่งมีผลทำให้ค่าแเดมปิงมีอัตรา²
ลดลงเฉลี่ย 0.19-0.5 เปอร์เซนต์ต่อการเพิ่มน้ำหนึ่งพลาสติกซึ่ง โดยที่อัตราการลดลงของ
ค่าแเดมปิงที่แรงดันประสิทธิผล 400 กิโลปascalm มีค่าอัตราการลดลงมากที่สุดคือ 0.5 เปอร์เซนต์
ต่อการเพิ่มน้ำหนึ่งพลาสติกซึ่งหรือเมื่อเทียบกับค่าแเดมปิงเริ่มต้นคิดเป็น 10 เปอร์เซนต์ต่อหนึ่งพลาสติก
ซึ่ง รองลงมาคือดินที่แรงดันประสิทธิผล 200 กิโลปascalm มีค่าอัตราการลดลงคือ 0.5
เปอร์เซนต์ต่อการเพิ่มน้ำหนึ่งพลาสติกซึ่งหรือเมื่อเทียบกับค่าแเดมปิงเริ่มต้นคิดเป็น 7.13 เปอร์เซนต์ต่อ
หนึ่งพลาสติกซึ่ง และอัตราการลดลงน้อยที่สุดคือดินที่แรงดันประสิทธิผล 67 กิโลปascalm มีค่าอัตรา³
การลดลง 0.19 เปอร์เซนต์ต่อการเพิ่มน้ำหนึ่งพลาสติกซึ่งหรือเมื่อเทียบกับค่าแเดมปิงเริ่มต้น
คิดเป็น 2.75 เปอร์เซนต์ต่อหนึ่งพลาสติกซึ่ง

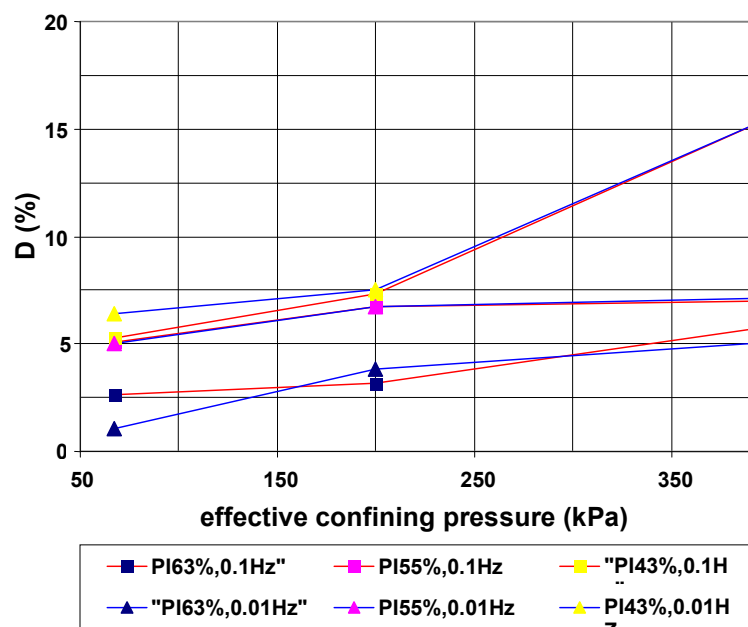
ถ้าเปรียบเทียบตามสัดส่วนของค่าแเดมปิงที่ลดลงกับค่าแเดมปิงเริ่มต้น (คิดเป็นเปอร์เซนต์)
จะพบร้าพุติกรรมของแเดมปิงที่ดินมีค่าพลาสติกซึ่งในซึ่ง 43% ถึง 55% จะมีผลทำให้ค่าแเดมปิง⁴
ลดลงอย่างมากในดินที่อยู่ภายใต้แรงดันประสิทธิผลที่ 400 กิโลปascalm คือลดลง 85% เมื่อเทียบกับ
การลดลงทั้งหมด มีผลทำให้ค่าแเดมปิงลดลงเล็กน้อยในดินที่อยู่ภายใต้แรงดันประสิทธิผลที่ 67
และ 200 กิโลปascalm คือลดลง 25% และ 11% ตามลำดับ (เมื่อเทียบกับการลดลงทั้งหมด)

ส่วนในดินมีค่าพลาสติกซึ่ง 55% ถึง 63% มีพุติกรรมที่ตรงกันข้ามกับซึ่งแรกคือ ค่าแเดมปิง⁵
ลดลงอย่างมากในดินที่อยู่ภายใต้แรงดันประสิทธิผลที่ 67 และ 200 กิโลปascalm คือ เมื่อเทียบกับ
การลดลงทั้งหมดจะลดลง 75% และ 89% ตามลำดับ มีผลทำให้ค่าแเดมปิงลดลงเล็กน้อยในดินที่
อยู่ภายใต้แรงดันประสิทธิผลที่ 400 กิโลปascalm คือลดลง 15% เมื่อเทียบกับการลดลงทั้งหมด

เมื่อพิจารณาพุติกรรมอัตราการลดลงของค่าแเดมปิงโดยเปรียบเทียบอัตราการลดลงของ
ค่าแเดมปิงที่ลดลงต่อค่าพลาสติกซึ่งที่เพิ่มขึ้น (ความชันของกราฟ) จะพบร้าพุติกรรมของแเดมปิง
ที่ดินมีค่าพลาสติกซึ่งในซึ่ง 43% ถึง 55% จะมีผลทำให้ค่าแเดมปิงลดลงอย่างมาก ในดินที่อยู่

ภายในได้แรงดันประสิทธิผลที่ 400 กิโลปascala นีผลทำให้ค่าแเดมปิงลดลงน้อยในดินที่อยู่ภายใต้แรงดันประสิทธิผลที่ 67 และ 200 กิโลปascala ส่วนในดินมีค่าพลาสติกซิตี้ช่วง 55% ถึง 63% มีพัฒนารุ่นที่ตรงกันข้ามกับช่วงแรกคือ ค่าแเดมปิงลดลงอย่างมากในดินที่อยู่ภายใต้แรงดันประสิทธิผลที่ 67 และ 200 กิโลปascala แต่ค่าแเดมปิงลดลงน้อยในดินที่อยู่ภายใต้แรงดันประสิทธิผลที่ 400 กิโลปascala

4.13 ผลกระทบของอัตราการให้น้ำหนักเฉือนและค่าพลาสติกซิตี้ที่มีต่อค่าแเดมปิง



รูปที่ 4.22 กราฟแสดงผลการทดสอบของค่าแเดมปิงและค่าแรงดันประสิทธิผลที่ความเครียดตามแนวแกนมีค่า 0.01% โดยเปรียบเทียบผลของอิทธิพลของอัตราการให้น้ำหนักเฉือนที่อัตรา 0.1% กับ 0.01% ในตัวอย่างทดสอบที่มีค่าพลาสติกซิตี้ 43%, 55% และ 63%

รูปที่ 4.22 กราฟแสดงผลการทดสอบของค่าแเดมปิงและค่าแรงดันประสิทธิผลที่ความเครียดตามแนวแกนมีค่า 0.01% โดยเปรียบเทียบผลของอิทธิพลของอัตราการให้น้ำหนักเฉือนที่อัตรา 0.1 กับ 0.01 รอบต่อนาที ในตัวอย่างทดสอบที่มีค่าพลาสติกซิตี้ 43%, 55% และ 63% ภายใต้แรงดันประสิทธิผลที่ 400, 200 และ 67 กิโลปascala พบร่วมค่าแเดมปิงของดินที่ได้จากการทดสอบการรับ

น้ำหนักเฉือนแบบวัดจักรที่อัตราการให้น้ำหนักเฉือน 0.1 กับ 0.01 รอบต่อนาที ให้ค่าแเดมปิงที่มีค่าเท่ากันในดินทั้งสามชนิดคือในดินที่มีค่าพลาสติกซิตี้ 43%, 55% และ 63% ในทุกแรงดันประสิทธิผล (400, 200 และ 67 กิโลปาสคอล) โดยเฉพาะอย่างยิ่งในดินที่มีค่าพลาสติกซิตี้ 55% คือเส้นกราฟของค่าแเดมปิงจากการทดสอบการรับน้ำหนักเฉือนแบบ วัดจักรที่อัตราการให้น้ำหนักเฉือน 0.1 และ 0.01 รอบต่อนาที ที่ได้จะทับกัน (มีค่าเท่ากัน) ในทุกแรงดันประสิทธิผล (400, 200 และ 67 กิโลปาสคอล) ในดินที่มีค่าพลาสติกซิตี้ 43% กราฟแเดมปิงของอัตราการให้น้ำหนักทั้งสองมีค่าเท่ากันตั้งแต่แรงดันประสิทธิผล 200 กิโลปาสคอลถึง 400 กิโลปาสคอล ที่แรงดันประสิทธิผล 67 กิโลปาสคอลค่าแเดมปิงของอัตราการให้น้ำหนักที่ 0.01 รอบต่อนาทีมีค่าแเดมปิงมากกว่าที่อัตรา 0.1 รอบต่อนาทีเล็กน้อย ส่วนในดินมีค่าพลาสติกซิตี้ 63% มีพฤติกรรมคือเส้นกราฟของค่าแเดมปิงจากการทดสอบการรับน้ำหนักเฉือนแบบวัดจักรที่อัตราการให้น้ำหนักเฉือน 0.01 รอบต่อนาที มีค่าน้อยกว่าเล็กน้อยที่ 0.1 รอบต่อนาที ที่แรงดันประสิทธิผล 67 และ 400 กิโลปาสคอลแต่ค่าแเดมปิงจากการทดสอบการรับน้ำหนักเฉือนแบบวัดจักรที่อัตราการให้น้ำหนักเฉือน 0.01 รอบต่อนาที มีค่ามากกว่าเล็กน้อยที่ 0.1 รอบต่อนาที ที่แรงดันประสิทธิผล 200 กิโลปาสคอล เมื่อเปรียบเทียบค่าแเดมปิงที่ค่าแรงดันประสิทธิผลเดียวกันพบว่า ดินที่มีค่าพลาสติกซิตี้ 43% มีค่ามากที่สุดรองลงมาคือดินที่มีค่าพลาสติกซิตี้ 55 % และในดินที่มีค่าพลาสติกซิตี้ 63% มีค่าน้อยสุดในทุกแรงดันประสิทธิผล (400, 200 และ 67 กิโลปาสคอล) และในทั้งอัตราการให้น้ำหนักที่ 0.01 และ 0.1 รอบต่อนาที

อิทธิพลของค่าแรงดันประสิทธิผลที่เพิ่มขึ้นที่มีต่อค่าแเดมปิงในดินที่ได้รับอัตราการให้น้ำหนักเฉือนที่อัตรา 0.1 และ 0.01 รอบต่อนาทีมีพฤติกรรมเข่นเดียวกันในทั้งสองอัตราการให้น้ำหนักเฉือนคือแเดมปิงจะมีค่าเพิ่มขึ้นเมื่อแรงดันประสิทธิผลมากขึ้น

เมื่อพิจารณาอิทธิพลของแรงดันประสิทธิผลที่มีต่อพฤติกรรมของแเดมปิงสามารถแบ่งพิจารณาพฤติกรรมได้เป็นสองช่วงคือ

ช่วงที่หนึ่งเป็นช่วงที่ดินมีค่าในช่วงแรงดันประสิทธิผล 67 ถึง 200 กิโลปาสคอล พบว่าพฤติกรรมของค่าแเดมปิงมีค่าเพิ่มขึ้นเมื่อคิดเป็น 1.5 - 2.0 เท่าของค่าแรงดันประสิทธิผลมากขึ้น โดยที่ค่าแเดมปิงมีค่า เพิ่มขึ้นประมาณ 1.5 - 2.0 เบอร์เซนต์หรือเมื่อเทียบกับค่าแเดมปิงเริ่มต้นหรือคิดเป็น 25 -133 % เมื่อพิจารณาค่าแเดมปิงสูงสุดที่แรงดันประสิทธิผล 67 และ 200 กิโลปาสคอล สามารถเรียงลำดับค่าแเดมปิงจากมากที่สุดจนถึงน้อยสุดคือในดินที่มีค่าพลาสติกซิตี้ 43%, 55% และ 63% ตามลำดับทั้งที่แรงดันประสิทธิผล 67 และ 200 กิโลปาสคอล ถ้าพิจารณาค่าการเพิ่มขึ้นของค่าแเดมปิงเมื่อแรงดันประสิทธิผลเพิ่มขึ้นพบว่า ค่าแเดมปิงที่พลาสติกซิตี้ 63 % มีค่าเพิ่มขึ้นมากที่สุดคือ 2 เบอร์เซนต์หรือคิดเป็น 133% ของแเดมปิงเริ่มต้น รองลงมาคือดินที่พลาสติกซิตี้ 55 % มีค่าเพิ่มขึ้นมากคือ 2 เบอร์เซนต์หรือคิดเป็น 40% ของแเดมปิงเริ่มต้น และเพิ่มขึ้นน้อยที่สุดคือดินที่

พลาสติกซิตี้ 43 % มีค่าเพิ่มขึ้นมากคือ 1.5 เปอร์เซนต์หรือคิดเป็น 25%ของแคมปิงเริ่มต้นและเมื่อพิจารณาอัตราการเพิ่มขึ้นของค่าแคมปิงต่อค่าแรงดันประสิทธิผลพบว่า เมื่อค่าแรงดันประสิทธิผลเพิ่มขึ้นทุกๆ หนึ่งกิโลปาสคอลมีผลทำให้ค่าแคมปิงมีอัตราเพิ่มขึ้นเฉลี่ย 0.01-0.015 เปอร์เซนต์หรือเพิ่มขึ้น 0.19%-1.0% ต่อการเพิ่มของแรงดันประสิทธิผลทุกๆ หนึ่งกิโลปาสคอล โดยที่อัตราการเพิ่มขึ้นของค่าแคมปิงในเดือนที่มีค่าพลาสติกซิตี้ 63% มีค่าอัตราการเพิ่มขึ้นมากที่สุดคือ 0.015 เปอร์เซนต์ต่อการเพิ่มน้ำหนักพลาสติกซิตี้หรือเมื่อเทียบกับค่าแคมปิงเริ่มต้นคิดเป็น 1 เปอร์เซนต์ต่อหนึ่งพลาสติกซิตี้ รองลงมาคือเดือนที่มีค่าพลาสติกซิตี้ 55% มีค่าอัตราการเพิ่มขึ้นคือ 0.015 เปอร์เซนต์ต่อการเพิ่มน้ำหนักพลาสติกซิตี้หรือเมื่อเทียบกับค่าแคมปิงเริ่มต้นคิดเป็น 0.3 เปอร์เซนต์ต่อหนึ่งพลาสติกซิตี้และอัตราการเพิ่มขึ้นน้อยที่สุดคือเดือนที่มีค่าพลาสติกซิตี้ 43% มีค่าอัตราการเพิ่มขึ้น 0.01 เปอร์เซนต์ต่อการเพิ่มน้ำหนักพลาสติกซิตี้หรือเมื่อเทียบกับค่าแคมปิงเริ่มต้นคิดเป็น 0.19 เปอร์เซนต์ต่อหนึ่งพลาสติกซิตี้

ช่วงที่สองเป็นช่วงที่ดินมีค่าในช่วงแรงดันประสิทธิผล 200 ถึง 400 กิโลปาสคอลพบว่า พฤติกรรมของค่าแคมปิงมีค่าเพิ่มขึ้นเมื่อเดือนมีแรงดันประสิทธิผลมากขึ้น โดยที่ค่าแคมปิงมีค่าเพิ่มขึ้นประมาณ 0.3-8 เปอร์เซนต์หรือเมื่อเทียบกับค่าแคมปิงเริ่มต้นหรือคิดเป็น 4.3 -107 % เมื่อพิจารณาค่าแคมปิงสูงสุดที่แรงดันประสิทธิผล 200 และ 400 กิโลปาสคอลสามารถเรียงลำดับค่าแคมปิงจากมากที่สุดจนถึงน้อยสุดคือในเดือนที่มีค่าพลาสติกซิตี้ 43%, 55% และ 63% ตามลำดับทั้งที่แรงดันประสิทธิผล 200 และ 400 กิโลปาสคอล ถ้าพิจารณาค่าการเพิ่มขึ้นของค่าแคมปิงเมื่อแรงดันประสิทธิผลเพิ่มขึ้นพบว่าค่าแคมปิงที่พลาสติกซิตี้ 43 % มีค่าเพิ่มขึ้นมากที่สุดคือ 8 เปอร์เซนต์หรือคิดเป็น 107% ของแคมปิงเริ่มต้น รองลงมาคือเดือนที่พลาสติกซิตี้ 63 % มีค่าเพิ่มขึ้นมากคือ 2 เปอร์เซนต์หรือคิดเป็น 57% ของแคมปิงเริ่มต้นและเพิ่มขึ้นน้อยที่สุดคือเดือนที่พลาสติกซิตี้ 55 % มีค่าเพิ่มขึ้นมากคือ 0.3 เปอร์เซนต์หรือคิดเป็น 4.3% ของแคมปิงเริ่มต้น และเมื่อพิจารณาอัตราการเพิ่มขึ้นของค่าแคมปิงต่อค่าแรงดันประสิทธิผลพบว่า เมื่อค่าแรงดันประสิทธิผลเพิ่มขึ้นทุกๆ หนึ่งกิโลปาสคอลมีผลทำให้ค่าแคมปิงมีอัตราเพิ่มขึ้นเฉลี่ย 0.0015-0.04 เปอร์เซนต์หรือเพิ่มขึ้น 0.022%-0.23% ต่อการเพิ่มของแรงดันประสิทธิผลทุกๆ หนึ่งกิโลปาสคอล โดยที่อัตราการเพิ่มขึ้นของค่าแคมปิงในเดือนที่มีค่าพลาสติกซิตี้ 43% มีค่าอัตราการเพิ่มขึ้นมากที่สุดคือ 0.04 เปอร์เซนต์ต่อการเพิ่มน้ำหนักพลาสติกซิตี้หรือเมื่อเทียบกับค่าแคมปิงเริ่มต้นคิดเป็น 0.54 เปอร์เซนต์ต่อหนึ่งพลาสติกซิตี้ รองลงมาคือเดือนที่มีค่าพลาสติกซิตี้ 65% มีค่าอัตราการเพิ่มขึ้นมากคือ 0.01 เปอร์เซนต์ต่อการเพิ่มน้ำหนักพลาสติกซิตี้หรือเมื่อเทียบกับค่าแคมปิงเริ่มต้นคิดเป็น 0.23 เปอร์เซนต์ต่อหนึ่งพลาสติกซิตี้และอัตราการเพิ่มขึ้นน้อยที่สุดจนแทบจะไม่มีการเปลี่ยนแปลงคือเดือนที่มีค่าพลาสติกซิตี้ 55% มีค่าอัตราการเพิ่มขึ้น 0.00015 เปอร์เซนต์ต่อ

การเพิ่มหนึ่งพลาสติกซีตี้หรือเมื่อเทียบกับค่าแคมปิงเริ่มต้นคิดเป็น 0.022 เบอร์เซนต์ต่อหนึ่งพลาสติกซีตี้

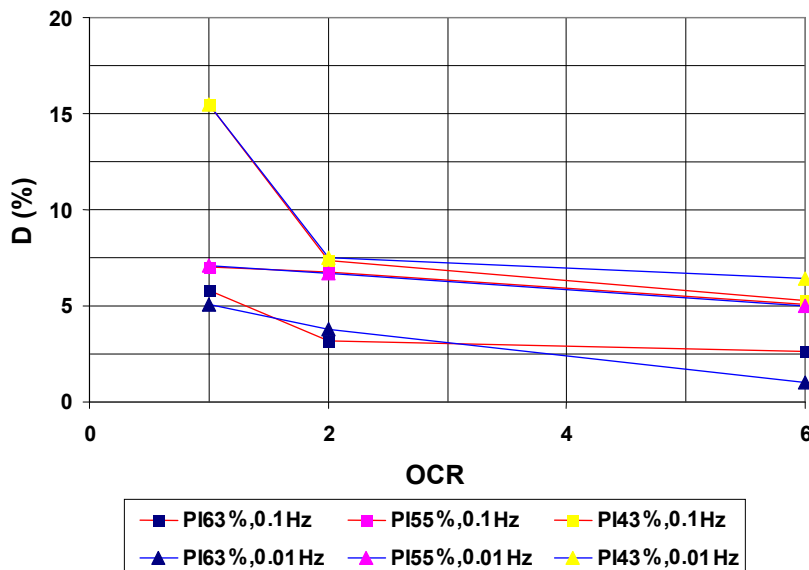
พิจารณาอิทธิพลของแรงดันประสิทธิผลทั้งหมด (แรงดันประสิทธิผล 67 ถึง 400 กิโลปascala) ที่มีต่อพฤติกรรมของแคมปิงพบว่าพฤติกรรมของค่าแคมปิงมีค่าเพิ่มขึ้นเมื่อดินได้รับแรงดันประสิทธิผลมากขึ้น เมื่อพิจารณาค่าแคมปิงที่ค่าแรงดันประสิทธิผล 67 กับ 400 กิโลปascala ค่าโมดูลเฉือนที่ค่าแรงดันประสิทธิผล 400 กิโลปascala มีค่าเพิ่มขึ้น 4-10 เบอร์เซนต์หรือเพิ่มขึ้น 46-267 % เมื่อเทียบกับค่าแคมปิงที่แรงดันประสิทธิผล 67 กิโลปascala

โดยที่อิทธิพลของแรงดันประสิทธิผลทำให้ค่าแคมปิงที่เพิ่มขึ้นจะเพิ่มขึ้นอย่างมากในช่วงแรงดันประสิทธิผลจาก 67 ถึง 200 กิโลปascala สำหรับดินที่มีค่าพลาสติกซีตี้ 55% คือเพิ่มขึ้น 87% เมื่อเทียบกับค่าแคมปิงที่แรงดันประสิทธิผล 67 กิโลปascala และมีอิทธิพลน้อยมากสำหรับดินที่มีค่าพลาสติกซีตี้ 43% คือเพิ่มขึ้น 16% เมื่อเทียบกับค่าแคมปิงที่แรงดันประสิทธิผล 67 กิโลปascala ส่วนในช่วงแรงดันประสิทธิผลจาก 200 ถึง 400 กิโลปascala อิทธิพลของแรงดันประสิทธิผลทำให้ค่าแคมปิงที่เพิ่มขึ้นจะเพิ่มขึ้นอย่างมากสำหรับดินที่มีค่าพลาสติกซีตี้ 43% คือเพิ่มขึ้น 84% เมื่อเทียบกับค่าแคมปิงที่แรงดันประสิทธิผล 67 กิโลปascala และมีผลน้อยสำหรับดินที่มีค่าพลาสติกซีตี้ 55% คือเพิ่มขึ้น 13% เมื่อเทียบกับค่าแคมปิงที่แรงดันประสิทธิผล 67 กิโลปascala ในดินที่มีค่าพลาสติกซีตี้ 63% อิทธิพลของแรงดันประสิทธิผลทำให้ค่าแคมปิงที่เพิ่มขึ้นจะเพิ่มขึ้นเท่ากันในทั้งช่วงแรงดันประสิทธิผล

เมื่อเทียบกับค่าแคมปิงที่แรงดันประสิทธิผล 67 กิโลปascala ของค่าแคมปิงทั้งหมดที่เพิ่มขึ้นและเพิ่มขึ้นอีก 20%- 35% ในช่วงแรงดันประสิทธิผลจาก 200 ถึง 400 กิโลปascala ซึ่งจากกราฟรูปที่ 4.14 ผลการทดสอบจะเห็นได้ว่ากราฟค่าแคมปิงในช่วงแรงดันประสิทธิผลที่ 67 ถึง 200 กิโลปascala มีความชันเท่าๆกันในดินทั้งสามพลาสติกซีตี้แต่ในช่วงแรงดันประสิทธิผล 200 ถึง 400 กิโลปascala ซึ่งแสดงถึงพฤติกรรมของอิทธิพลของแรงดันประสิทธิผลที่มีต่อพฤติกรรมของแคมปิงมีอัตราการเปลี่ยนแปลงของค่าแคมปิงที่เพิ่มขึ้นอย่างมาก (ความชันมากกว่า) สำหรับดินที่มีค่าพลาสติกซีตี้ 43% แต่มีผลทำให้มีอัตราเปลี่ยนแปลงเพิ่มขึ้นน้อยมากจนแทบจะไม่มีการเปลี่ยนแปลงสำหรับดินที่มีค่าพลาสติกซีตี้ 55% (กราฟมีความชันน้อยมาก)

เมื่อเปรียบเทียบค่าแคมปิงที่ค่าแรงดันประสิทธิผลเดียวกันพบว่า ดินที่มีค่าพลาสติกซีตี้ 43% มีค่ามากที่สุด รองลงมาคือดินที่มีค่าพลาสติกซีตี้ 55 % และในดินที่มีค่าพลาสติกซีตี้ 63% มีค่าน้อยสุด ในทุกแรงดันประสิทธิผล (400, 200 และ 67 กิโลปascala) และในทั้งอัตราการให้น้ำหนักที่ 0.01 และ 0.1 รอบต่อนาที

4.14 ผลกระทบของค่าสัดส่วนการอัดแน่นเกินตัวที่มีต่อค่าแเดมปิง



รูปที่ 4.23 กราฟแสดงผลการทดสอบของค่าแเดมปิง (D) และค่าสัดส่วนการอัดแน่นเกินตัว (OCR) ที่ความเครียดตามแนวแกนมีค่า 0.01% โดยเปรียบเทียบผลของอิทธิพลของอัตราการให้น้ำหนักเฉือนที่อัตรา 0.1% กับ 0.01% ในตัวอย่างทดสอบที่มีค่าพลาสติกซึ่ง 43%, 55% และ 63%

รูปที่ 4.23 กราฟแสดงผลการทดสอบของค่าแเดมปิง (D) และค่าสัดส่วนการอัดแน่นเกินตัว (OCR) ที่ความเครียดตามแนวแกนมีค่า 0.01% โดยเปรียบเทียบผลของอิทธิพลของอัตราการให้น้ำหนักเฉือนที่อัตรา 0.1 กับ 0.01 รอบต่อนาที ในตัวอย่างทดสอบที่มีค่าพลาสติกซึ่ง 43%, 55% และ 63% ภายใต้ค่าสัดส่วนการอัดแน่นเกินตัวที่ 1 (ดินเหนียวในสภาพ Normally Consolidated Clay), 2 (ดินเหนียวในสภาพ Slightly Overconsolidated Clay) และ 6 (ดินเหนียวในสภาพ Heavily Overconsolidated Clay) พบร่วมค่าแเดมปิงของดินที่ได้จากการทดสอบการรับน้ำหนักเฉือนแบบวัฏจักรที่อัตราการให้น้ำหนักเฉือน 0.1 กับ 0.01 รอบต่อนาที ให้ค่าแเดมปิงที่มีค่าเท่ากันในดินทั้งสามชนิดคือในดินที่มีค่าพลาสติกซึ่ง 43%, 55% และ 63% เมื่อเทียบที่ค่าสัดส่วนการอัดแน่นเกินตัวเดียวกัน โดยเฉพาะอย่างยิ่งในดินที่มีค่าพลาสติกซึ่ง 55% คือเส้นกราฟของค่าแเดมปิงจากการทดสอบการรับน้ำหนักเฉือนแบบวัฏจักรที่อัตราการให้น้ำหนักเฉือน 0.1 และ 0.01 รอบต่อนาที ที่ได้จะทับกัน (มีค่าเท่ากัน) ในทุกค่าสัดส่วนการอัดแน่นเกิน(1, 2 และ 6) ในดินที่มีค่าพลาสติกซึ่ง 43% กราฟแเดมปิงของอัตราการให้น้ำหนักทั้งสองมีค่าเท่ากันตั้งแต่ค่าสัดส่วนการอัดแน่นเกินที่ 1 ถึง 2 แต่ที่ค่าสัดส่วนการอัดแน่นเกินที่ 6 ค่าแเดมปิงของอัตราการ

ให้น้ำหนักที่ 0.01 รอบต่อนาทีมีค่าแเดเมปิงมากกว่าที่อัตรา 0.1 รอบต่อนาทีเล็กน้อย

ส่วนในเดินมีค่าพลาสติกซิตี้ 63% มีพฤติกรรมคือเส้นกราฟของค่าแเดเมปิงจากการทดสอบการรับน้ำหนักเฉือนแบบวัสดุจกรที่อัตราการให้น้ำหนักเฉือน 0.01 รอบต่อนาที มีค่าน้อยกว่าลักษณะน้อยที่ 0.1 รอบต่อนาที ที่ค่าสัดส่วนการอัดแน่นเกินที่ 1 ถึง 2 แต่ค่าแเดเมปิงจากการทดสอบการรับน้ำหนักเฉือนแบบวัสดุจกรที่อัตราการให้น้ำหนักเฉือน 0.01 รอบต่อนาที มีค่ามากกว่าเล็กน้อยที่ 0.1 รอบต่อนาที ที่ค่าสัดส่วนการอัดแน่นเกินที่ 6

เมื่อเปรียบเทียบค่าแเดเมปิงที่ค่าสัดส่วนการอัดแน่นเกินตัวเดียวกันพบว่าดินที่มีค่าพลาสติกซิตี้ 43% มีค่ามากที่สุด รองลงมาคือดินที่มีค่าพลาสติกซิตี้ 55% และในดินที่มีค่าพลาสติกซิตี้ 63% มีค่าน้อยสุด ในทุกค่าสัดส่วนการอัดแน่นเกินตัวและในห้องอัตราการให้น้ำหนักที่ 0.01 และ 0.1 รอบต่อนาที พิจารณาพฤติกรรมของแเดเมปิงเนื่องจากอิทธิพลของอัตราการน้ำหนักแสดงให้เห็นว่า พฤติกรรมของแเดเมปิงมีค่าลดลงเมื่อค่าสัดส่วนการอัดแน่นเกินตัวเพิ่มขึ้น และพฤติกรรมนี้เกิดในห้องอัตราการให้น้ำหนักที่ 0.01 และ 0.1 รอบต่อนาที

เมื่อพิจารณาอิทธิพลของค่าสัดส่วนการอัดแน่นเกินตัวที่มีต่อพฤติกรรมของแเดเมปิงสามารถแบ่งพิจารณาพฤติกรรมได้เป็นสองช่วงคือ

ช่วงที่หนึ่งเป็นช่วงที่ดินมีค่าในช่วงค่าสัดส่วนการอัดแน่นเกินตัวมีค่าจาก 1 ถึง 2 (ดินอยู่ภายใต้แรงดันประสีทิชิพลที่ลดลงหนึ่งเท่า) พบว่าพฤติกรรมของค่าแเดเมปิงมีค่าลดลงเมื่อติดต่อ 1 ถึง 2 ตามลำดับซึ่งมีพฤติกรรมเช่นเดียวกันทั้งที่ค่าสัดส่วนการอัดแน่นเกินตัวมากขึ้น โดยที่ค่าแเดเมปิงมีค่าลดลง 0.5-8 เปอร์เซนต์หรือลดลง 7 -52 % (เปอร์เซนต์เป็นค่าแเดเมปิงที่เพิ่มขึ้นเทียบกับค่าแเดเมปิงเริ่มต้น) เมื่อพิจารณาค่าแเดเมปิงสูงค่าสัดส่วนการอัดแน่นเกินตัวที่ 1 และ 2 สามารถเรียงลำดับค่าแเดเมปิงจากมากที่สุดจนถึงน้อยสุดคือในดินที่มีค่าพลาสติกซิตี้ 43%, 55% และ 63% ตามลำดับซึ่งมีพฤติกรรมเช่นเดียวกันทั้งที่ค่าสัดส่วนการอัดแน่นเกินตัวมากจาก 1 และ 2 ถ้าพิจารณาการลดลงของค่าแเดเมปิงเมื่อค่าสัดส่วนการอัดแน่นเกินตัวเพิ่มขึ้นเมื่อเทียบกับค่าแเดเมปิงเริ่มต้นพบว่าค่าแเดเมปิงที่พลาสติกซิตี้ 43% มีค่าลดลงมากที่สุดคือ 8 เปอร์เซนต์หรือคิดเป็น 52% ของแเดเมปิงเริ่มต้น รองลงมาคือดินที่พลาสติกซิตี้ 63% มีค่าลดลงมากคือ 2.5 เปอร์เซนต์หรือคิดเป็น 45% ของแเดเมปิงเริ่มต้น และลดลงน้อยที่สุดคือดินที่พลาสติกซิตี้ 55% มีค่าลดลงมากคือ 0.5 เปอร์เซนต์หรือคิดเป็น 7% ของแเดเมปิงเริ่มต้น และเมื่อพิจารณาอัตราการลดลงของค่าแเดเมปิงต่อค่าสัดส่วนการอัดแน่นเกินตัวที่เพิ่มขึ้นจะได้โดยที่อัตราการลดลงของค่าแเดเมปิงในดินที่มีค่าพลาสติกซิตี้ 63% มีค่าอัตราการเพิ่มขึ้นมากที่สุดคือ 8 เปอร์เซนต์ต่อการเพิ่มน้ำหนักเท่าของค่าสัดส่วนการอัดแน่นเกินตัวหรือเมื่อเทียบกับค่าแเดเมปิงเริ่มต้นคิดเป็น 52 เปอร์เซนต์ต่อการเพิ่มน้ำหนักเท่าของค่าสัดส่วนการอัดแน่นเกินตัว รองลงมาคือดินที่มีค่าพลาสติกซิตี้ 63% มีค่าอัตราการเพิ่มขึ้นมากที่สุดคือ 2.5 เปอร์เซนต์ต่อการเพิ่มน้ำหนักเท่าของค่าสัดส่วนการอัดแน่นเกินตัวหรือเมื่อเทียบกับค่าแเดเมปิงเริ่มต้น

คิดเป็น 45 เปอร์เซนต์ต่อการเพิ่มหนึ่งเท่าของค่าสัดส่วนการอัดแน่นเกินตัวและอัตราการลดลงน้อยที่สุดคือдинที่มีค่าพลาสติกซิตี้ 55% มีค่าอัตราการเพิ่มขึ้นมากที่สุดคือ 0.5 เปอร์เซนต์ต่อการเพิ่มหนึ่งเท่าของค่าสัดส่วนการอัดแน่นเกินตัวหรือเมื่อเทียบกับค่าแคมปิงเริ่มต้นคิดเป็น 7 เปอร์เซนต์ต่อการเพิ่มหนึ่งเท่าของค่าสัดส่วนการอัดแน่นเกินตัว

ช่วงที่สองค่าสัดส่วนการอัดแน่นเกินตัวมีค่าจาก 2 ถึง 6 (ดินอยู่ภายใต้แรงดันประดิษฐ์ผลที่ลดลงสองเท่าเป็นหกเท่าพบว่าพุติกรรมของค่าแคมปิงมีค่าลดลงเมื่อдинมีค่าสัดส่วนการอัดแน่นเกินตัวมากขึ้น โดยที่ค่าแคมปิงมีค่าลดลงประมาณ 1-1.5 เปอร์เซนต์หรือลดลง 13 -33 % (เปอร์เซนต์เป็นค่าแคมปิงที่เพิ่มขึ้นเทียบกับค่าแคมปิงเริ่มต้น) เมื่อพิจารณาค่าแคมปิงที่ค่าสัดส่วนการอัดแน่นเกินตัวที่ 2 และ 6 สามารถเรียงลำดับค่าแคมปิงจากมากที่สุดจนถึงน้อยสุดคือในдинที่มีค่าพลาสติกซิตี้ 43%, 55% และ 63% ตามลำดับทั้งที่ค่าสัดส่วนการอัดแน่นเกินตัวที่ 2 และ 6 ถ้าพิจารณาค่าการลดลงของค่าแคมปิงเมื่อค่าสัดส่วนการอัดแน่นเกินตัวเพิ่มขึ้นเมื่อเทียบกับค่าแคมปิงเริ่มต้นพบว่าค่าแคมปิงที่พลาสติกซิตี้ 63 % มีค่าลดลงมากที่สุดคือ 1 เปอร์เซนต์หรือคิดเป็น 33% ของแคมปิงเริ่มต้น รองลงมาคือдинที่พลาสติกซิตี้ 55 % มีค่าลดลงคือ 1.5 เปอร์เซนต์หรือคิดเป็น 23% ของแคมปิงเริ่มต้นและลดลงน้อยที่สุดคือдинที่พลาสติกซิตี้ 43 % มีค่าลดลงมากคือ 1 เปอร์เซนต์หรือคิดเป็น 13% ของแคมปิงเริ่มต้น

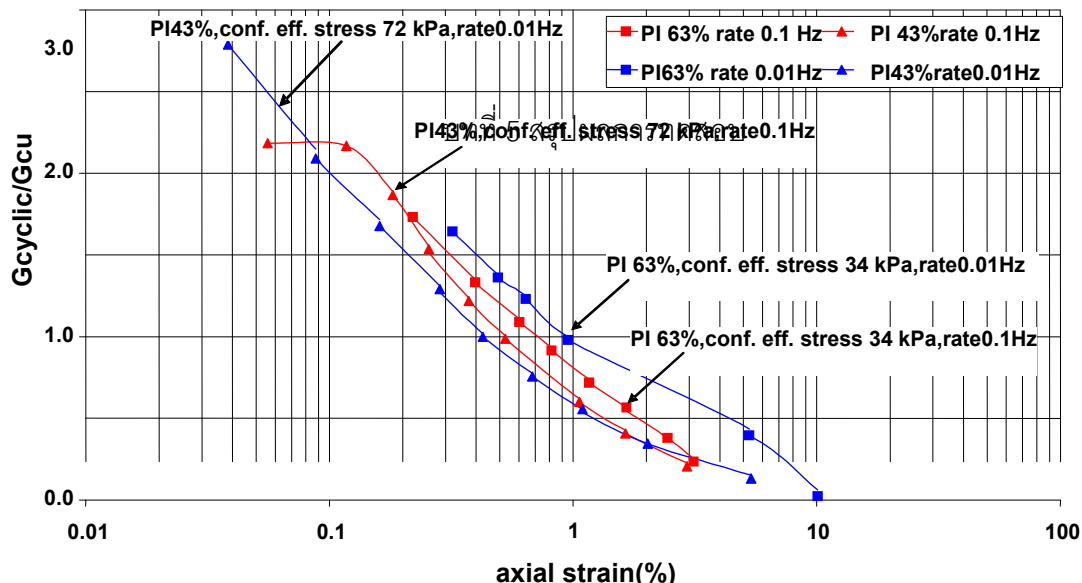
เมื่อพิจารณาอัตราการลดลงของค่าแคมปิงต่อค่าสัดส่วนการอัดแน่นเกินตัวที่เพิ่มขึ้นมีผลทำให้ค่าแคมปิงมีอัตราลดลง 0.25-0.375 เปอร์เซนต์หรือลดลง 3.25%-8.25% ต่อการเพิ่มเมื่อค่าสัดส่วนการอัดแน่นเกินตัวเพิ่มขึ้นหนึ่งเท่าตัว โดยที่อัตราการลดลงของค่าแคมปิงในдинที่มีค่าพลาสติกซิตี้ 63% มีค่าอัตราการเพิ่มขึ้นมากที่สุดคือ 0.25 เปอร์เซนต์ต่อการเพิ่มหนึ่งเท่าของค่าสัดส่วนการอัดแน่นเกินตัวหรือเมื่อเทียบกับค่าแคมปิงเริ่มต้นคิดเป็น 8.25 เปอร์เซนต์ต่อการเพิ่มหนึ่งเท่าของค่าสัดส่วนการอัดแน่นเกินตัว รองลงมาคือдинที่มีค่าพลาสติกซิตี้ 63% มีค่าอัตราการเพิ่มขึ้นมากที่สุดคือ 0.375 เปอร์เซนต์ต่อการเพิ่มหนึ่งเท่าของค่าสัดส่วนการอัดแน่นเกินตัวหรือเมื่อเทียบกับค่าแคมปิงเริ่มต้นคิดเป็น 5.75 เปอร์เซนต์ต่อการเพิ่มหนึ่งเท่าของค่าสัดส่วนการอัดแน่นเกินตัวและอัตราการลดลงน้อยที่สุดคือдинที่มีค่าพลาสติกซิตี้ 43% มีค่าอัตราการเพิ่มขึ้นมากที่สุดคือ 0.25 เปอร์เซนต์ต่อการเพิ่มหนึ่งเท่าของค่าสัดส่วนการอัดแน่นเกินตัวหรือเมื่อเทียบกับค่าแคมปิงเริ่มต้นคิดเป็น 3.25 เปอร์เซนต์ต่อการเพิ่มหนึ่งเท่าของค่าสัดส่วนการอัดแน่นเกินตัว

พิจารณาอิทธิพลของค่าสัดส่วนการอัดแน่นเกินตัวทั้งหมด (ค่าสัดส่วนการอัดแน่นเกินตัวมีค่าจาก 1 ถึง 6) ที่มีต่อพุติกรรมของแคมปิงพบว่าพุติกรรมของค่าแคมปิงมีค่าลดลงเมื่อдинมีค่าสัดส่วนการอัดแน่นเกินตัวเพิ่มขึ้น

เมื่อพิจารณาค่าแคมปิงที่ค่าสัดส่วนการอัดแน่นเกินตัวที่ 1 มีค่ามากกว่า 2 – 9 เปอร์เซนต์หรือลดลง 29-64 % เมื่อเทียบค่าแคมปิงที่ค่าสัดส่วนการอัดแน่นเกินตัวที่ 6 โดยที่

ค่าแคมปิงที่ลดลงประมาณ 25%-90% ในช่วงค่าสัดส่วนการอัดแน่นเกินตัวที่ 1 ถึง 2 โดยลดลงอย่างมากในดินที่มีค่าพลาสติกซิตี้ 43% และ 63% คือลดลงคิดเป็น 89% และ 71% ตามลำดับ และลดลงประมาณ 11%-75% ในช่วงค่าสัดส่วนการอัดแน่นเกินตัวที่ 2 ถึง 6 โดยลดลงอย่างมากในดินที่มีค่าพลาสติกซิตี้ 55% คือลดลงคิดเป็น 75% แต่หากพิจารณาเปอร์เซนต์การลดลงต่อการเพิ่มเมื่อค่าสัดส่วนการอัดแน่นเกินตัวที่เพิ่มขึ้นหนึ่งเท่าตัว จากกราฟรูปที่ 4.18 ผลการทดสอบจะเห็นได้ว่ากราฟค่าแคมปิงในช่วงค่าสัดส่วนการอัดแน่นเกินตัวที่ 1 ถึง 2 และช่วงค่าสัดส่วนการอัดแน่นเกินตัวที่ 2 ถึง 6 กราฟที่ได้มีความชันในช่วงค่าสัดส่วนการอัดแน่นเกินตัวที่ 1 ถึง 2 ความชันมากกว่าช่วงค่าสัดส่วนการอัดแน่นเกินตัวที่ 2 ถึง 6 แสดงถึงอิทธิพลของการเพิ่มของค่าสัดส่วนการอัดแน่นเกินตัวมีผลทำให้ดินทั้งสามพลาสติกซิตี้มีค่าแคมปิงลดลงมากในช่วงค่าสัดส่วนอัดแน่นเกินตัว 1 ถึง 2 ($OCR=1$, Normally Consolidated Clay เปลี่ยนเป็น $OCR=2$, Slightly Overconsolidated Clay) โดยเฉพาะอย่างยิ่งในดินที่มีค่าพลาสติกซิตี้ 43% ลดลงถึง 8% หรือคิดเป็น 90% ของการลดทั้งหมด ส่วนในช่วงค่าสัดส่วนการอัดแน่นเกินตัวที่ 2 ถึง 6 ค่าแคมปิงมีค่าลดลงเล็กน้อยในดินทั้งสามพลาสติกซิตี้แม้ว่าค่าสัดส่วนการอัดแน่นเกินตัวจะเปลี่ยนแปลงถึงสี่เท่า

4.15 เปรียบเทียบผลการทดสอบของค่าโมดูลัสเนื่องระหว่างการทดสอบให้น้ำหนักแบบวัฏจักร (พลศาสตร์) กับค่าโมดูลัสของ CU test (Su, สถิติศาสตร์).



รูปที่ 4.24 กราฟแสดงผลการทดสอบของค่าโมดูลัสเนื่องจาก การทดสอบแรงอัดสามเกณแบบพลศาสตร์ภายใต้การให้น้ำหนักแบบวัฏจักรเทียบกับค่าโมดูลัสเนื่องสูงสุดที่ได้จากการ

การทดสอบแรงอัดสามแกนแบบสติติศาสตร์ด้วยการทดสอบแบบ CU Test (G_{cyclic}/G_{static}) และค่าความเครียดตามแนวแกน (%) โดยเปรียบเทียบผลของอิทธิพลของอัตราการให้น้ำหนักเฉือนที่อัตรา 0.1% กับ 0.01% ในตัวอย่างทดสอบที่มีค่าพลาสติกซิตี้ 43% (ภายใต้แรงดันประสิทธิผลที่ overburden pressure 72 กิโลปascala) และ 63% (ภายใต้แรงดันประสิทธิผลที่ overburden pressure 34 กิโลปascala)

จากราฟุ่ปที่ 4.24 เป็นกราฟแสดงผลการทดสอบของค่าโมดูลัสเฉือนจากการทดสอบแรงอัดสามแกนแบบพลศาสตร์ภายใต้การให้น้ำหนักแบบวัฏจักรเทียบกับค่าโมดูลัสเฉือนสูงสุด (จุดวิบติ) ที่ได้จากการทดสอบแรงอัดสามแกนแบบสติติศาสตร์ด้วยการทดสอบแบบ Consolidate Undrain Test (G_{cyclic}/G_{static}) และค่าความเครียดตามแนวแกน (%) โดยเปรียบเทียบผลของอิทธิพลของอัตราการให้น้ำหนักเฉือนที่อัตรา 0.1% กับ 0.01% ในตัวอย่างทดสอบที่มีค่าพลาสติกซิตี้ 43% (ภายใต้แรงดันประสิทธิผลที่ overburden pressure 72 กิโลปascala) ซึ่งเป็นдинที่อยู่ที่ระดับความลึก 13 เมตรจากผิวดิน และ 63% (ภายใต้แรงดันประสิทธิผลที่ overburden pressure 34 กิโลปascala) ซึ่งเป็นдинที่อยู่ที่ระดับความลึก 7 เมตรจากผิวดิน พบว่าพฤติกรรมของค่าโมดูลัสเฉือนจากการทดสอบแรงอัดสามแกนแบบพลศาสตร์ภายใต้การให้น้ำหนักแบบวัฏจักรเทียบกับค่าโมดูลัสเฉือนสูงสุดที่ได้จากการทดสอบแรงอัดสามแกนแบบสติติศาสตร์ด้วยการทดสอบแบบ Consolidate Undrain Test มีค่าลดลงเมื่อค่าความเครียดตามแนวแกนมีค่าเพิ่มขึ้น

เมื่อพิจารณาพฤติกรรมของค่าโมดูลัสเฉือนจากการทดสอบแรงอัดสามแกนแบบพลศาสตร์ภายใต้การให้น้ำหนักแบบวัฏจักรมีค่าเท่ากับค่าโมดูลัสเฉือนสูงสุดที่ได้จากการทดสอบแรงอัดสามแกนแบบสติติศาสตร์ด้วยการทดสอบแบบ Consolidate Undrain Test ($G_{cyclic} = G_{static}$) พบว่าค่าโมดูลัสเฉือนที่เท่ากันจะเกิดที่ช่วงความเครียดตามแนวแกน 0.4% - 1% โดยในдинที่มีค่าพลาสติกซิตี้ 43% ซึ่งอยู่ภายใต้แรงดันประสิทธิผลที่ overburden pressure มีค่า 72 กิโลปascala ในตัวอย่างทดสอบที่อัตราการให้น้ำหนัก 0.01 รอบต่อนาที มีค่าความเครียดตามแนวแกนน้อยกว่าในตัวอย่างทดสอบที่อัตราการให้น้ำหนัก 0.1 รอบต่อนาที (จุดที่ค่าโมดูลัสเฉือนแบบพลศาสตร์กับสติติศาสตร์มีค่าเท่ากัน) แต่ในдинที่มีค่าพลาสติกซิตี้ 63% (ภายใต้แรงดันประสิทธิผลที่ overburden pressure 34 กิโลปascala) มีพุติกรรมตรงกันข้ามคือในตัวอย่างทดสอบที่อัตราการให้น้ำหนัก 0.1 รอบต่อนาที มีค่าความเครียดตามแนวแกนน้อยกว่าในตัวอย่างทดสอบที่อัตราการให้น้ำหนัก 0.01 รอบต่อนาที

บทที่ 5 สรุปผลการทดสอบ

จากการทดสอบต่างๆ ที่ได้จากการทดสอบการรับน้ำหนักแบบวัฏจักรที่เบริยบเทียบผลของความถี่ ที่ความถี่ 0.1 และ 0.01 รอบต่อวินาที จะพบว่าพฤติกรรมจะแบ่งออกเป็นสองช่วงคือช่วงที่หนึ่งพฤติกรรมของดินในการทดสอบการรับน้ำหนักแบบวัฏจักรจะมีพฤติกรรมในลักษณะอยู่ภายใต้ขอบเขต弹性 (elastic) เนื่องจากพฤติกรรม hysteric stress-strain จะได้ Hyteresis loops ที่มีขนาดเท่ากัน (ขนาดหน่วยแรงเท่ากัน) และขนาด amplitude ของหน่วยแรงมีค่าเท่ากัน (ที่ขนาดหน่วยแรงเท่ากัน) ซึ่งเรียกว่าพฤติกรรมนี้อยู่ในพฤติกรรมสมดุล (equilibrium) โดยในช่วงพฤติกรรมนี้จะอยู่ในช่วงความเครียดตามแนวแกนไม่เกิน 1%

ช่วงที่สองพฤติกรรมของดินในการทดสอบการรับน้ำหนักแบบวัฏจักรจะมีพฤติกรรมในลักษณะอยู่ภายใต้ขอบเขตพลาสติก (plastic) เนื่องจากว่าเริ่มเกิดจากการเขียนกราฟระหว่างหน่วยแรงกับความเครียดจะได้ Hyteresis loops ที่มีขนาดเพิ่มขึ้นเล็กน้อย (ขนาดหน่วยแรงเท่ากัน) และขนาด (amplitude) ของหน่วยแรงมีค่าเท่ากัน (ที่ขนาดหน่วยแรงเท่ากัน) โดยในช่วงพฤติกรรมนี้จะอยู่ในช่วงความเครียดตามแนวแกนประมาณ 1-2% ขึ้นอยู่กับความถี่ของการให้น้ำหนักถ้าใช้ความถี่สูงกว่าจะเกิดพฤติกรรมขอบเขตพลาสติก (plastic) เร็วกว่า (ความเครียดตามแนวแกนที่น้อยกว่า) ซึ่งในงานทดสอบนี้ที่ความถี่ 0.1 รอบต่อวินาที พฤติกรรมนี้จะเกิดที่ช่วงความเครียดตามแนวแกนประมาณ 1-1.6% และความถี่ 0.01 รอบต่อวินาที พฤติกรรมนี้จะเกิดที่ช่วงความเครียดตามแนวแกนประมาณ 1-3%

หลังจากผ่านช่วงความเป็น plastic แล้ว ตัวอย่างทดสอบจะเข้าสู่พฤติกรรมของการวินติ เนื่องจาก Hyteresis loops ซึ่งเกิดจากการเขียนกราฟระหว่างหน่วยแรงกับความเครียดจะได้ว่ารีที่มีขนาดเพิ่มขึ้นอย่างมาก (ขนาดหน่วยแรงเท่ากัน) จนไม่สามารถสร้าง Hyteresis loops และขนาด (amplitude) ของหน่วยแรงมีค่าลดลง (ที่ขนาดหน่วยแรงเท่ากัน)

ผลของความถี่ที่มีต่อพฤติกรรมต่างๆ ของการรับน้ำหนักแบบวัฏจักรคือกำลังรับน้ำหนักประสิทธิผล โดยที่กำลังรับน้ำหนักประสิทธิผลจะมีค่าน้อยกว่าเมื่อใช้ความถี่ที่ต่ำกว่าซึ่งเป็นผลมาจากการเกิด (build up) ของแรงดันไฟฟ้าในตัวอย่าง ถ้าใช้ความถี่ที่ต่ำกว่า (ซากว่า) จะทำให้แรงดันไฟฟ้าในตัวอย่างเกิดขึ้นมากกว่าเนื่องมีเวลาในเกิดมากกว่าการใช้ความถี่ที่สูงกว่าดังนั้นจึงทำให้กำลังรับน้ำหนักประสิทธิผลที่ความถี่ที่ต่ำกว่ามีค่าน้อยกว่าที่ความถี่สูง (เร็วกว่า)

สำหรับผลการทดสอบในงานวิจัยเมื่อเบริยบเทียบกำลังรับน้ำหนักประสิทธิผลที่ได้จากการใช้ความถี่ที่ 0.1 และ 0.01 รอบต่อนาที ให้กำลังรับน้ำหนักประสิทธิผลที่ใกล้เคียงกันมากโดยที่ความถี่ 0.1 รอบต่อนาที มีค่ากำลังรับน้ำหนักประสิทธิผลมากกว่าเล็กน้อย

นอกจากนี้ยังให้ผลการเกิดแรงดันโครงสร้างกินที่น้อยกว่าเล็กน้อย เช่นกัน ซึ่งผลแตกต่างที่น้อยมาก ผลการทดสอบในงานวิจัยนี้เมื่อเปรียบเทียบกำลังรับน้ำหนักประสิทธิผลที่ได้จากการใช้ความถี่ที่ 0.1 และ 0.01 รอบต่อนาที ไม่มีอิทธิพลอย่างชัดเจนจากความถี่ทั้งสองซึ่งเมื่อพิจารณากราฟ พฤติกรรมต่างๆ แต่เมื่อพิจารณาการเปลี่ยนแปลงในแต่ละช่วงความเครียดตามแนวแกนที่ความถี่ 0.01 รอบต่อวินาที จะพบการเปลี่ยนแปลงในแต่ละช่วงของกราฟที่ชัดเจนมากกว่าที่ความถี่ 0.1 รอบต่อวินาที โดยเฉพาะอย่างยิ่งการเข้าสู่ช่วงของพฤติกรรมของการวิบัติ ดังนั้นในงานวิจัยนี้จึงเลือกการทดสอบด้วยความถี่ที่ 0.01 รอบต่อนาทีเพื่อศึกษาพฤติกรรมต่างๆ ของการรับน้ำหนักแบบวัดจักร

อิทธิพลของค่าสัดส่วนการอัดแน่นกินตัวมีอิทธิพลต่อโมดูลัสเฉือนเมื่อเปรียบเทียบกับ ดินเหนียวที่ค่าสัดส่วนการอัดแน่นกินตัวที่อยู่ในช่วง Normally Consolidated Clay (OCR=1) จะมี อิทธิพลต่อค่าโมดูลัสเฉือนเมื่อเปรียบเทียบกับดินเหนียวที่อยู่ช่วง Slightly Consolidated Clay (OCR=2) และมีอิทธิพลต่อค่าโมดูลัสเฉือนอย่างชัดเจนเมื่อเปรียบเทียบกับดินเหนียวที่อยู่ช่วง Heavily Consolidated Clay (OCR=6) เมื่ออยู่ในช่วงความเครียดตามแนวแกนที่ค่าช่วงน้อยกว่า 0.1 % (small strain) ซึ่งอิทธิพลดังกล่าวเกิดจากอิทธิพลของแรงดันประสิทธิผล (σ_3') ส่วนช่วงที่ความเครียดตามแนวแกนที่มีค่ามาก (large strain) คือที่ความเครียดตามแนวแกน มีค่ามากกว่า 0.1 % ค่าโมดูลัสเฉือนมีค่าใกล้เคียงกันและยิ่งความเครียดตามแนวแกนมีค่ามากขึ้น (มากกว่า 1%) ค่าโมดูลัสจะมีค่าเข้าใกล้เคียงกันและจะถึงเท่ากัน เนื่องจากอิทธิพลของค่ากำลังรับน้ำหนักเฉือนมีอิทธิพลมากกว่าอิทธิพลของอัตราการให้น้ำหนักและแรงดันประสิทธิผล เมื่อพิจารณาถึงอิทธิพลของค่าพลาสติกซิตี้มีอิทธิพลต่อโมดูลัสเฉือนพบว่ามีอิทธิพลน้อยถึงแม้ว่า เมื่อเปรียบเทียบดินเหนียวที่มีค่าพลาสติกซิตี้ที่ 73% กับ 43% จะได้โมดูลัสเฉือนที่ไม่แตกต่างกันมาก โดยที่ดินเหนียวที่มีค่าพลาสติกซิตี้ที่ 73% มีค่าโมดูลัสเฉือนมากกว่าดินเหนียวที่มีค่าพลาสติกซิตี้ที่ 43%

พฤติกรรมของค่าแ爹เมปิงมีพฤติกรรมที่ไม่ชัดเจนเมื่ออยู่ในช่วงความเครียดตามแนวแกน ที่ค่าช่วงน้อยกว่า 0.1 % (small strain) แต่จะชัดเจนมากขึ้นเมื่อความเครียดตามแนวแกนเพิ่มขึ้น ในช่วงที่ความเครียดตามแนวแกนที่มีค่ามาก (large strain) คือที่ความเครียดตามแนวแกนมีค่ามากกว่า 0.1 % ค่าแ爹เมปิงมีค่าเพิ่มขึ้นเมื่อความเครียดตามแนวแกนเพิ่มขึ้น โดยที่ดินเหนียวที่มีค่าพลาสติกซิตี้น้อยกว่าจะให้ค่าแ爹เมปิงมากกว่าดินเหนียวที่มีค่าพลาสติกซิตี้มากอิทธิพลของค่าสัดส่วนการอัดแน่นกินตัวมีอิทธิพลต่อค่าแ爹เมปิงเมื่อค่าสัดส่วนการอัดแน่นกินตัวมีค่ามากขึ้นจะทำให้ค่าแ爹เมปิงมีแนวโน้มลดลงเนื่องจากแรงดันประสิทธิผลมีค่าลดลงตามค่าสัดส่วนการอัดแน่นกินตัวที่เพิ่มขึ้นและอัตราการให้น้ำหนักแบบวัดจักรไม่มีอิทธิพลต่อค่าแ爹เมปิง

บรรณานุกรม

1. สุรัชต์ สมพันธ์ภางษ์ : วิศวกรรมปฐพี, วิศวกรรมสถานแห่งประเทศไทย, 2540
2. สุพจน์ เตชะรัตน์สกุล : พฤติกรรมของดินทางพลศาสตร์, จุฬาลงกรณ์มหาวิทยาลัย, 2549
3. Bardet, J.P. : A Scaled Memory Model for the Cyclic Behavior of Soil, Earthquake Geotechnical Engineering, Ishihara (ed), pp 411-416, 1995
4. Bishop, A.W., and Henkel, D.J. : The Measurement of Properties in the Triaxial Test, Edward Arnold Ltd., London, 2nd. edition, 1962
5. Das, B.M. : The Principles of Geotechnical Engineering, PWS-KENT Publishing Company , Boston , U.S.A , 1990
6. Dwight, H., Sangrey, A. and France, J.W. : Peak Strength of Clay Soils after a Repeated Loading, International Symposium on Soils under Cyclic and Transient Loading. Swansea, pp 421-429, 1980
7. Geogianou, V.N., Hight, D.W. and Burland, J.B. : Behavior of Clayey Sand Under Undrained Cyclic Triaxial Loading, Geotechnique 41, No. 3, pp 383-393, 1991
8. Hicher, P.Y. and Taghzouti, A. : 3D Cyclic Behavior of Saturated Clay, Earthquake Geotechnical Engineering, Ishihara (ed), pp 271-276, 1995
9. Ishihara, H. and Yasuda, S. : Cyclic Strengths of Undisturbed Cohesive Soils of Western Tokyo, International Symposium on Soils under Cyclic and Transient Loading, Swansea, pp 43-54, 1980
10. Kokusho, T. : Cyclic Triaxial Test of Dynamic Soil Properties with Strain Range, Soil and Foundation, Vol 20, No. 2, pp 45-60, 1989
11. Kokusho, T., Yoshida, Y. and Esashi, Y. : Dynamic Properties of Soft Clay for Wide Strain Range, Soil and Foundation, Vol 2, No. 2, pp 1-18, 1982
12. Lambe, T.W. and Whitman, R.V. : Soil Mechanics, 6 version, John Wiley & Sons, 1979
13. Lee, C.J. and Sheu, S.F. : Cyclic Shear Strength and Pore Water Pressure Generation Model under Irregular Loading, Earthquake Geotechnical Engineering, Ishihara (ed), pp 417-422, 1995

14. Meimon, Y. and Hicher, P.Y. : Mechanical Behaviour of Clays under Cyclic Loading, International Symposium on Soils under Cyclic and Transient Loading. Swansea, pp 77-87, 1980
15. Nakai, T., Hoshikawa, T. and Chowchung, E.Q. : Stress Strain Behavior of Clay Undrained Cyclic Loading and Its Modeling, Earthquake Geotechnical Engineering, Ishihara (ed), pp 405-410, 1995
16. Pradhan, T.B.S., Dam, L.T.K. and Imai, G. : Effect of Cyclic Loading Period on the Behavior of Clay Under Undrained Torsional Simple Shear, Earthquake Geotechnical Engineering, Ishihara (ed), pp 119-124, 1995
17. Rix, G.J. and Spang, A.W. : Measurement of in Situ Damping Ratio Using Surface Wave, Earthquake Geotechnical Engineering, Ishihara (ed), pp 345-350, 1995
18. Skempton, A.W. and Sowa, V.A. : The Behavior of Saturated Clays During Sampling and Testing Geotechnique, London , England ,1963
19. Teachavorasinskun, S. , Thongchim, P. and Lukkunaprasit, P : Shear Modulus and Damping Ratio of a Clay During Undrained Cyclic Loading, Geotechnique 51, No. 5, pp 467-470, 2001
20. Teachavorasinskun, S. , Thongchim, P. and Lukkunaprasit, P : Shear Modulus and Damping Ratio of Soft Bangkok Clay, Can. Geotech. J, Vol. 39, pp 1201-1208, 2002
21. Teachavorasinskun, S. , Thongchim, P. and Lukkunaprasit, P. : Stress Rate Effect on the Stiffness of Soft Clay from Cyclic Compression and Extension Triaxial Tests, Geotechnique 52, No. 1, pp 51-54, 2002
22. Zhang, L. : Elastoplastic Modeling of Soil Behavior Under Cyclic Loading, Earthquake Geotechnical Engineering, Ishihara (ed), pp 423-428, 1995